

43, ч

Азәрбајҹан ССР
Елмләр Академијасы
Академия наук
Азербайджанской ССР

ISSN 0002-3076

МӘРУЗЭЛЭР ДОКЛАДЫ

ЧИЛД

XLIII

ТОМ

4

1987

17726

ДАН Азерб. ССР публикует краткие сообщения об оригинальных, нигде не печатанных ранее, результатах научных исследований, представленные академиками АН Азерб. ССР, которые тем самым берут на себя ответственность за научные достоинства представляемой статьи.

В «Докладах» не публикуются крупные статьи, механически разделенные на ряд отдельных сообщений, статьи полемического характера, без новых фактических сообщений, статьи полемического характера, без новых фактических данных, статьи с описанием промежуточных опытов, без определенных выводов и обобщений, чисто методические статьи, если предлагаемый метод не является принципиально новым, а также статьи по систематике растений и животных (за исключением описания особо интересных для науки находок).

Будучи органом срочной информации, журнал «ДАН Азерб. ССР» принимает и отбирает к публикации статьи, объем которых допускает их публикацию в установленные решение Президиума АН Азерб. ССР сроки.

В связи со всеми перечисленными ограничениями отклонение статьи редакцией «Доклады АН Азерб. ССР» означает только, что она не согласуется с требованиями и возможностями этого журнала и не исключает ее публикации в других изданиях.

ПРАВИЛА ДЛЯ АВТОРОВ

Редакция журнала «Доклады АН Азерб. ССР» просит авторов руководствоваться приведенными правилами и надеется, что авторы ознакомятся с ними прежде, чем пришлют статью в редакцию.

Статьи, присланные без соблюдения этих правил, к рассмотрению не принимаются.

1. Статьи, направляемые в редакцию, должны иметь представление члена АН СССР или академика АН Азерб. ССР, если оно требуется (см. выше).

Статьи с просьбой направить их на представление редакции не принимаются.

2. Статья публикуется по мере поступления. Единственным поводом для внеочередной публикации является исключительная важность сообщения и соображения приоритета. Для этого необходимо специальное решение редколлегии.

3. Как правило, редакция направляет представленные статьи на рецензию.

4. «Доклады» помещают не более трех статей одного автора в год. Это правило не распространяется на членов АН СССР, академиков Академии наук Азерб. ССР.

5. Авторы должны определить раздел, в который следует поместить статью, а также дать индекс статьи по Универсальной десятичной классификации (УДК). К статье прилагается отпечатанный на машинке реферат в двух экземплярах, предназначенный для передачи в один из реферативных журналов ВИНИТИ.

6. В конце статьи нужно указать полное название учреждения, в котором выполнено исследование, фамилии всех авторов а также полный почтовый адрес и номер телефона (служебный и домашний) каждого соавтора.

Кроме того, авторский коллектив должен указать лицо, с которым редакция будет вести переговоры и переписку.

7. Возвращение рукописи автору на доработку не означает, что статья принята к печати. После получения доработанного текста рукопись вновь рассматривается редколлегией. Доработанный текст автор должен вернуть вместе с первоначальным экземпляром статьи, а также ответом на все замечания. Датой поступления считается день получения редакцией окончательного варианта статьи.

8. В «Докладах» публикуются статьи, занимающие не более $\frac{1}{4}$ авторского листа (6 страниц машинописи). В этот объем входит текст, таблицы, библиография (не больше 15 источников) и рисунки, число которых не должно превышать четырех, включая и обозначения «а», «б» и т. д. в том числе вклейки на мелованной бумаге. Вклейки даются только для микрофотографий большого увеличения. Штриховые рисунки (карты, схемы и т. п.) на вклейках не печатаются, а даются на кальке. Текст и графический материал представляются в двух экземплярах. Гравюрирование одних и тех же данных в тексте, таблицах и графиках недопустимо. Рисунки должны быть выполнены четко, в формате, обеспечивающем ясность передачи всех деталей фотографии, представляются на глянцевой бумаге. Подписи к рисункам должны быть напечатаны в 2-х экземплярах через два интервала на отдельной странице. На обороте рисунков мягким карандашом указываются фамилии авторов, название статьи и номер рисунка.

(Продолжение на третьей странице обложки)

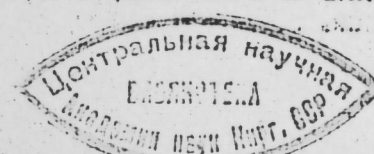
АЗЭРБАЙЧАН ССР ЕЛМЛЭР АКАДЕМИЯСЫ
АКАДЕМИЯ НАУК АЗЕРБАЙДЖАНСКОЙ ССР

МӘРҮЗӘЛӘР ДОКЛАДЫ

ТОМ XLIII ЧИЛД

№ 4

ЕЛМ-НӘШРИЙДАТЫ-ИЗДАТЕЛЬСТВО «ЭЛМ»



УДК 539.3

МЕХАНИКА

РЕДАКЦИОННАЯ КОЛЛЕГИЯ:

З. Ю. Салаев (главный редактор), Г. Б. Абдуллаев, М. Т. Абасов,
 В. С. Алиев, Г. А. Алиев, Дж. А. Алиев, И. Г. Алиев, Дж. Б. Гулиев,
 Н. А. Гулиев, М. З. Джаваров, Ф. Г. Максудов, А. А. Надиров,
 Ю. М. Сейдов (зам. главного редактора), М. А. Усейнов,
 Г. Г. Зейналов (ответств. секретарь).

О ПОТЕРЕ УСТОЙЧИВОСТИ НЕКРУГОВОЙ НЕОДНОРОДНОЙ
 ПО ТОЛЩИНЕ ЦИЛИНДРИЧЕСКОЙ ОБОЛОЧКИ,
 ПОДВЕРЖЕННОЙ ДЕЙСТВИЮ ПРОДОЛЬНЫХ
 СЖИМАЮЩИХ УСИЛИЙ

(Представлено академиком АН Азербайджанской ССР Ф. Г. Максудовым)

В работе рассмотрена задача о потере устойчивости цилиндрической оболочки произвольного очертания из изотропного, неоднородного по толщине материала, свободно опертоой по торцам и подверженной действию продольных сжимающих усилий. Построены линейно-независимые решения разрешающего уравнения этой задачи и определены приближенные значения верхних критических нагрузок.

Следуя [1], уравнения потери устойчивости цилиндрических оболочек произвольного очертания из неоднородного по толщине материала имеют вид:

$$\frac{1}{R(\beta)} \frac{\partial^2 \Phi}{\partial \alpha^2} - \left(\frac{q_1^2}{q_2} - q_0 \right) \Delta \Delta w - \tilde{q} = 0 \\ - \frac{1}{R(\beta)} \frac{\partial^2 w}{\partial \alpha^2} + \frac{1}{q_2(1-\nu^2)} \Delta \Delta \Phi = 0. \quad (1)$$

где Φ —функция усилий; w —нормальный прогиб; величина \tilde{q} называется фиктивной поперечной нагрузкой и определяется следующим образом [2]

$$\tilde{q} = \frac{\partial}{\partial \alpha} \left(P_\alpha \frac{\partial w}{\partial \alpha} \right) + \frac{\partial}{\partial \beta} \left(P_\beta \frac{\partial w}{\partial \beta} \right) + \frac{\partial}{\partial \alpha} \left(S_{\alpha\beta} \frac{\partial w}{\partial \beta} \right) + \frac{\partial}{\partial \beta} \left(S_{\alpha\beta} \frac{\partial w}{\partial \alpha} \right),$$

где P_α , P_β , $S_{\alpha\beta}$ —усилия безмоментного докритического напряженного состояния.

В случае действия продольных сжимающих условий интенсивности T_0 надо принять:

$$P_\alpha = -T_0, \quad P_\beta = S_{\alpha\beta} = 0.$$

Выражение величин q_1 и q_2 через переменный по толщине модуль Юнга $E = E(z)$ дано в [1].

Ищем решение системы уравнений (1) в виде

$$\Phi = \Phi_0(\beta) \sin k\alpha, \quad w = w_0(\beta) \sin k\alpha, \quad k = \frac{m\pi}{l} \quad (2)$$

где m —целое, l —безразмерная, отнесенная к некоторому характерному размеру r , длина оболочки. Отметим, что безразмерные величины, фигурирующие в задаче, α , β —гауссовые координаты; $R(\beta)$ —

радиус кривизны, h —полутолщина отнесена к r . Благодаря форме решения [2] автоматически выполняются условия шарнирного опирания на торцах оболочки $\alpha = 0$ и $\alpha = l$, принимаемые нами, как и в [1], а система уравнений (1) сводится к уравнению:

$$\frac{\kappa^4}{R(\beta)} \Phi_0 + \left(\frac{q_1^2}{q_2} - q_0 \right) \Delta_1 \Delta_1 \frac{R(\beta)}{q_2(1-\gamma^2)} \Delta_1 \Delta_1 \Phi + \\ + T_0 \kappa^2 \frac{R}{q_2(1-\gamma^2)} \Delta_1 \Delta_1 \Phi_0 = 0. \quad \left(\Delta_1 = \frac{d^2}{d\beta^2} - \kappa^2 \right) \quad (3)$$

Введем безразмерную величину

$$\tilde{T}_0 = \frac{T_0}{2Eh} \quad (4)$$

и назовем параметром нагрузки. Здесь E —некоторый характерный модуль упругости. Если взять

$$\tilde{T}_0 = h^x; \quad \frac{\partial}{\partial \beta} \sim h^{-p} \quad (1 > 0 > 0); \quad (5)$$

$$\kappa = h^{-p} \left(1 > p > -\frac{1}{2} \right); \quad \geq p,$$

то можно показать, что так же, как и для круговых оболочек с постоянным по толщине модулем Юнга [2], одному и тому же значению x , определяющему значение верхней критической нагрузки, соответствуют различные значения 0 и p , определяющие характер форм потери устойчивости. Поэтому удобно ввести величину $\tilde{l} = \frac{l}{m}$, которую назовем приведенной относительной длиной оболочки (эта величина обратно пропорциональна величине κ) и рассмотрим задачу о потере устойчивости для различных \tilde{l} , зафиксировав l , положив, например, что $l \sim 0(1)$. Это мы и будем делать, рассматривая случай средних κ , что соответствует оболочкам приведенной средней длины.

Принимая, как и в [1] закон $E = E(z)$ таким:

$$E(z) = \bar{E} \left[1 + \gamma \left(\frac{z}{h} \right)^x \right]; \quad \gamma > 0, \quad x = 1, 2, \quad (6)$$

из условия (3) в случае оболочек средней приведенной длины получаем, используя асимптотические оценки для коэффициентов уравнения (3) из [1]:

$$x = 1; \quad 0 = \frac{1}{4}; \quad p = 0 \quad (7)$$

в случаях $x = 1$ и $x = 2$ при $\gamma \ll 1$, а в случае $x = 2$, $\gamma \gg 1$ (сопоставляем $\gamma = h^{-2\delta}$ ($\delta > 0$))

$$x = 1 - \frac{3}{2}\delta; \quad 0 = \frac{1}{4} - \frac{\delta}{8}; \quad p = 0. \quad (8)$$

Из формулы (8) следует, что порядок верхней критической нагрузки для соответствующего случая повышается по сравнению со случаем однородной оболочки [2].

Учитывая (7), решение равнения (3) ищем в виде, когда $x=1, 2$
 $\gamma \ll 1$:

$$\Phi_0 = (\Phi_1 + \varepsilon \Phi_2 + \varepsilon^2 \Phi_3 + \dots) \exp(f_i \varepsilon) \quad (9)$$

$$\tilde{T}_0 = \tilde{T}_{01} \varepsilon^4; \quad \varepsilon = \left(\frac{h}{\sqrt{3(1-\gamma^2)}} \right)^{1/4},$$

где \tilde{T}_{01} —искомое число, которое будем называть коэффициентом параметра нагрузки, а f_i ($i = 1, 2, \dots$)—искомые функции; $f(\beta)$ —называется функцией изменяемости, а $\Phi_i(\beta)$ —коэффициенты интенсивности [3].

Подставляя (9) в уравнение (3) и приравнивая нулю коэффициенты при одинаковых степенях \varemathbb{e} , начиная со старшей, получаем алгебраическое уравнение восьмой степени для функции изменяемости f ($f' = J$):

$$Eq^8 - B \tilde{T}_{01} \kappa^2 q^4 + \frac{\kappa^4}{R^2} = 0 \quad (10)$$

и линейные дифференциальные уравнения для коэффициентов интенсивности Φ_i . Уравнение для Φ_1 —однородное и имеет вид:

$$(2qR \tilde{T}_{01} B \kappa^2 - 4ARq^5) \frac{d\Phi_1}{d\beta} + (3f'' R \tilde{B} \tilde{T}_{01} \kappa^3 - \\ - 14Aq^4 f'' R - 2Aq^5 R') \Phi_1 = 0. \quad (11)$$

Здесь, как и в [1]:

$$A = - \frac{2\gamma^3}{3 \left[\ln \left| \frac{1+\gamma}{1-\gamma} \right| - 2\gamma \right]}; \quad B = 1 \quad (x=1),$$

$$A = - \frac{\gamma \operatorname{arctg} V \gamma}{3 \left[\sqrt{\gamma} = \operatorname{arctg} V \gamma \right]}; \quad B = \frac{\operatorname{arctg} V \gamma}{V \gamma} \quad (x=2). \quad (12)$$

Решая уравнение (11), находим выражение для Φ_1 :

$$\Phi_1 = C_1 \exp \left(- \int_0^{\beta} (3f'' R B \tilde{T}_{01} \kappa^2 - 14Aq^4 f'' R - 2Aq^5 R') d\beta \right) / \\ / (2qR \tilde{T}_{01} B \kappa^2 - 4ARq^5) d\beta.$$

где C_1 —произвольная постоянная. Можно найти и другие коэффициенты интенсивности Φ_i ($i = 1, 2, \dots$), но мы этим заниматься не будем. Кроме уравнения (10) имеют следующий вид:

$$q = \left(\frac{B}{2A} \tilde{T}_{01} \pm \frac{B}{A} \sqrt{D} \right)^{1/4} V \kappa, \quad (13)$$

где функция D определяется так:

$$D = \frac{\tilde{T}_{01}^2}{4} - \frac{A}{B^2} - \frac{1}{R^2}. \quad (14)$$

Выражения (9)–(13) сохраняются для оболочек средней приведенной длины и для случая $x = 2$, $\gamma \gg 1$, соответствующего формулам (8), если в них принять следующие выражения для \tilde{T}_0 , ε , A , B :

$$\tilde{T}_0 = \tilde{T}_{01} \epsilon^4 h^{-\delta}; \epsilon = \left(\frac{h^{2-\delta}}{3(1-v^2)} \right)^{1/8};$$

$$A = -\frac{h^\delta \gamma \operatorname{arctg} V\gamma}{3(V\gamma - \operatorname{arctg} V\gamma)}; B = \frac{h^{-\delta} \operatorname{arctg} V\gamma}{V\gamma}.$$

При определении главного приближения верхней критической нагрузки примем сформулированную в [4] и подтвержденную для целого ряда задач о потере устойчивости оболочек и идентичных с математической точки зрения задач о свободных колебаниях оболочек [4, 5], о том, что потеря устойчивости оболочек возможна, когда среди интегралов (9) уравнения (3) имеются осциллирующие хотя бы на части интервала изменения β . Поэтому главное приближение \tilde{T}_{01} коэффициента верхнего критического значения параметра нагрузки T_{01} будем искать из условия, что T_{01} — минимальное значение величины \tilde{T}_{01} , при котором на некоторой образующей корни (13) уравнения (10) имеют чисто минимые значения.

Если в некоторой точке β_* функция D обращается в нуль, тогда уравнение (10) в точке β_* имеет четыре пары попарно слипающихся кратных корней:

$$q_{1,2} = i \left(\frac{B}{2A} \tilde{T}_{01} \right)^{1/4} \sqrt{\kappa}; q_{3,4} = -i \left(\frac{B}{2A} \tilde{T}_{01} \right)^{1/4} \sqrt{\kappa};$$

$$q_{5,6} = \left(\frac{B}{2A} \tilde{T}_{01} \right)^{1/4} \sqrt{\kappa}; q_{7,8} = - \left(\frac{B}{2A} \tilde{T}_{01} \right)^{1/4} \sqrt{\kappa}.$$

Корни $q_{1,2}$, $q_{3,4}$ — чисто мнимы. Указанная точка β_* , определяемая из равенства

$$\tilde{T}_{01} = \frac{2\sqrt{A}}{BR(\beta_*)} \quad (15)$$

называется кратной точкой поворота. Как видно из (15), величина \tilde{T}_{01} определяется так:

$$\overline{T}_{01} = \frac{2\sqrt{A}}{B} \min_{\beta \in [\beta_*, \beta_0]} \frac{1}{R(\beta)} \quad (16)$$

т. е. наиболее слабая образующая соответствует точке $\beta_* \in [0, \beta_0]$, где кривизна направляющей минимальна.

Для уточнения формул (9), (16) надо, используя методику [4], построить решения уравнения (10) при наличии точки поворота и выполнить граничные условия на прямолинейных краях оболочки, либо условие замкнутости оболочки, соответственно, для открытой и замкнутой цилиндрических оболочек.

Литература

- Шихлинская Г. Т. — Изв. АН АзССР, 1986, № 4. 2. Вольмир А. С. Устойчивость деформируемых систем. — М.: Наука, 1967. 3. Гольденвейзер А. Л. Теория упругих тонких оболочек. — М.: Гостехиздат, 1953. 4. Товстик П. Е. Устойчивость оболочек вращения в линейном приближении. Расчет пространственных конструкций, вып. 13. Сб. ст. /Под общей ред С.А. Алексеева, В. В. Новожилова, А. А. Уманского. — М.: Стройиздат, 1970. 5. Гольденвейзер А. Л., Лиуский В. Б., Товстик П. Е. Свободные колебания упругих тонких оболочек. — М.: Наука, 1979.

АГУ им. С. М. Кирова

Поступило 3. IV 1986

УЗУНУНА СЫХМА ГУВВЭСИНИН ТӘ'СИРИ АЛТЫНДА ДАИРЭВИ ОЛМАЈАН ГАЛЫНЛЫҒЫНА КӨРӨ ГЕЈРИ-БИРЧИНС СИЛИНДРИК ӨРТҮҮЛҮН ДАЈАНЫГЛЫҒЫНЫН ИТМЭСИ ҺАГГЫНДА

Мәгаләдә иктијари өн кәсикли, изотроп, галынлығына көрө гејри-бирчинс, отурачаг-лары сәрбәст дајаглы вә узунуна сыйхма гүввэсиин тә'сирина мәрүз галан силиндрлик өртүүлүн дајаныглышынын итмәсі мәсәләсіндән данышылыр. Бу мәсәләнин һәлл олунан тәйлиниин хәтти гејри-асылы һәлләри гүрулмуш вә јухары бөңрак тәэсігинин тәгреби гијметләрі тә'жін едилмишdir.

G. T. Shikhlinskaya

ON THE LOSS OF STABILITY OF A NON-CIRCULAR HETEROGENEOUS ON THE THICKNESS CYLINDER SHELL SUBJECTED TO THE LONGITUDINAL SHRINKAL ACTIONS

In the article the authors consider a problem of the stability loss of a cylinder shell of arbitrary configuration made of isotropic heterogeneous on the thickness material freely supported on the end-walls and subjected to the longitudinal shrinkal actions. Linear-independent solutions of the problem equation are designed, and approximate values of the upper critical capacity are defined.

О РАВНОПРОЧНОСТИ СОСТАВНЫХ ОБОЛОЧЕК,
КОНТАКТИРУЮЩИХ СО СРЕДОЙ

(Представлено академиком АН Азербайджанской ССР Ф. Г. Максудовым)

Рассмотрим бесконечную цилиндрическую оболочку под равномерным внутренним давлением P с многослойной анизотропной цилиндрической вставкой, контактирующей со средой. Предположим, что материалы оболочки и вставки однородные, упругие, и для них выполняется гипотеза недеформируемых нормалей. Кроме того, давление среды определяется по модели Винклера, т. е. $F = -m \cdot w$ [2]. Здесь $m = k \cdot D_n$, где k — коэффициент постели среды, D_n — наружный диаметр оболочки, w — прогиб точек координатной поверхности. (Положительное направление оси z — от центра кривизны). Координатная поверхность совпадает с нижней поверхностью, а продольная сила отсутствует. Ввиду осесимметричности нагрузки и граничных условий, будем рассматривать осесимметричное поведение конструкции. Кроме того, каждую часть такой конструкции будем рассматривать в отдельности, так как физико-механические и геометрические параметры конструкции терпят разрыв.

Уравнения равновесия для вставки в смещениях имеют вид (1)

$$\begin{cases} \frac{d}{dx} \left(C_{11} \frac{du}{dx} + C_{12} \frac{w}{R} - K_{11} \frac{d^2 w}{dx^2} \right) = 0 \\ D_{11} \frac{d^4 w}{dx^4} - \frac{2}{R} K_{12} \frac{d^2 w}{dx^2} + \frac{1}{R} C_{12} \frac{du}{dx} + C_{22} \frac{w}{R^2} = F + P, \end{cases} \quad (1)$$

где R — радиус кривизны, u — перемещения в направлении оси x , C_{ij} , K_{ij} , D_{ij} ($i, j = 1, 2$) — жесткости [1]. Определив $\frac{du}{dx}$ из первого уравнения системы (1) и учитывая во втором уравнении, получим неоднородное уравнение, общий интеграл которого имеет вид

$$w = \exp(\kappa_1 x) \cdot (A_1 \cos \kappa_2 x + B_1 \sin \kappa_2 x) + \exp(-\kappa_1 x) \times \\ \times (A_2 \cos \kappa_2 x + B_2 \sin \kappa_2 x) - (C_{12} a_1 R - C_{11} P R^2) / (C_{11}(C_{22} + m R^2) - C_{12}^2). \quad (2)$$

Здесь $\kappa_1 = \sqrt{0.5 \cdot (V \alpha^2 + \beta^2 + \alpha)}$, $\kappa_2 = \sqrt{0.5 \cdot (\alpha^2 + \beta^2 - \alpha)}$,
где $\alpha = R^{-1} (C_{11} K_{12} - C_{12} K_{11}) / (C_{11} D_{11} - K_{11}^2)$; $\beta = \sqrt{D} / (C_{11} D_{11} - K_{11}^2)$
 $D = R^{-2} \cdot [C_{11} K_{12} - C_{12} K_{11}]^2 - (C_{11}(C_{22} + m R^2) - C_{12}^2) \cdot (C_{11} D_{11} - K_{11}^2)$.

Нетрудно показать, что $D < 0$.

Учитывая (2) в первом уравнении системы (1) и интегрируя получение выражение, найдем:

$$\begin{aligned} u = & [C_{11} R (\kappa_1^2 + \kappa_2^2)]^{-1} \cdot [\exp(\kappa_1 x) \cdot (F_1 \cos \kappa_2 x + E_1 \sin \kappa_2 x) + \\ & + \exp(-\kappa_1 x) \cdot (F_2 \cos \kappa_2 x + E_2 \sin \kappa_2 x)] + \\ & + x [a_1 (C_{22} + m R^2) - C_{12} P R] / (C_{11}(C_{22} + m R^2) - C_{12}^2) + a_2. \end{aligned} \quad (3)$$

Здесь

$$\begin{aligned} F_1 &= C_{12} (-A_1 \kappa_1 + B_1 \kappa_2) + \kappa_{11} R (\kappa_1^2 + \kappa_2^2) \cdot (A_1 \kappa_1 + B_1 \kappa_2) \\ E_1 &= -[C_{12} (A_1 \kappa_2 + B_1 \kappa_1) + \kappa_{11} R (\kappa_1^2 + \kappa_2^2) \cdot (A_1 \kappa_2 - B_1 \kappa_1)] \\ F_2 &= C_{12} (A_2 \kappa_1 + B_2 \kappa_2) - \kappa_{11} R (\kappa_1^2 + \kappa_2^2) \cdot (A_2 \kappa_1 - B_2 \kappa_2) \\ E_2 &= -[C_{12} (A_2 \kappa_2 - B_2 \kappa_1) + \kappa_{11} R (\kappa_1^2 + \kappa_2^2) \cdot (A_2 \kappa_2 + B_2 \kappa_1)], \end{aligned}$$

где $a_1, A_1, B_1, a_2, A_2, B_2$ — константы, которые предстоит определить.

Аналогично получаем выражения и для перемещений бесконечной части. Только вместо параметров вставки будут соответствующие параметры бесконечной части, которые обозначим верхним индексом „0“. Чтобы не осложнять формулы, вместо κ_1, κ_2, P, R будет соответственно l_1, l_2, P_0, R_0 .

Для бесконечной части оба перемещения должны быть ограниченными. Тогда формулы (2) и (3) преобразуются к виду

$$w^0 = \exp(-l_1 x) \cdot (A_2 \cos l_2 x + B_2 \sin l_2 x) + P_0 R_0^2 / (C_{22}^0 + m_0 R_0^2) \quad (4)$$

$$u_0 = [C_{11}^0 R_0 (l_1^2 + l_2^2)]^{-1} \exp(-l_1 x) \cdot (F_2^0 \cos l_2 x + E_2^0 \sin l_2 x) + a_2. \quad (5)$$

Примем, что прогиб вставки симметричен по x . Поэтому перемещения имеют вид

$$w = 2A_1 \operatorname{ch} \kappa_1 x \cdot \cos \kappa_2 x + 2B_1 \operatorname{sh} \kappa_1 x \cdot \sin \kappa_2 x - \\ - R (C_{12} a_1 - C_{11} P R) / (C_{11}(G_{22} + m R^2) - C_{12}^2) \quad (6)$$

$$u = 2 \cdot [C_{11} R (\kappa_1^2 + \kappa_2^2)]^{-1} \cdot (F_1 \operatorname{sh} \kappa_1 x \cos \kappa_2 x + E_1 \operatorname{ch} \kappa_1 x \sin \kappa_2 x) + \\ + x (a_1 (C_{22} + m R^2) - C_{12} P R) / (C_{11}(C_{22} + m R^2) - C_{12}^2) \quad (7)$$

Итак, каждая часть описывается с точностью до трех неизвестных, т. е. a_1, A_1, B_1 и a_2, A_2, B_2 . Они определяются из условий жесткого сужения, т. е. условий непрерывности перемещений и напряжений на линии контакта. При $x = l$ (2l — длина вставки), контактные условия имеют вид [1]:

$$\begin{cases} w = w_0, \quad u = u_0, \quad \varphi = \varphi^0 \\ T_1 = T_1^0, \quad M_1 = M_1^0, \quad N_1 = N_1^0, \end{cases} \quad (8)$$

где $\varphi, \varphi_0, T_1, T_1^0, M_1, M_1^0, N_1, N_1^0$ — соответственно углы наклона, тангенциальные силы, изгибающие моменты и переносывающие силы вставки и бесконечной части. Учитывая (4), (5), (6) и (7) в условиях (8), получим неоднородные системы линейных алгебраических уравнений. Решая полученную систему, найдем значение неизвестных и, тем самым, определим напряженно-деформированное состояние.

Исследуем поведение конструкции. Практический интерес представляют значения окружного напряжения σ_0 на внутренней поверхности, которая характеризует прочность. Для численного примера составлена и реализована программа на машине БЭСМ-6 при следу-

ющих параметрах конструкции: $h(1) = 1$ см, $h_0 = 2$ см, $R, R_0 = 100$ см, $P, P_0 = 100$ атм, $l = 15R$, $h_2 = h(1) + h(2)$.

Зависимость σ_{00} ($x = 0$) для конкретных значений отношения $s_2 = E_2/E_0$ модулей упругости в разных средах от относительной толщины $\tau_2 = h_2/h_0$ второго слоя вставки показана на рис. 1. Из рисунка видно, что для конкретных s_2 при увеличении τ_2 уменьшается

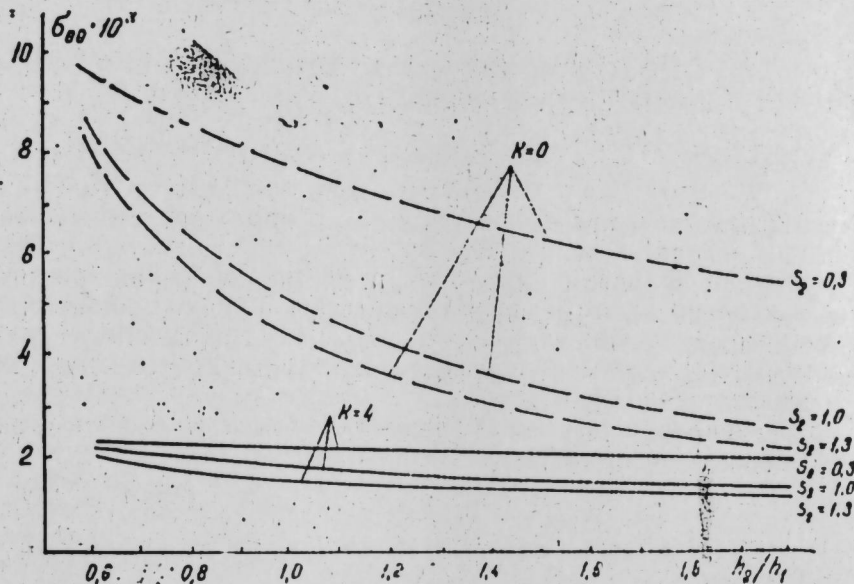


Рис. 1

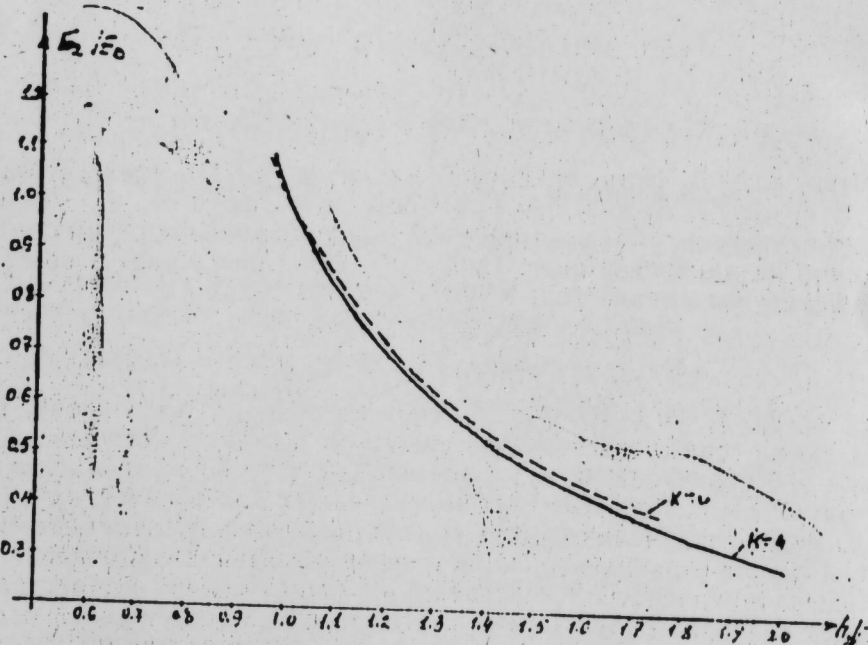


Рис. 2

σ_{00} . То же самое происходит под воздействием среды, т. е. при $K \neq 0$ σ_{00} уменьшается. При этом распределение напряжений конструкции становится более равномерным, а прочность ее возрастает. Но для больших τ_2 и s_2 эффект среды на прочность конструкции уменьшается.

На рис. 2 показана зависимость γ_2 от s_2 для равнопрочных вставок, т. е. для вставок, максимальные прогибы которых равны между собой и равны прогибу оболочки без вставки. Из рисунка видно, что при увеличении γ_2 уменьшается s_2 и наоборот. Кроме того, для одинаковых γ_2 при увеличении K уменьшается s_2 , что позволяет, сохраняя прочность, сэкономить материал.

Литература

1. Амбарцумян С. А. Теория анизотропных оболочек. — Физматгиз, 1961, с. 384.
2. Бородавкин П. П., Березин В. А. Сооружение магистральных трубопроводов. — М.: Недра, 1977.

Институт математики и механики АН АзССР

Поступило 28. III 1986

О. Я. Велиев

МУҢИТЛӘ ТОХУНАН ҺИССӘЛИ ӨРҮҮКЛӘРИН БӘРАБӘР МӨНКӘМЛИКЛІ ОЛМАСЫ ҺАГГЫНДА

Мәгәләдә һиссәли өрүүкләриң мөнкәмлијинә мүнитин тә'сирі өյрәниллір. Мүнитин тәзіліги Винклер модельнә көрә мүәжжән олуун.

Фәрә олуунур ки, һиссәли өрүүк үчүн деформасия олунамаған нормалар фәрзијәсін өдениллір. Һәмчинин бәрабәр мөнкәмликли ичилкеләр үчүн мұхтәлиф мүнитләрдә харичи лајын еластиклек модулларынын инсбетинин онун һисби галышылығындан асылылығы көстәрілмешілдір.

O. Ya. Veliyev

ON EQUISTABILITY OF COMPOSITE SHELLS, CONTACTING WITH MEDIUM

The article is devoted to the study of action of medium to the stability of composite shells. The pressure of the medium is defined by Winkler model. For equistable inserts the dependence of relation of elasticity modules on relative thickness of external layer in various media is also shown. It is assumed that for a composite shell a hypothesis of non-deformable normals is fulfilled.

Акад. АН АзССР М. И. АЛИЕВ, Х. А. ХАЛИЛЗЕВ, Г. Б. ИБРАГИМОВ

ПОГЛОЩЕНИЕ СВЕТА СВОБОДНЫМИ НОСИТЕЛЯМИ В ТВЕРДЫХ РАСТВОРАХ $\text{Ga}_{1-x}\text{In}_x\text{As}$ ($X=0,05$)

Наряду с обычными механизмами рассеяния в твердых растворах необходимо учитывать эффекты, связанные с рассеянием на нарушениях периодичности потенциального поля в кристалле (т. и. рассеяние на сплаве). Ранее на основании зависимости подвижности от состава твердого раствора было показано, что сплавное рассеяние вносит ощутимый вклад в общий механизм рассеяния электронов $\text{Ga}_{1-x}\text{In}_x\text{As}$ [1]. Сведения о механизмах рассеяния носителей заряда на нарушениях периодичности потенциального поля в кристалле дают также исследования поглощения света свободными носителями. При этом тип рассеяния определяется как по частотной зависимости коэффициента поглощения, так и по его величине. Интерпретация данных упрощается тем обстоятельством, что полный коэффициент поглощения всегда можно представить в виде суммы членов, обусловленных различными механизмами рассеяния.

В соединениях InAs и GaAs поглощение света свободными носителями интенсивно исследуется, а в сплавах на их основе ($\text{Ga}_{1-x}\text{In}_x\text{As}$) такие исследования не проводились. Имеются теоретические работы [2] о внутризонном поглощении свободными носителями для сплавов на основе соединений $\text{A}^{\text{III}}\text{B}^{\text{VI}}$.

В настоящей работе приводятся экспериментальные результаты исследования внутризонного поглощения свободными носителями в двух группах образцов с близкими значениями концентраций электронов и с одинаковой степенью компенсации в твердых растворах $\text{Ga}_{1-x}\text{In}_x\text{As}$ (для $X \leq 0,05$) и в исходном GaAs. Проводились измерения спектров пропускания монокристаллов $\text{Ga}_{0,99}\text{In}_{0,01}\text{As}$ ($N_e = 7 \cdot 10^{17} \text{ см}^{-3}$), GaAs ($N_e = 4,74 \cdot 10^{17} \text{ см}^{-3}$) и $\text{Ga}_{0,95}\text{In}_{0,05}\text{As}$ ($N_e = 2 \cdot 10^{17} \text{ см}^{-3}$) на двухлучевом спектрофотометре "Spedord 75 IR" при 92 и 300 K.

Результаты измерений приведены на рис. 1 и 2. Зависимость коэффициента поглощения от длины волны описывается степенной функцией вида $\alpha \sim \lambda^\gamma$, где γ — характеристика механизмов рассеяния носителей заряда в кристалле.

Как видно из рис. 1 и 2, в первой группе образцов при переходе от исходного GaAs (2) к сплаву $\text{Ga}_{0,99}\text{In}_{0,01}\text{As}$ (1) показатель степени γ не изменяется. Во второй группе образцов (прямые 3 и 4) при комнатной температуре (рис. 1) γ изменяется от 2,7 для GaAs (4) до 2,1 для $\text{Ga}_{0,95}\text{In}_{0,05}\text{As}$ (3). Соответствующие значения для этих образцов при 92 K (рис. 2) равны 2,9 и 2,45. Таким образом, в сплаве $\text{Ga}_{0,95}\text{In}_{0,05}\text{As}$ при 300 и 92 K γ значительно изменяется относительно γ в исходном арсениде галлия. Это показывает, что в отличие от GaAs

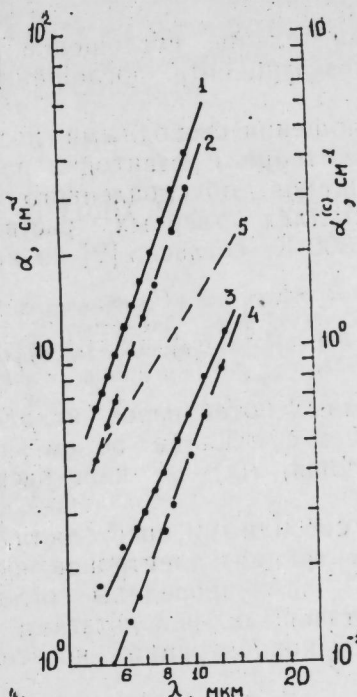


Рис. 1 Экспериментальные и расчетные зависимости коэффициента поглощения от длины волны при 300 K:
1 — $\text{Ga}_{0,99}\text{In}_{0,01}\text{As}$ ($N_e = 7 \cdot 10^{17} \text{ см}^{-3}$); 2 — GaAs ($N_e = 5,5 \cdot 10^{17} \text{ см}^{-3}$) [4]; 3 — $\text{Ga}_{0,95}\text{In}_{0,05}\text{As}$ ($N_e = 2 \cdot 10^{17} \text{ см}^{-3}$); 4 — ($N_e = 1,7 \cdot 10^{17} \text{ см}^{-3}$) [5]; 5 — расчетные α ($N_e = 2 \cdot 10^{17} \text{ см}^{-3}$) шкала справа
точки — эксперимент; сплошная линия — расчеты

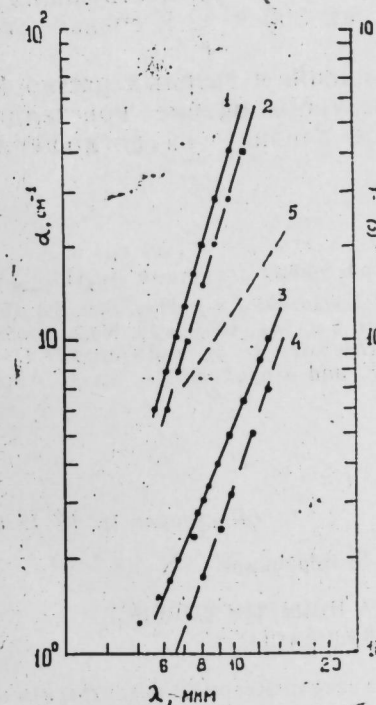


Рис. 2 Там же зависимости, что и на рис. 1 при 92 K:
2 — GaAs ($N_e = 4,74 \cdot 10^{17} \text{ см}^{-3}$) (наши);
4 — GaAs ($N_e = 1 \cdot 10^{17} \text{ см}^{-3}$) [5]

в твердых растворах имеет место дополнительное поглощение, приводящее к более слабой зависимости коэффициента поглощения от длины волны.

Анализ спектров внутризонного поглощения свободными носителями в $\text{Ga}_{1-x}\text{In}_x\text{As}$ проведен с помощью теории, развитой в работе [2]. Коэффициент внутризонного поглощения, обусловленного беспорядком потенциала сплава в кристаллах твердых растворов $\text{Ga}_{0.95}\text{In}_{0.05}\text{As}$ рассчитывался для T=92 и 300 К, согласно [2] по выражению:

$$\alpha^{(c)} = \frac{8e^2 N' x(1-x) V^2 m^*}{3 \pi^2 \epsilon_\infty^{1/2} c h^5 (\hbar \omega)^3} \int_0^\infty (2\epsilon + \hbar \omega) [\epsilon(\epsilon + \hbar \omega)]^{-1/2} [f(\epsilon) - f(\epsilon + \hbar \omega)] d\epsilon,$$

где V —матричный элемент разности атомных потенциалов исходных компонент, N' —число элементарных ячеек в единице объема, ϵ_∞ —высокочастотная диэлектрическая постоянная, $f(\epsilon)$ —функция распределения Ферми—Дирака.

Расчеты коэффициента поглощения свободными носителями для исходного GaAs ($\alpha^{(u)}$) при тех же концентрациях электронов и степени компенсации, что и в сплавах $\text{Ga}_{1-x}\text{In}_x\text{As}$ проведены согласно работе [3] для сравнения с экспериментальными результатами α в твердых растворах соответствующих концентраций носителей заряда.

Результаты расчета $\alpha^{(p)}$ для сплава $\text{Ga}_{0.95}\text{In}_{0.05}\text{As}$ по формуле $\alpha^{(c)} + \alpha^{(u)} = \alpha^{(p)}$ с учетом процессов поглощения $\alpha^{(u)}$, существующих в исходном арсениде галлия при температурах 300 и 92 К совпадают с экспериментальными данными.

Таким образом анализ спектров поглощения в твердых растворах $\text{Ga}_{1-x}\text{In}_x\text{As}$ позволяет утверждать, что разупорядочение кристаллической решетки оказывает существенное влияние на поглощение света свободными носителями заряда.

Литература

- Алиев М. И., Халилов Х. А. О сплавном рассеянии в системе $\text{In}_x\text{Ga}_{1-x}\text{As}$ ФТП, 1981, т. 15, № 12, с. 2322. 2. Siearanski K. and Szatkowski J. — J. Phys. Stat. Sol. (b), 1981, v. 104, p. 57. 3. Haga E. and Kimura H. — J. Phys. Soc. Jap., 1964, v.19, No.2, p. 658. 4. Walukiewicz W., Lagowski L., Jastrzebski L., Lichtensteiger M. and Gatos H. G.— J. Appl. Phys., 1979, v. 50, No. 2, 899. 5. Osamura K. and Murakami J.— Jap. J. Appl. Phys., 1972, VII, No. 3, p. 365.

Институт физики

Поступило 16. IV 1986

М. И. Алиев, Х. Э. Халилов, И. Б. Ибрагимов

$\text{Ga}_{1-x}\text{In}_x\text{As}$ ($x \leq 0.05$) БӘРК МӘҢЛҮЛҮНДА ИШЫГЫН СӘРБӘСТ ЖҮКДАШЫЛЫЧЫЛАРДАН УДУЛМАСЫ

Мәгләдә $\text{Ga}_{1-x}\text{In}_x\text{As}$ ($x < 0.05$) монокристаллыда электронларын концентрасијасы $N_e = 2 \cdot 10^{17} \text{ см}^{-3}$ және $7 \cdot 10^{17} \text{ см}^{-3}$ олган ишыгын сәрбәст жүкдашылыштардан уд'ламасы тәндигіл мүмкін. Көстәрилмешdir ки, GaAs -ә иисбәтән бәрк мәңлүлүлә

$I_{\text{In}} = A + \lambda I_{\text{In}}$ дүз хәттин бучаг эмсалынын азалмасы $\text{Ga}_{1-x}\text{In}_x\text{As}$ кристаллында потенциал саһәнин периодиклүйин позулмасынын жүкдашылыштарын сәпилмә механизмине тәсир илә элагәдардыр.

M. I. Aliev, Kh. A. Khalilov, G. B. Ibragimov

LIGHT ABSORPTION BY FREE CARRIERS IN $\text{Ga}_{1-x}\text{In}_x\text{As}$ ($x < 0.05$) SOLID SOLUTIONS

Light absorption by free carriers is studied in $\text{Ga}_{1-x}\text{In}_x\text{As}$ ($x \leq 0.05$) single crystals at $N_e = 2 \cdot 10^{17} \text{ cm}^{-3}$ and $7 \cdot 10^{17} \text{ cm}^{-3}$. The decrease of angular coefficient for the lines of $I_{\text{In}} = A + \gamma I_{\text{In}}$ is shown to be due to the effect of potential-field periodicity disturbance on carrier scattering mechanism in $\text{Ga}_{1-x}\text{In}_x\text{As}$ crystals when the initial GaAs becomes a solid solution.

С. А. АЛЕКПЕРОВ, чл.-корр. АН АССР Ч. С. КАДЖАР, Д. Ф. КЕНГЕРЛИ

ГЕОМЕТРИЧЕСКОЕ МАГНЕТОСОПРОТИВЛЕНИЕ И 1/f ШУМ
В InSb

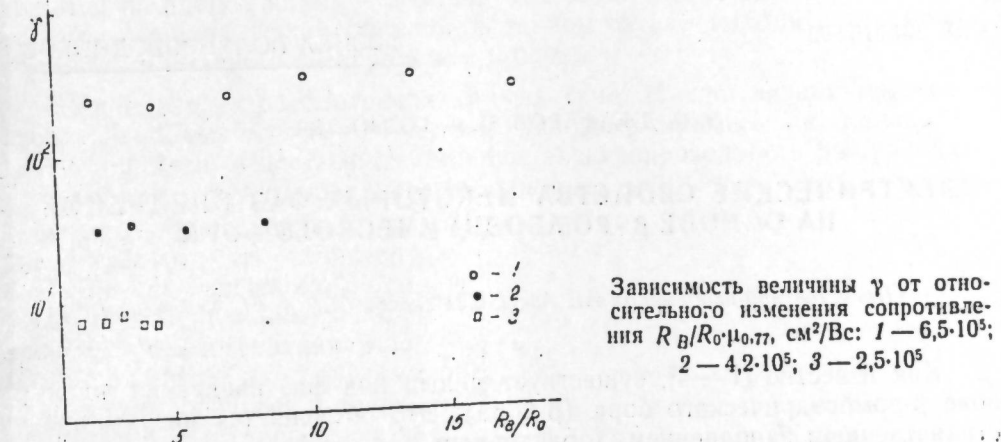
В работе [1] изучалось влияние сильных магнитных полей ($\mu B \gg 1$) на 1/f шум в InSb при температуре жидкого азота. При приложении поперечного направлению тока магнитного поля было обнаружено, что относительная спектральная плотность напряжения 1/f шума S_u/U^2 в диапазоне B от 0,02 до 0,3 Т изменялась по степенному закону $(\mu B)^n$, где n для разных образцов принимало значения от 1 до 4. Полученную зависимость авторы связывали с теми же процессами, которые ответственны за возникновение поперечного магнетосопротивления. Используемые в работе образцы готовились в виде длинных узких полосок, что исключало возможность появления значительного геометрического магнетосопротивления.

В настоящей работе проведено исследование влияния геометрического магнетосопротивления на 1/f шум в InSb в сильных магнитных полях при 80 К.

Исследовались монокристаллические образцы InSb ($\mu_{077} = (2,5 \div 6,7) \cdot 10^5 \text{ см}^2/\text{В}\cdot\text{с}$, $n_{077} = 3 \cdot 10^{11} \div 2 \cdot 10^{14} \text{ см}^{-3}$), среди которых находились и аналогичные описанным в работе [1]. Обработка их поверхности до размеров $10 \cdot 1,5 \cdot 0,08 \text{ мм}^3$ проводилась путем механической шлифовки, полировки и химического травления в CP-4. Контакты наносились припоем 93% In + 4% Ag + 3% Au. Напряжение шума снималось с потенциальных контактов, расположенных в середине образца на расстоянии 0,4 мм друг от друга (диаметр контакта не более 0,2 мм). Напряжение смещения прикладывалось к токовым контактам, расстояние между которыми, после проведения необходимых измерений, последовательно уменьшалось от 10 до 0,5 мм. Относительное изменение сопротивления R_B/R_0 за счет вклада геометрического магнетосопротивления при этом увеличивалось от 2 до 9 раз (в зависимости от величины подвижности μ_{077}). Магнитное поле к образцу прикладывалось при помощи постоянного магнита ($B = 0,2 \text{ Т}$).

Измерения показали, что независимо от направления магнитного поля, а также при его отсутствии спектр шума исследуемых образцов в диапазоне частот $1 \div 100 \text{ Гц}$ следовал закону $1/f^\beta$ со значениями β от 0,9 до 1,1, а зависимости спектральной плотности шума S_u от величины напряжения смещения U в слабых электрических полях ($E < 1 \text{ В}/\text{см}$) были близки к квадратичным. При параллельном направлении электрического и магнитного полей относительная спектральная плотность 1/f шума S_u/U^2 практически не изменялась по сравнению с измеренной в отсутствие магнитного поля, а при перпендикулярном — значительно возрасала.

На рисунке приведены экспериментальные значения величины $\gamma = (S_u/U^2)_B / (S_u/U^2)_{B=0}$ в зависимости от относительного изменения сопротивления для нескольких образцов ($B \perp E$). Погрешность определения γ не превышала 25%.



Зависимость величины γ от относительного изменения сопротивления R_B/R_0 при μ_{077} , см $^2/\text{В}\cdot\text{с}$: 1 — $6,5 \cdot 10^5$; 2 — $4,2 \cdot 10^5$; 3 — $2,5 \cdot 10^5$

Как видно из рисунка, во всем диапазоне изменения R_B/R_0 величина γ для каждого образца остается неизменной. Вместе с тем, ее значения зависят от μ_{077} и для образцов, аналогичных описанным в работе [1], имеют сходные значения.

Таким образом, можно заключить, что геометрическое магнетосопротивление не вносит вклада в 1/f шум. Действительно, возникновение геометрического магнетосопротивления при приложении поперечного магнитного поля обусловлено лишь увеличением дрейфового пути свободных носителей между контактами, что равносильно увеличению длины образца при сохранении неизменными подвижности и концентрации носителей тока. В противном случае, даже в отсутствие магнитного поля должна иметь место зависимость параметра 1/f шума a от длины образца, чего практически не наблюдалось [2].

Литература

1. Vande P., Voorde and Love W. F. — Phys. Rev., 1981, vol. 24, No. 8, p. 4781 — 4786.
2. Hooge F. N., Kleinpenning T. G. N. and Vandamme L. K. J. — Rep. Prog. Phys., 1981, vol. 44, p. 480 — 532.

Поступило 2. IV 1986

С. Э. Элэкбэров, Ч. О. Гачар, Ч. Ф. Қәнкәрли

InSb-дә һәндәси магнит мүгавимәти өз 1/f КҮЙ

Мәгәләдә һәндәси өлчүләрдән өз μ_{077} јүргүлүк гүмәтнән асылы олары InSb монокристаллик нымуналәрдә күчлү магнит сағасыннан $\mu B \gg 1$ 1/f күйүн тә'сир тәдгиг олунмушудур. Көстөрilmишdir ки, нымунајә синия магнит сағаси тә'сир етдикдә эмалә қалып һәндәси магнит мүгавимәти 1/f күйүнүн ишеби спектрал сыйхыны тә'сир көстәрмир.

S. A. Alekperov, Ch. O. Qajar, Dj. F. Kengerly

GEOMETRICAL MAGNETORESISTANCE AND 1/f NOISE IN InSb

The influence of strong magnetic field in 1/f noise in monocrystalline samples of InSb is investigated as a function of mobility and geometric dimensions of the samples. It is shown that geometrical magnetoresistance occurred in transverse magnetic field doesn't effect on relative spectral density of 1/f noise.

Э. О. ДЖАФАРОВ, О. А. ГОЛИКОВА

ЭЛЕКТРИЧЕСКИЕ СВОЙСТВА НЕКОТОРЫХ ФАЗ ВНЕДРЕНИЯ
НА ОСНОВЕ β -РОМБОЗДРИЧЕСКОГО БОРА

(Представлено на заседании АН Азербайджанской ССР М. И. Алиевым)

Как известно [1—4], существует целый ряд фаз внедрения на основе β -ромбоздрического бора (β -бора). Это объясняется низким пространственным заполнением, характерным для его сложной кристаллической структуры (всего 36%). Наличие пустот в решетке благоприятствует образованию своеобразных твердых растворов внедрения атомы элементов, внедряющихся в каркас решетки β -бора, часто имеют значительно большие размеры, чем атомы самого бора.

β -бор образует такие твердые растворы внедрения с Ti, Be, Mg, Al, Si, Sc, а также с некоторыми переходными металлами. При этом внедряющиеся атомы могут занимать различные кристаллографические пустоты. Например, железо в β -боре находится в форме Fe^{2+} и Fe^{3+} , т. е., по крайней мере, в двух кристаллографических позициях. Этот результат следует из изучения эффекта Мессбауэра [2].

Внедрение атомов в пустоты решетки приводит к изменению объема элементарной ячейки (при сохранении ее структуры) и к изменению механических свойств [5].

Электрические свойства некоторых фаз внедрения на основе β -бора, $B-Fe$, $B-Co$, $B-Ni$ изучались в [6, 7].

Наиболее интересным результатом, полученным в [6, 7], было обнаружение n -проводимости в случае $B-Fe$. Как известно, легирование β -бора, независимо от валентности вводимой примеси, обычно приводит к P -проводимости [8]. Таким образом, в случае $B-Fe$ получается нетривиальный результат, причем переход к n -проводимости имеет место при введении Fe в количестве, отвечающему составу FeB_{28} .

В настоящей работе была исследована фаза FeB_{28} , причем образцы готовились методом, отличным от примененного в [6, 7], чтобы определить влияние технологии на получаемый своеобразный эффект легирования. Кроме того, в настоящей работе впервые исследованы электрические свойства фаз MnB_{22} и CuB_{24} .

Метод приготовления образцов состоял в следующем. Фазы указанных составов готовились методом кристаллизации из раствора-расплава (растворитель алюминий), как и целый ряд других высокобористых соединений [8]. Полученные порошки методом холодного прессования

спрессовывались в стержни, а затем эти стержни подвергали бесстигельной зонной плавке в высокочастотной печи в атмосфере гелия.

Температурные зависимости электропроводности представлены на рис. 1. Видно, что при высоких температурах точки для всех образцов ложатся на общую прямую, которая отвечает участку собственной проводимости β -бора. Таким образом, в данном случае действительно можно говорить именно о легированном β -боре.

Как видно из рассмотрения кривых (рис. 1), при низких температурах, наибольший эффект легирования дает примесь Fe, однако и другие примеси существенно изменяют электропроводность β -бора. Напомним, что у нелегированного β -бора $\sigma_{300K} \sim 10^{-6} 0 \text{ м}^{-1} \text{ см}^{-1}$.

Однако приведенные на рис. 1 кривые по характеру существенно отличаются от соответствующих кривых, полученных при легировании β -бора C, Zr, Hf, Ca и другими примесями, дающими P -проводимость [9]. Что касается термоэдс (рис. 2), то они по характеру также существенно отличаются от приведенных в [9]. Во-первых, FeB_{28} имеет при комнатной температуре отрицательный термоэдс. В этом отношении результаты совпадают с результатами [6], поскольку они не зависят от технологии. Это можно считать свойством данной фазы.Правда, величины термоэдс при комнатной температуре весьма малы и при повышении температуры изменяют знак, как это было замечено и в [6, 7]. Таким образом, поскольку результаты полностью воспроизводимы при нагревании и последующем охлаждении образца, можно говорить об образовании при введении в β -бор Fe примесных состояний донорного типа, по-видимому, компенсирующих «примесь бора в боре» (атомы бора с повышенными координационными числами), обеспечивающую обычную P -проводимость. Однако при высоких температурах преобладает P -проводимость, поскольку подвижность дырок в β -боре существенно выше, чем подвижность электронов [8].

Что касается MnB_{22} и CuB_{24} , то они имеют при $T=300$ К достаточно низкие, хотя и положительные термоэдс, которые затем резко возрастают, что также отличает их от термоэдс, приведенных в [9]. На осно-

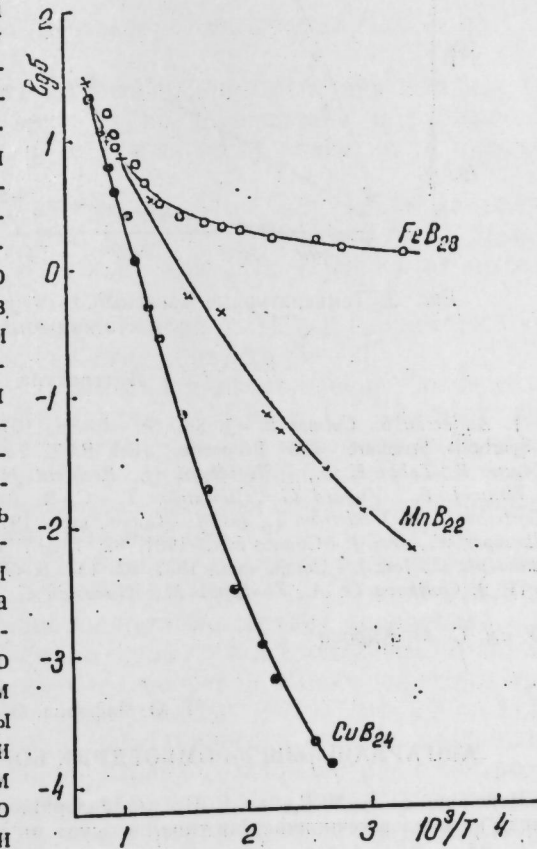


Рис. 1 Температурные зависимости электропроводности:

1 — FeB_{28} ; 2 — MnB_{22} ; 3 — CuB_{24}

вании этого можно сделать заключение, что Mn и Si также образуют уровни донорного типа, однако по сравнению с Fe, обеспечивают меньшую степень компенсации.

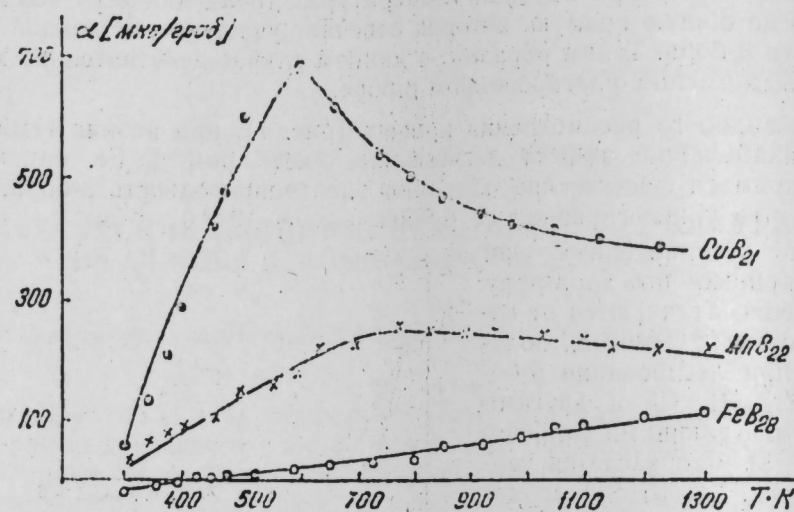


Рис. 2. Температурные зависимости термоэдс. Обозначения те же, что на рис. 1

Литература

- Anderson S., Calmer B. — J. Sol. St. Chem., 1974, 10 (3), 219.
- Jundström T. — In: *Boron-Synthesis, Structure and Properties* /Ed. F. R. Tavadze. Moscow: Nauka, 1974, p. 44.
- Mattes R., Tebbe K. B., Neidhardt H., Retzbeld H., Jess J. — Comm. met., 1976, 47, 29.
- Piton J. P., Vuillard G., Jundström T. — C. R. Acad. Sci. (Paris), 1974, 278 (c), 1945.
- Carlsson J. O., Jundström T., Jess J. — Comm. met., 1970, 22, 317.
- Werheit H., De Groot K., Malkemper W., Jess J. — Comm. met., 1981, 82, 163.
- Dusseau J. M., Robert J. L., Armas B., Combescure C., Jess J. — Comm. met., 1981, 82, 137.
- Golikova O. A. — Phys. Stat. Sol (a), 1979, 51, 11.
- Golikova O. A., Zhubanov M., Klimasbin G. M. — Electron Technology, 1970, 3, 269.

АГУ им. С. М. Кирова

Поступило 9. VII 1986

Е. О. Чәфәров, О. А. Голикова

АШГАРЛАШМЫШ β -РОМБОЕДРИК БОРУН ЕЛЕКТРИҚ ХАССАСИ

Мәгәләдә FeB_{28} MnB_{22} һәм CuB_{24} маддәләринин электрик хассаси өјрәнилмишидир. Алынан иетищеләр кечиричилүү тиши наргында мәлумат берил.

Е. О. Jaſarov, O. A. Golikova

THE ELECTRICAL PROPERTIES OF β -B WITH IMPURITIES

In the present article the electrical property of FeB_{28} , MnB_{22} and CuB_{24} alloys is investigated.

АЗЭРБАЙЧАН ССР ЕЛМЛӘР АКАДЕМИЯСЫНЫН МӘРУЗӘЛӘРИ

ДОКЛАДЫ АКАДЕМИИ НАУК АЗЕРБАЙДЖАНСКОП ССР

ТОМ XLIII ЧИЛД

№ 4

1987

УДК 621.315.592

ФИЗИКА ПОЛУПРОВОДНИКОВ

И. Д. ИСМАИЛОВ, Э. И. КУРБАНОВА, Х. Д. ДЖАЛИЛОВА, Э. К. ГУСЕИНОВ

МЕХАНИЗМЫ ПРОХОЖДЕНИЯ ФОТОТОКА В ВЫПРЯМЛЯЮЩЕМ КОНТАКТЕ $\text{Cu}(\text{Ag}) - \text{Cd}_x\text{Hg}_{1-x}\text{Te}$

(Представлено академиком АН Азербайджанской ССР Э. Ю. Салаевым)

Поверхностно-барьерные структуры, принцип действия которых основан на внутреннем фотоэффекте в полупроводнике и разделении электронно-дырочных пар электрическим полем у поверхности находят широкое применение [1, 2].

Исследование электрофизических свойств контактов металлов — $\text{Cd}_x\text{Hg}_{1-x}\text{Te}$ [3, 4] свидетельствует о влиянии диэлектрического зазора и поверхностных электронных состояний контакта (ПЭСК) на высоту барьера и вольтамперные характеристики.

Существование диэлектрического зазора и ПЭСК может оказывать влияние и на фотоэлектрические свойства контакта [5—7].

В настоящей работе изучался механизм прохождения фотоносителей заряда в реальных контактах металлов — $\text{Cd}_x\text{Hg}_{1-x}\text{Te}$. Для этого были проведены исследования зависимости фототока короткого замыкания от приложенного напряжения, спектральная зависимость фототока, вольтамперные и вольтфарадные характеристики поверхности-барьерных структур $\text{Cu}(\text{Ag}) - \text{n}-\text{Cd}_x\text{Hg}_{1-x}\text{Te}$ при $T=80$ К.

Для изготовления поверхности-барьерных структур использовались монокристаллы $n\text{-Cd}_x\text{Hg}_{1-x}\text{Te}$ с $x=0,28-0,29$ и с концентрацией $N_D - N_A = (1-3) \cdot 10^{14} \text{ см}^{-3}$. Однородность по составу определялась из измерений спектров пропускания по краю полосы оптического поглощения. Полупрозрачный слой меди или серебра наносился через трафарет термическим распылением в вакууме $10^{-5}-10^{-6}$ мм рт. ст. Площадь контактов составляла $0,5 \times 0,5 \text{ мм}^2$. Омический контакт создавался вплавлением индия. Толщина полупрозрачного слоя металла контролировалась на МИИ-4. Одновременно производилось напыление металла на кремниевую пластину. Коэффициент пропускания слоя металла определялся на спектрометре ИКС-29 в диапазоне длин волн 2—13 мкм. Для получения структур исследовались спектральные зависимости фототока при различных напряжениях на контакте в диапазоне длин волн 0,9—6 мкм на монохроматоре ИКС-21. Величина «фотоответа» измерялась на основной гармонике селективным вольтметром $Y_2=8$ при частоте 1400 Гц при нагрузке $R_n = 27$ ом. Мощность падающего светового тока в исследуемой области спектра измерялась в относительных единицах балометром.

Проведены также исследования ВАХ и ВФХ. Последние измерялись при частоте 1 МГц резонансным методом. Все измерения проводились при $T=80$ К. Исследование ВАХ показало, что прямая ветвь описывается выражением: $I=I_s I^{\alpha V}$. Параметр α изменяется в пределах 80—

30 B^{-1} в зависимости от предварительной обработки поверхности, что обусловлено влиянием диэлектрического зазора и ПЕСК. Наблюдалась корреляция между параметром a и фоточувствительностью. Фоточувствительность была тем больше, чем больше a . Исследование ВФХ позволило определить высоту потенциального барьера $w = 0,2 - 0,83 \text{ эВ}$ и ширину ОПЗ $w = 1,4 - 1,6 \text{ мкм}$. На рис. 1 приведены характерные зависимости отношения $i_{\Phi}(V)/i_{\Phi}(0)$ при энергии фотонов $h\nu = 1,35 \text{ эВ}$ для 3-х контактов с соответствующими значениями параметра a , причем $a_1 < a_2 < a_3$. Как видно из рис. 1, для контактов 1,2 с меньшими зна-

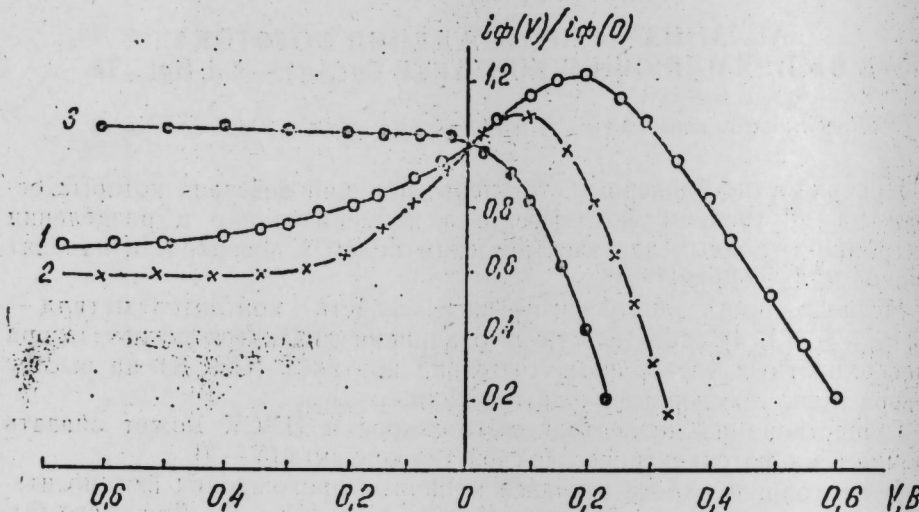


Рис. 1. Зависимость фототока короткого замыкания от приложенного напряжения ПБ структур Cu—п—Cd_xHg_{1-x}Te

чениями a (a_1, a_2) при некоторых значениях прямого напряжения $V_{\text{пр}}$ наблюдается максимум фоточувствительности, который сдвигается в сторону больших значений $V_{\text{пр}}$ при уменьшении параметра a . Для контакта 3 наблюдалось равенство фототока току световой генерации. Аналогичное наблюдалось на ПБД на основе GaAs [8], несмотря на существенное значение толщины диэлектрического зазора, что объяснялось эффектом накопления неосновных носителей на границе диэлектрик — полупроводник. Зависимость $i_{\Phi}(V)$ для контакта 3 хорошо согласуется с теоретическим выражением, полученным в работе [9], где показано, что при определенных условиях наличие высокой плотности поверхностных состояний не приводит к ухудшению характеристик фотодиодов. При этом необходимо, чтобы скорость эмиссии S_e превышала скорость поверхностной рекомбинации S_r .

$$S_e = V_t \bar{D}_p > S_r,$$

где \bar{D}_p — коэффициент прозрачности диэлектрического зазора для дырок, V_t — тепловая скорость дырок. Приняв для Cd_xHg_{1-x}Te возможные значения $S_r < 100 \text{ см}/\text{с}$ и вычисленное значение $V_t = 10^7 \text{ см}/\text{с}$ ($m_p = 0,55$), получим оценочную величину $\bar{D}_p > 10^{-5}$.

Рассмотрим наблюдаемые зависимости для контактов 1,2 (рис. 1). Фототок дырок при освещении в режиме короткого замыкания в случае поглощения света в ОПЗ по диодной теории определяется выражением [10]

$$i_{\Phi} = e \Phi T \eta (\bar{D}_p + C_{\text{pl}} m_i),$$

где Φ — число квантов света, падающих на единицу поверхности в единицу времени, T — коэффициент прозрачности слоя металла, η — квантовый выход внутреннего фотоэффекта, C_{pl} — сечение захвата дырок поверхностью i -м уровнем, m_i — концентрация электронов на поверхностном уровне концентрации n_i .

Из формулы видно, что когда $m_i C_{\text{pl}} \gg \bar{D}_p$, т. е. в переносе фототока определяющую роль играют ПЕСК, то ток носителей заряда генерированных в ОПЗ может существенно изменяться с приложенным напряжением, вследствие изменения с напряжением величины m_i (перезаполнение ПЕСК, принимающих участие в переносе фототока в контакте). Следовательно $i_{\Phi}(V)/i_{\Phi}(0) \approx m_i(V)/m_i(0)$. Увеличение $i_{\Phi}(V)$ при прямых напряжениях, обусловленное увеличением $m_i(V)$, свидетельствует о преимущественном обмене ПЕСК с полупроводником [11]. Таким образом, единственной причиной, обуславливающей наблюдаемые зависимости фототока от напряжения для контактов 2, 1 является прохождение фототока в контакте с участием ПЕСК. По абсолютной величине фототока в области максимума при энергии фотонов $h\nu = 1,35 \text{ эВ}$, соответствующего поглощения в ОПЗ, была определена величина $n_i C_{\text{pl}} = 0,2 - 0,4$ ($m_i = n_i$, т. к. все рассматриваемые уровни заполнены). При обратных напряжениях токи через ПКСК уменьшаются (вследствие уменьшения m_i). а скорость эмиссии дырок растет [12]. Начиная с некоторого значения $V_{\text{обр}}$ фототок определяется соотношением между S_e и S_r . Сравнивая измеренное значение фототока i_{Φ} с расчетным i_{Φ} , можно найти отношение $S_r/S_e \approx i_{\Phi}/i_{\Phi} = 6 - 8$ и $S_r = 600 - 800 \text{ см}/\text{с}$ для контактов 1, 2.

Спектральные зависимости фоточувствительности ПБ структур, приведенные на рис. 2, имеют некоторые особенности. Максимум фототока

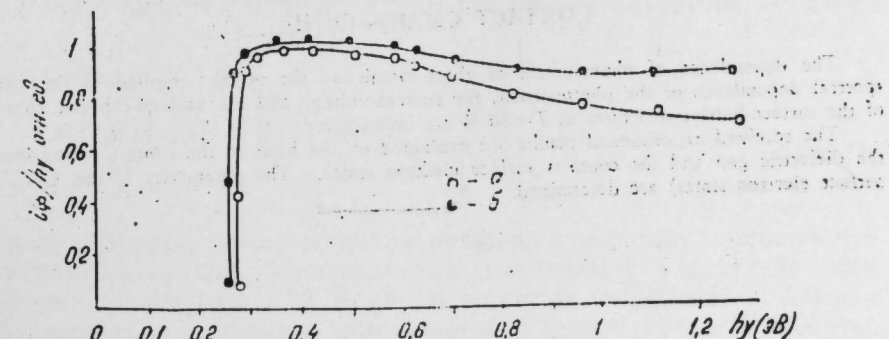


Рис. 2 Спектральная зависимость фототока на контактах: а — 1, 2; б — 3

чувствительности наблюдается при энергии фотонов $h\nu > E_g$, при дальнейшем увеличении энергии фотонов для контакта 3 фоточувствительность неизменна, а для контактов 1, 2 наблюдается незначительный ее спад. Сдвиг максимума в коротковолновую область обусловлен наличием диэлектрического зазора и ПЕСК, аналогично наблюдаемому в работе [13] на ПБД Au—пGe, где была дана формула для определения максимума, согласно которой максимум смещается в КВ область при $m_i C_{\text{pl}} \rightarrow 1$. Как было показано в работе [14], спад фоточувствительности в

коротковолновой области уменьшается для ПБ-структур с меньшими значениями скорости поверхностной рекомбинации, что также согласуется с полученными данными.

Литература

- Стриха В. И., Бузанова Е. В., Радзинский И. А. Полупроводниковые приборы с барьером Шотки. — М.: Сов. радио, 1974, с. 246.
- Стареев В. И. Полупроводниковые фотоприемники. — М.: Радиосвязь, 1984, с. 213.
- Pawlowski I. M. — Acta Phys. Polon., 1976, A, v. 49, p. 135, 563.
- Polla D.-L., Sod O. K. — Appl. Phys., 1980, v. 51, No. 9, p. 4908-4912.
- Доброжанский Ю. А. и др.—ФТП, т. 9, 1975, с. 2060.
- Shevchenko I., Green H. A., King D. — Sol. St. Elect., 1974, 17, No. 6, p. 563-572.
- Modan et al. — Appl. Phys. Lett., 1980, 37, No. 9, p. 826-828.
- Гуткин А. А., Седов В. Е. — ФТП, т. 10, 1976, с. 1589-1591.
- Саченко А. В., Крупнова И. В. — ФТП, т. 15, 1981, с. 73-81.
- Стриха В. И. Теоретические основы работы контакта металл—полупроводник. — Киев: Наукова думка, 1974, с. 263.
- Стриха В. И. — Изв. вузов СССР. Физика 1971, № 12, с. 35-42.
- Вуль А. Я., Козырев С. В., Федоров В. И. — ФТП, т. 15, 1981, с. 142.
- Кильчинская С. С., Стриха В. И. — ФТП, т. 9, 1975, с. 2060.
- Гуткин А. А., Седов В. Е. — ФТП, т. 9, 1975, с. 1761.

Поступило 10. VII 1986

Н. Ч. Исаев, Е. И. Гурбанова, Х. Д. Чалилова, Е. К. Гусейнов

ФОТОЧЭРЭЯНЫИ ДҮЗЛЭНДИРИЧИ КОНТАКТДАН $\text{Cu}(\text{Ag})-\text{n-Cd}_x\text{Hg}_{1-x}\text{Te}$ КЕЧИД МЕХАНИЗМИ

Гыса гапана заманы контакт иерилэн фоточэрэяныи кэркинликтөн асылылыгы, барад характеристикалары, $T=80$ К талгиг олуимушдур. Алышмыш экспериментал фоточэрэяныи спектрал асылылыгы, сэтни барјер структуруну полтампер ва волт-потичелэр вэ контактын сэтни электрон савицжэлэри вэ металла юрымкечирчи арасын-дакы диелектрик нэээрэ алышмагла изэн олуимур. Сэтни электрон савицжэлэри параметр-лэри тэдгиг олуимушдур.

N. D., Ismailov, E. I. Kurbanova, Rb. D. Djallilova, E. K. Guseinov

MECHANISM OF TRANSITION OF PHOTOCURRENT IN THE RECTIFYING CONTACT $\text{Cu}(\text{Ag})-\text{n-Cd}_x\text{Hg}_{1-x}\text{Te}$

The dependence of photocurrent of short circuit on the voltage applied to the contact, the spectral dependence of the photocurrent, the current-voltage and the voltage-capacity characteristics of the surface-barrier structures at $T=80$ K are investigated.

The received experimental results are explained on the basis of the contact taking into account the dielectric gap and the contacts surface electron states. The parameters of the CSES (contacts surface electron states) are determined.

АЗЭРБАЙЧАН ССР ЕЛМЛЭР АКАДЕМИЯСЫНЫН МЭРУЗЭЛЭРИ

ДОКЛАДЫ АКАДЕМИИ НАУК АЗЕРБАЙДЖАНСКОП ССР

ТОМ XLIII ЧИЛД

№ 4

1987

УДК 678.743.22.049

ОРГАНИЧЕСКАЯ ХИМИЯ

Чл.-корр Б. К. ЗЕПНАЛОВ, С. А. САРЫЕВА, Э. И. ШАГИДАНОВ,
И. И. ИСМАПЛОВ

ЭФИРЫ САЛИЦИЛОВОЙ КИСЛОТЫ В КАЧЕСТВЕ ПЛАСТИФИКАТОРА АЦЕТОБУТИРАТ- И ЭТИЛЦЕЛЛЮЛОЗЫ

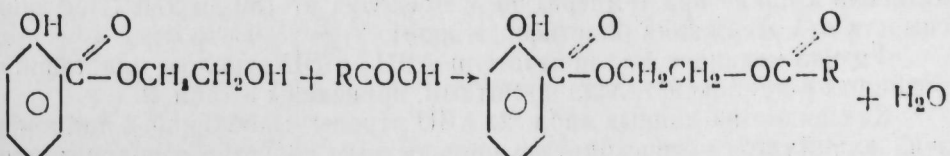
Для производства этролов применяются эфиры фталевой, двухосновных алифатических, лимонной и фосфорной кислот, сложные и сложнопростые эфиры ди- и триэтиленгликолов и некоторые другие [1-3]. Однако перечисленные пластификаторы по ряду свойств — летучести (фталаты низших спиртов), токсичности (фосфаты), малой доступности (себацинаты, нитраты, гликоляты и др.) не нашли широкого применения. В связи с этим разработка методов синтеза новых типов пластификаторов для эфиров целлюлозы остается актуальным вопросом.

Настоящая статья посвящена синтезу, исследованию и изучению пластифицирующих свойств эфиров салициловой кислоты — β -ацилоксистилсалицилатов общей формулы:



где R — от C_4H_9 до C_8H_{17} .

Синтез β -ацилоксистилсалицилатов осуществлялся путем взаимодействия β -октилового эфира салициловой кислоты с соответствующей жирной кислотой в присутствии кислого катализатора, согласно схеме:



Для проведения эксперимента в реакционную колбу, снаженную термометром, мешалкой, обратным холодильником с водоотделителем Дина-Старка, помещают 0,12 моля β -оксиэтилсалицилата, 0,1 моля жирной кислоты, 1% к смеси компонентов 57%-ной хлорной кислоты, используемой как катализатор, и 40 мл растворителя — толуола. Реакционная смесь при температуре 110—120 °C перемешивается в течение 2 ч до выделения рассчитанного количества воды, после чего продукты реакции охлаждаются, обрабатываются раствором карбоната натрия, сушатся и подвергаются фракционировке.

Состав и строение синтезированных эфиров салициловой кислоты были подтверждены методом ИК- и ЯМР-спектроскопии, а чистота хроматографическим анализом. Основные показатели β -ацилоксистилсалицилатов приведены в табл. 1.

β -ацилоксистилсалицилаты представляют собой бесцветные маслянистые жидкости, не растворимые в воде, но хорошо растворяющиеся в органических растворителях.

Синтезированные эфиры салициловой кислоты были испытаны в качестве пластификаторов производных целлюлозы. Для оценки их эффективности и полезности они сравнивались с одним из лучших, применяемых для этих целей, промышленным пластификатором дибутил-

Таблица 1
Физико-химические показатели β -ацилоксиэтилсалицилатов $\text{HOCH}_2\text{CH}_2\text{COOCH}_2\text{CH}_2\text{—OR}$

R	T. кип. при 1,5 мм рт. ст., °C	d_4^{20}	d_D^0	MK_D		Элементный состав, %			
				найд.	выч.	С	найд.	выч.	Н
C_4H_9	158—159	1,1544	1,5121	69,15	68,08	63,62	63,15	6,91	6,77
C_5H_{11}	169—171	1,1204	1,5001	73,50	72,70	64,51	64,28	7,63	7,14
C_6H_{13}	173—174	1,1027	1,4929	77,50	77,32	66,26	65,30	8,01	7,48
C_7H_{15}	178—180	1,0724	1,4865	82,50	81,94	67,05	66,23	8,30	7,79
C_8H_{17}	190—192	1,0624	1,4851	86,88	86,56	67,21	67,08	8,36	8,07

себацинатом (ДБС). Этилцеллюлозные этролы готовились смешением 10 масс. ч. полимера с 10 масс. ч. пластификатора, 0,2 масс. ч. стеарата кальция, 0,5 масс. ч. термооксиданта. Ацетобутиратцеллюлозные этролы готовились по следующей рецептуре, масс. ч.: полимер — 100, пластификатор — 10, стерата кальция (стабилизатор) — 0,25, П-23 (термооксидант) — 0,25, салол (светостабилизатор) — 1, смола Д-20 — 0,5. Контрольными служили этролы с добавкой ДБС.

Получение этролов осуществлялось суховальцевым методом при температуре вальцевания для ацетобутиратцеллюлозы (АБЦ), равной 155—165 °C, и для этилцеллюлозы (ЭЦ) — 160—175 °C. Продолжительность вальцевания колебалась в пределах 10—15 мин. Образцы этролов изготавливались методом литья под давлением на шнековой литьевой машине при температуре в пределах от 180 до 230 °C (в зависимости от содержания пластификаторов).

Физико-механические показатели АБЦ- и ЭЦ-этролов, пластифицированных β -ацилоксиэтилсалицилатами, приведены в табл. 2.

Как видно из данных табл. 2, АБЦ-этролы с добавкой β -ацилоксиэтилсалицилатов превосходят по прочностным свойствам, водопоглощению, морозостойкости и летучести контрольные образцы с ДБС. Также было показано, что ЭЦ-этролы, полученные на основе β -ацилоксиэтилсалицилатов, превосходят контрольные образцы по прочности, водопоглощению и летучести. На основании этого β -ацилоксиэтилсалицилаты рекомендуются как эффективные пластификаторы для ацетобутират- и этилцеллюлозы.

Литература

1. Тиниус К. Пластификаторы. — М.-Л.: Химия, 1961, с. 660—662.
2. Японск. пат. № 13268. Композиция на основе ацетата целлюлозы. (Мухаи Ацухико). — Опубл. в РЖХ 1968, 18C601.
3. Англ. пат. № 1041840. Способ пластификации органических производных целлюлозы (Taylor Francis). — Опубл. в РЖХ 1967, 10C415П.
4. А. с. № 789511 (СССР). β -ацилоксиэтилсалицилаты в качестве пластификатора ацетобутират- и этилцеллюлозы. (Б. К. Зейналов, Э. Н. Шагиданов, С. А. Сарыева). — Опубл. в Б. И., 1980, № 47.

Институт нефтехимических процессов АН АзССР

Поступило 27. III 1986

Таблица 2

Пластификатор	Ацетобутиратцеллюлозные этролы				Этилцеллюлозные этролы						
	Модуль упругости при -40°C , кг/см 2	Модуль упругости при 0°C , кг/см 2	Модуль упругости при 40°C , кг/см 2	Модуль упругости при 50°C , кг/см 2	Модуль упругости при -40°C , кг/см 2	Модуль упругости при 0°C , кг/см 2	Модуль упругости при 40°C , кг/см 2	Модуль упругости при 50°C , кг/см 2			
Дибутилсебацинат	18,0	428	348	40,0	536	—	1,40	0,54	5,2	0,34	—
β -валероксиэтилсалицилат	17,5	458	410	39,5	621	—	1,40	0,50	5,0	0,38	—
β -капроноксиэтилсалицилат	17,5	448	378	43,5	595	—	1,40	0,45	5,0	0,38	—
β -каприлоксиэтилсалицилат	17,0	446	371	45,0	585	—	1,30	0,44	5,1	0,36	—
β -пальмоксиэтилсалицилат	16,0	435	363	51,0	575	—	1,20	0,37	5,1	0,36	—
Дибутилсебацинат	28,8	440	368	21,0	530	—	1,99	1,30	4,3	—	—
β -валероксиэтилсалицилат	28,0	515	425	21,0	586	—	1,92	0,89	4,2	—	—
β -капроноксиэтилсалицилат	28,0	512	422	21,0	580	—	1,78	0,74	4,2	—	—
β -каприлоксиэтилсалицилат	27,5	510	423	21,0	576	—	1,70	0,60	4,3	—	—
β -пальмоксиэтилсалицилат	27,5	495	420	21,0	564	—	1,68	0,51	4,1	—	—

Б. Г. Зеиналов, С. А. Сарыева, Е. Н. Шакиданов, И. И. Исмаилов

АСЕТОБУТИРАТ ВЭ ЕТИЛСЕЛЮЛОЗАДА САЛИСИЛ ТУРШУСУНИ
ЕФИРЛƏРИНИН ПЛАСТИФИКАТОР КИМИ ӨЈРƏНИЛМƏСИ

Мəгалəдə яғ түршуларынын салицил түршусуну β -окситетпл əфирина тə'сир ила оналарын валеријан түршусундан башлајарaq пеларгон түршусуна кими мүрəккəб əфирилəрди синтез едилмишdir.

Һəмми əфирилəрни асетобутират вэ етилселюлоzозынын стролларына пластификасиya тə'сирин өјрəнилмишdir. Мүəjжəп едилмишdir ки, β -асилокситетплалисатлар jүкseк кеjfiyətli пластификаторлардыр, селюлоzозынын əфирилəрди учун бù əфирилəр озлəriniн комплекс физики-механики хассəлəрди ила питеңсалатда тətbiq едилən dibutylsebacenat пластификаторunu эвəз edir.

B. K. Zeinalov, S. A. Saryeva, E. N. Sagidjanov, I. I. Ismailov

SALICYLATES AS A PLASTICIZER FOR ACETOBUTYRATE-
AND ETHYL-CELLULOSE

β -acyloxyethylsalicylates were synthesized and studied in interaction of β -oxyethylsalicylates with fatty acids from valeric acid to pelargonic acid.

Plasticizing properties of the salicylates synthesized in the composites of acetobutyrate and ethycellulose ethrols were studied. It was established that β -acyloxyethylsalicylates were effective plasticizers for cellulose esters so far as ethrols on their base were superior for their physico-mechanical properties to the plasticates containing dibutylsebacate.

АЗЭРБАЙЧАН ССР ЕЛМЛƏР АКАДЕМИЯСЫНЫН МƏРУЗƏЛƏРИ

ДОКЛАДЫ АКАДЕМИИ НАУК АЗЕРБАЙДЖАНСКОП ССР

ТОМ XLIII ЧИЛД

№ 4

1987

УДК 541.123.3

ФИЗИЧЕСКАЯ ХИМИЯ

Д. Б. ТАГИЕВ

ИССЛЕДОВАНИЕ УЗКОПОРИСТЫХ ЦЕОЛИТОВ,
СОДЕРЖАЩИХ ПЕРЕХОДНЫЕ ЭЛЕМЕНТЫ, МЕТОДОМ РФЭС

(Представлено академиком АН Азербайджанской ССР Т. Н. Шахтахтинским)

Металлодержащие цеолиты находят широкое применение в разработке эффективных катализаторов для процессов риформинга, гидрокрекинга и т. д. [1]. Для понимания механизма каталитического действия цеолитов существенное значение имеет информация о состоянии переходных элементов в поверхностных слоях цеолитов, где протекают некоторые каталитические реакции. В настоящей работе приведены результаты исследования металлодержащих узкопористых цеолитов типа эрионита и морденита методом рентгеновской фотоэлектронной спектроскопии.

ЭКСПЕРИМЕНТАЛЬНАЯ ЧАСТЬ

Катализаторы были получены обработкой Na-морденита или Na, K-эрионита 10—12%-ными водными растворами азотокислых солей никеля, меди и железа при комнатной температуре. Степень обмена катионов щелочных металлов на ионы переходных элементов составляла 25—50 экв. %. После ионного обмена цеолиты тщательно промывали дистиллированной водой до отсутствия анионов NO_3^- и сушили при 100—120°C в течение 4—5 ч.

РФЭ-спектры цеолитов снимали на приборе ES-100, снабженным многоканальным анализатором Nic-1170 для накопления сигналов [2]. Образцы размером 5×15 мм прессовали в металлическую сетку и крепили на стальном держателе. Измерение спектров проводили в вакууме $\sim 10^{-7}$ тор. В качестве стандарта использована линия C 1s с энергией связи ($E_{\text{св}}$) 285,0 эв.

РЕЗУЛЬТАТЫ И ИХ ОБСУЖДЕНИЕ

Согласно литературным данным [2, 3], в пределах точности эксперимента составы поверхности и объема цеолитов типа фожазита и морденита, содержащих непереходные элементы, близки друг к другу. Однако при введении в состав цеолитов переходных элементов их катионы могут неоднородно распределяться по объему кристалла цеолита. Так, в [2] отмечено, что при восстановлении Ni- и Ag-содержащих цеолитов типа У происходит обогащение поверхности переходным элементом.

При исследовании Ni-, Cu- и Fe-форм цеолитов типа эрионита и морденита нами обнаружено, что с увеличением температуры прокаливания образцов до 500°C наблюдается уменьшение отношения интег-

ральных интенсивностей $\text{Me} 2p$ к $\text{Si} 2p$ по сравнению с исходным (таблица). Это может свидетельствовать об изменении концентрации переходных элементов на внешней поверхности кристаллов цеолита в результате

Влияние предварительной обработки цеолитов на отношение интегральных интенсивностей $\text{Me} 2p$ к $\text{Si} 2p$

Цеолит	Т-ра обработка, * °C	$\frac{\text{I Me} 2p}{\text{I Si} 2p}$
0,50 Ni—морденит	120	0,55
	500	0,32
0,30 Cu — эрионит	120	0,49
	500	0,23
0,25 Fe — эрионит	120	0,44
	500	0,13
0,25 Ni — эрионит	500	0,40
		0,17

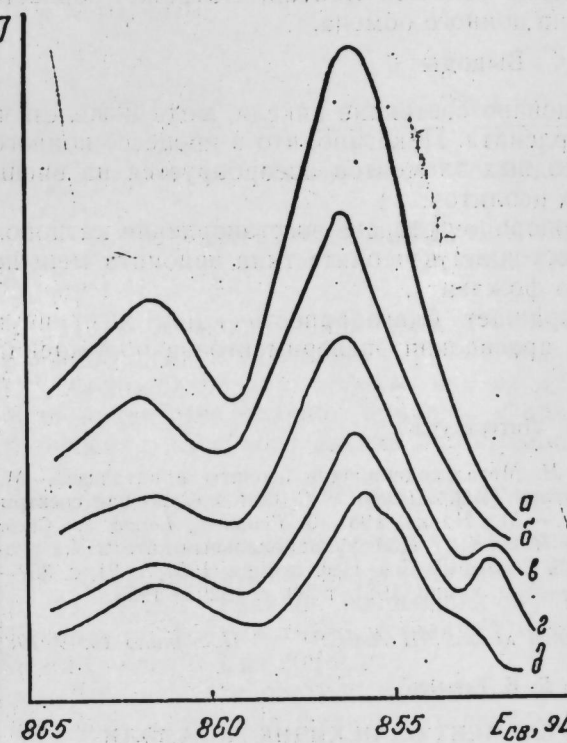
* Длительность термообработки 5 ч.

термообработки. Причем если в случае цеолита типа У наблюдается диффузия атомов никеля по мере восстановления на внешнюю поверхность кристаллов, то в случае узкопористых цеолитов имеет место уменьшение концентрации никеля в приповерхностном его слое. Этот результат можно объяснить, если допустить, что обогащение поверхности кристаллов узкопористых цеолитов может произойти в процессе ионного обмена, когда часть двухвалентных катионов может адсорбироваться на внешней поверхности кристаллов без выхода натрия в раствор [4]. При термообработке ионообменных форм цеолитов происходит миграция катионов переходных металлов вглубь кристаллов цеолитов, что проявляется в уменьшении отношения интегральных интенсивностей $\text{Me} 2p$ к $\text{Si} 2p$.

Для исключения возможности гидролиза солей различных металлов в водных растворах и осаждения образующихся гидроокисей на поверхности кристаллов цеолита, ионный обмен между эрионитом и Ni^{2+} проводили в буферном растворе с использованием ацетата никеля. Однако и при этом оказалось, что отношение интегральных интенсивностей $\text{Ni} 2p$ к $\text{Si} 2p$ снижается от 0,35 до 0,21 при повышении температуры обработки образцов от 120 до 500 °C. По-видимому, такое поведение характерно для узкопористых цеолитов, содержащих катионы переходных элементов, и не связано с образованием окисной фазы металла в результате гидролиза солей.

Полученные результаты позволяют объяснить влияние катионов переходных металлов в составе цеолита типа эрионита на соотношение отдельных продуктов реакции при окислительном дегидрировании наftenовых углеводородов [5, 6]. В этих работах было показано, что природа катионов непереходных металлов (щелочных и щелочноземельных) не оказывает существенное влияние на отношение выходов циклоолефина и ароматических углеводородов. Однако введение катионов различных переходных элементов в состав эрионита снижает селективность по циклоолефинам в результате роста выходов ароматических углеводородов и окислов углерода. Такое отличие в каталитических свойствах узкопористых цеолитов, содержащих катионы непереходных и переходных элементов, связано, по-видимому, с тем, что в процессе ионного обмена часть катионов переходных металлов адсорбируется на внешней по-

верхности кристаллов цеолита, и находясь в доступных для реагирующих молекул местах, ускоряет реакции дегидрирования циклоолефинов в ароматические углеводороды.



Изменение валентного состояния никеля при различных обработках цеолита 0,25 Ni — эрионит: *a* — исходный образец, высушенный при 120 °C на воздухе; *b* — 500 °C, воздух; *c* — 450 °C, 6 тор H_2 ; *d* — 500 °C, 6 тор H_2 ; *e* — 500 °C, 6 тор O_2

Результаты исследования влияния различных обработок на состояние переходных элементов в узкопористых цеолитах представлены на рисунке, в котором показаны спектры $\text{Ni} 2p$ в цеолите 0,30 Ni-эрионите, высушенном при 120 °C и вакуумированном при комнатной температуре (спектр *a*). С увеличением температуры обработки до 500 °C интенсивность сигнала $\text{Ni} 2p$ уменьшается почти в два раза (спектр *b*), что, вероятно, обусловлено миграцией Ni^{2+} вглубь кристаллов цеолита, где они не фиксируются методом РФЭС. При восстановлении Ni-эрионита водородом при 450 °C с течение 2 ч в спектрах появляется новая линия с $E_{\text{cb}}=853,2$ эв (спектр *c*), что обусловлено восстановлением Ni^{2+} до Ni^0 . С увеличением температуры обработки в водороде до 500 °C степень восстановления никеля возрастает (спектр *d*). Следует отметить, что согласно [2] при высоких температурах восстановления увеличивается отношение $\text{I Ni} 2p/\text{I Si} 2p$ по сравнению с исходным, что объясняется диффузией атомов Ni^0 на внешнюю поверхность. Однако, как следует из рисунка, в случае Ni-эрионита, восстановленного при различных температурах, отношение $\text{I Ni} 2p/\text{I Si} 2p$ практически не изменяется, что может свидетельствовать об отсутствии диффузии Ni^0 на внешнюю поверхность цеолита. Не оказывает влияния на отношение $\text{I Ni} 2p/\text{I Si} 2p$ и обработка восстановленного образца кислородом при 500 °C (спектр *e*). При этом интенсивность линии, характерной для Ni^0 , значительно снижается и в спектре регистрируется линия, энергия связи которой

близка к E_{cb} для NiO. Это указывает на образование окисной фазы на поверхности кристаллов цеолита. Обращает на себя внимание и тот факт, что в отличие от NiNaU [2] в случае Ni-эрионита восстановление Ni^{2+} до Ni^0 происходит в заметно меньшей степени, что может зависеть от структуры цеолита и степени ионного обмена.

Выводы

1. Методом РФЭС исследовано состояние никеля, меди и железа в цеолитах типа эрионита и морденита. Показано, что в процессе ионного обмена часть катионов переходных элементов адсорбируется на внешней поверхности узкопористых цеолитов.

2. При термообработке водородом степень восстановления катионов никеля до низковалентного состояния в цеолите типа эрионита меньше по сравнению с цеолитом типа фожазита.

В заключение автор выражает благодарность канд. хим. наук Е. С. Шпиро за помощь при проведении экспериментов и обсуждении результатов.

Литература

1. Миначев Х. М., Исаков Я. И. Металлсодержащие цеолиты в катализе. — М.: Наука, 1976.
2. Миначев Х. М., Антошин Г. В., Шпиро Е. С. Фотоэлектронная спектроскопия и ее применение в катализе. — М.: Наука, 1981.
3. Finster I., Lorenz P. — Chem. Phys. Lett., 1977, v. 50, p. 223–227.
4. Ионе К. Г. Полифункциональный катализ на цеолитах. — Новосибирск, Наука, 1982.
5. Тагиев Д. Б. — Нефтехимия, 1981, т. 21, с. 357–360.
6. Тагиев Д. Б., Миначев Х. М. — Усп. химии, 1981, т. 50, с. 1929—1959.

Институт неорганической и физической химии АН АзССР Поступило 13. V 1985

Д. Б. Тагиев

ТЭРКИБИНДЭ ҚЕЧИЧИ ЕЛЕМЕНТ ОЛАН ҚИЧИК МӘСАМӘЛИ СЕОЛИТЛӘРИН РФЕС МЕТОДУ ИЛӘ ТӘДГИГИ

Мәгаләдә РФЕС методу илә ерионит ва морденит типли сеолитләрни тәркибиндә олан қеучи метал катионларының вәзијәттөн тәдгиг едилмишdir. Қөстәрилмишdir ки, ион мубадила процесси заманы катионларының бир һиссәсі сеолиттеги ҳаричин сәтгендә адсорбция, олунур вә температур жүксәлдикчә, кристалларының дахилиша миграция едир. Ейни шәрантәдә ерионит типли сеолиттә никелини редуксијасы фожазитләре иисбәтән хејли чатын кедир.

D. B. Tagiev

INVESTIGATION OF NARROWPOROUS ZEOLITES CONTAINING TRANSITION ELEMENTS BY THE METHOD OF ESCA

By the method of ESCA the cation condition of various transition elements in the narrowporous zeolites of erionite and mordenite type is investigated. It is established that cations parts of transition metals in the ion exchange process can be adsorption at the outer surface and migration into zeolite crystals by the growth of preliminary treatment temperature. Under similar conditions of treatment by hydrogen the reduction of nickel in erionite proceeds to a lesser degree than in faujasites.

АЗӘРБАЙҖАН ССР ЕЛМЛӘР АКАДЕМИЈАСЫНЫҢ МӘРҮЗӘЛӘРИ

ДОКЛАДЫ АКАДЕМИИ НАУК АЗЕРБАЙДЖАНСКОЙ ССР

ТОМ XLIII ЧИЛД

№ 4

1987

УДК 622.276.5.001.0

РАЗРАБОТКА МЕСТОРОЖДЕНИЙ НЕФТИ И ГАЗА

Чл.-корр. М. Т. АБАСОВ, Э. Х. АЗИМОВ

К МЕТОДИКЕ ОБРАБОТКИ ИНДИКАТОРНЫХ ЛИНИЙ СКВАЖИН

Причины искривления индикаторных линий (ИЛ) разными авторами объясняется влиянием различных факторов и, исходя из этого предлагаются различные методики их интерпретации. Одни исследователи в качестве главной причины искривления ИЛ скважин считают нарушение линейного закона фильтрации и предлагают их обрабатывать по известной двучленной формуле в координатах $\frac{\Delta P_s}{q}$ или $\frac{\Delta P_c^2}{q}$

q [1, 2 и др.]. Однако при этом только часть ИЛ в указанных координатах представляются прямыми линиями. Так, например, только половину из 34 ИЛ скважин, вскрывших верхнемеловые залежи ЧИ АССР, удалось обрабатывать по указанной методике, а по нижнемеловым залежам — всего 3 из 20 [3].

Другие исследователи считают, что искривление ИЛ — результат в основном изменения физических свойств флюида и коллектора в зависимости от давления. ИЛ при этом предлагается обрабатывать по методу избранных точек [4, 5], графоаналитическим методом [6, 7 и др.]

или же путем построения ее в координатах $\frac{z}{\Delta P_c}$ и ΔP_c [8, 9 и др.]

Следует отметить, что в условиях конкретных залежей влияние того или иного отдельного фактора или их групп на форму ИЛ возможно и может быть преобладающим. Естественно, что в таком случае достоверность результатов количественной расшифровки ИЛ в значительной степени будет зависеть от правильного выбора методики их обработки. Но в общем случае форма ИЛ предопределяется совокупностью влияния различных факторов и естественно, что строгая и обоснованная методика их интерпретации должна учитывать влияние всех факторов. В связи с этим были предложены методики, учитывающие влияние обоих факторов на форму ИЛ [3, 9–10 и др.]. Согласно им, ИЛ обрабатываются по методу избранных точек, т. е. решается система алгебраических уравнений, составленных по числу неизвестных коэффициентов. Но в ряде случаев использование рассматриваемой методики при заведомо качественных данных исследования приводит к физически абсурдным результатам (величины коэффициента продуктивности скважин или параметра, характеризующего нарушение линейного закона фильтрации, получаются отрицательными). Это свидетельствует о недостаточно точной идентификации ИЛ, т. е. о неудовлетворительной степени совпадения принимаемой математической модели притока с реальной природой процесса, а также о несовершенстве методов обработки ИЛ. Например,

учет изменения физических свойств флюида и коллектора производится только от давления. Однако известно, что снижение давления в пласте вызывает изменение температуры фильтрующего потока и как следствие дополнительное изменение их физических свойств [11, 12]. В зависимости от давления может изменяться и работающая мощность пласта; в результате десорбционных процессов может увеличиваться проницаемость коллектора; с увеличением влагосодержания может уменьшаться вязкость газа и т. д.

В связи с вышеприведенным предлагается аппроксимировать зависимость комплекса физических свойств флюида и коллектора от снижения давления и соответствующих ему процессов в общем случае многочленом степени n . Тогда уравнение притока флюида к скважине с учетом возможного нарушения линейного закона фильтрации можно представить в виде:

$$q + F_c q^2 = A_0 \Delta P_c + A_1 \Delta P_c^2 + A_2 \Delta P_c^3 + \dots + A_n \Delta P_c^{n+1}. \quad (1)$$

Здесь q — дебит скважины; ΔP_c — депрессия в скважине; A_0 — коэффициент продуктивности скважины; F_c — коэффициент, характеризующий нарушение линейного закона фильтрации; $A_1, A_2, A_3, \dots, A_n$ — коэффициенты, характеризующие изменение комплекса физических свойств флюида и коллектора в зависимости от снижения давления и сопутствующих ему процессов. Преобразуем (1) к удобному для обработки ИЛ виду:

$$\frac{q}{\Delta P_c} = A_0 + \left[A_1 - F_c \left(\frac{q}{\Delta P_c} \right)^2 \right] \Delta P_c + A_2 \Delta P_c^2 + \dots + A_n \Delta P_c^n \quad (2)$$

Подлежат определению коэффициенты A_0, F_c, A_1 , следовательно и показатель степени полинома n .

Согласно предлагаемой методике, ИЛ скважин строятся в координатах $\frac{q}{\Delta P_c}$ и ΔP_c . При этом могут иметь место три возможных случая:

1. Коэффициент продуктивности скважин не изменяется в зависимости от депрессии. Тогда ИЛ в указанных выше координатах $\frac{q}{\Delta P_c}$

и ΔP_c представляют собой горизонтальные прямые и по отрезку, отсекаемому на оси ординат легко и просто определяется A_0 . Очевидно, что в этом случае коэффициенты F_c, A_1 и показатель степени полинома n равны нулю или же $n=1, A_1=A_0^2 F_c$ и $A_2, A_3, A_4, \dots, A_n=0$. Однозначный ответ и определение величин коэффициентов A_1 и F_c в последнем случае возможны только при наличии ИЛ, снятых на разные даты.

2. Коэффициент продуктивности скважин изменяется (растет или уменьшается) в зависимости от депрессии по линейному закону. Согласно (2), по отрезку, отсекаемому на оси ординат, и углу наклона полученной прямой определяются соответственно коэффициенты A_0 и A_1 . Ясно, что при этом $F_c=0$ и $n=1$; т. е. коэффициенты $A_2, A_3, A_4, \dots, A_n$ равны нулю.

3. Коэффициенты продуктивности скважин изменяются в зависимости от депрессии по нелинейному закону. В этом случае ИЛ, построенные в координатах $\frac{q}{\Delta P_c}$ и ΔP_c , экстраполируются до оси ординат ($\Delta P = 0$) и по отрезку, отсекаемому на ней определяется коэффициент продуктивности скважин, т. е. A_0 .

Когда один из режимов, при котором исследована скважина, соответствует небольшой депрессии, а часто бывает именно так, указанным образом A_0 определяется довольно точно. Если при исследовании скважин такое положение не соблюдено, то найденное значение коэффициента A_0 уточняется следующим образом. ИЛ, в соответствии с известной двучленной формулой [1, 2], строится в координатах $\frac{\Delta P_c}{q}$ и q и

путем экстраполяции этой зависимости до оси ординат ($q=0$) определяется коэффициент фильтрационных сопротивлений a , который должен быть равен обратной величине коэффициента A_0 . Сопоставляя найденные таким образом значения указанных коэффициентов a и A_0 и корректируя их при необходимости, уточняется величина искомого коэффициента A_0 .

Тогда уравнение (2) можно представить в виде:

$$\frac{q/\Delta P_c - A_0}{\Delta P_c} = A_1 - F_c \left(\frac{q}{\Delta P_c} \right) + A_2 \Delta P_c + A_3 \Delta P_c^2 + \dots + A_n \Delta P_c^{n-1} \quad (3)$$

Затем ИЛ в соответствии с (3) перестраивается в координатах $\frac{q/\Delta P_c - A_0}{\Delta P_c}$ и $(q/\Delta P_c)^2$ или ΔP_c , и если она имеет прямолинейный

вид, то по отрезку, отсекаемому на оси ординат и углу наклона его определяются соответственно коэффициенты A_1 и F_c (или A_2). Остальные коэффициенты расчетной формулы (3) при этом, естественно, равны нулю.

Как показывает практика, в большинстве случаев интерпретация ИЛ на этом и кончается. В довольно редких случаях непрямолинейности ИЛ в указанных координатах, она в координатах $\frac{q/\Delta P_c - A_0}{\Delta P_c}$ и ΔP_c экстраполируется до оси ординат ($\Delta P_c = 0$) и затем определяется отрезок δ , отсекаемый на ней. Как видно из (3)

$$\delta = \left(\frac{q/\Delta P_c - A_0}{\Delta P_c} \right)_{\Delta P_c=0} = A_1 - F_c A_0^2 \quad (4)$$

Далее, с учетом (4), уравнение (3) приводится к виду:

$$\frac{q/\Delta P_c - A_0 - \delta \Delta P_c}{\Delta P_c^2} = A_2 + \frac{A_0^2 - (q/\Delta P_c)^2}{\Delta P_c} F_c + A_3 \Delta P_c + \dots + A_n \Delta P_c^{n-2} \quad (5)$$

Перестраивая еще раз ИЛ, теперь уже в соответствии с (5) в координатах $\frac{q/\Delta P_c - A_0 - \delta \Delta P_c}{\Delta P_c^2}$ и $\frac{A_0^2 - (q/\Delta P_c)^2}{\Delta P_c}$ или (ΔP_c) , по от-

резку, отсекаемому на оси ординат и углу наклона его определяются соответственно коэффициенты A_2 и F_c (или A_3). Из (4) определяется коэффициент A_1 . Прямолинейность ИЛ в указанных, а вообще говоря и в любых координатах, означает, что все последующие коэффициенты A_i равны нулю.

Аналогичным образом при необходимости можно определять и остальные коэффициенты A_i .

Таким образом, разработана методика интерпретации ИЛ нефтяных, газовых и газоконденсатных скважин, позволяющая при их расшифровке (не задаваясь априори известными математическими моделями стационарной фильтрации флюида) установить в каждом конкретном случае уравнение притока к скважине; определить закон фильтрации флюида в пласте; найти величину коэффициента продуктивности скважин, соответствующую текущему пластовому давлению, и установить в рамках проведенных исследований закономерность его изменения в зависимости от депрессии с учетом всего комплекса происходящих в пласте процессов.

Оценку влияния отдельных параметров на характер стационарной фильтрации, обусловленного изменением давления, температуры и неучитываемыми в настоящее время аналитическими методами, можно осуществлять, проводя комплекс лабораторных и дополнительных промысловых (дебитометрия, температурный профиль продуктивного разреза) исследований.

Возможность использования предлагаемой методики при выполнении прогнозных расчетов является предметом специального рассмотрения.

Литература

1. Инструкция по комплексному исследованию газовых и газоконденсатных пластов скважин. /Под ред. Г. А. Зотова, З. С. Алиева—М.: Недра, 1980.—301 с. 2. Майдебор В. Н. Особенности разработки нефтяных месторождений с трещиноватыми коллекторами.—М.: Недра, 1980.—288 с. 3. Зайцев В. М.—Нефтяное хозяйство, 1972, № 2, с. 30—33. 4. Абасов М. Т., Гасанов Ф. Г., Оруджалиев Ф. Г.—ДАН АзССР, т. 22, № 4, 1966, с. 93—99. 5. Абасов М. Т., Алиев Э. Ш., Оруджалиев Ф. Г., Шелевой Н. Ш.—Тр. АзНИПИнефть. Вопросы разработки нефтяных месторождений в Азербайджане.—Баку, 1975, вып. XXXV, с. 40—42. 6. Горбунов А. Т. Разработка аномальных месторождений.—М.: Недра, 1971.—237. с. 7. Николаевский В. Н., Басниев К. С., Горбунов А. Т., Зотов Г. А. /Механика насыщенных пористых сред.—М.: Недра, 1970.—335 с. 8. Абасов М. Т., Азимов Э. Х., Абдуллаев М. К. и др.—Временное руководство по гидродинамическим методам изучения фильтрационных свойств залежей нефти и газа, характеризующихся высокими пластовыми давлениями.—Баку: Элм, 1978.—128 с. 9. Абасов М. Т., Азимов Э. Х., Кульев А. М. и др.—Нефтяное хозяйство, 1974, № 1, с. 35—39. 10. Донцов К. М., Боярчук В. Т.—Нефтяное хозяйство, 1968, № 6, с. 38—42. 11. Азимов Э. Х.—Изв. АН АзССР, серия наук о Земле, 1981, № 4, с. 44—49. 12. Абасов М. Т., Абдуллаев М. К., Агаев Н. Г. и др.—Докл. АН АзССР, 1979, № 10, с. 53—58.

ИПГНГМ АН АзССР

Поступило 6. VI 1986

М. Т. Абасов, Е. Х. Эзимов

ГҮҮЛЛАРЫН ИНДИКАТОР ЭЖИЛЭРИНИН ИШЛЭМЭСИНЭ ДАИР

Мэгалэдэ мүхтэлиф тэбийн вэ технологийн амьтлээрин тэсирини даха долгуй нэээрэвтмагла нефт, газ вэ газ-конденсат гүүлларынны индикатор эжилэриний ишлэмэс методикасы тэклиф олнуур. Методика гүүнүн мэсулдарлыг эмсалыны вэ онун депрессија-

дан асылы дэвишмэ ганунаујгүнлүүнү, гэрарлашмын ахының наансы сузуулмэ ганунаутабе олдугуну вэ үмүмийтэлэ, нэр бир конкрет јатаг үчүн гэрарлашмын ахынын ријази моделинн тэ'жин етмэжэ имкан верир.

М. Т. Абасов, Е. Х. Азимов

TO THE METHOD OF WELL INDICATOR LINES PROCESSING

On the basis of a more complete consideration of influence of different natural and technological factors on the character of stationary filtration the present article suggests a method for interpretation of oil, gas and gas-condensate wells indicator lines. The application of this method allows to determine the value of the well productivity coefficient and regularity of its variation depending on depression; to establish the filtration law acting in a reservoir and mathematical model of a stationary influx under the conditions of concrete deposits.

УДК 549.762.11(479.24)

РУДНЫЕ МЕСТОРОЖДЕНИЯ

Дж. А. АЗДАЛИЕВ, И. А. БАБЛЕВ

МЕТАСОМАТИЧЕСКИЕ ПРОЖИЛКИ АЛУНИТА
И ФИЗИКО-ХИМИЧЕСКИЕ УСЛОВИЯ ИХ ФОРМИРОВАНИЯ
(КЕДАБЕКСКИЙ РУДНЫЙ РАЙОН, МАЛЫЙ КАВКАЗ)

(Представлено академиком АН Азербайджанской ССР Э. Ш. Шихалибейли)

Кедабекский рудный район, объединяющий известное Кедабекское серно-медио-цинковое, Битлибулакское медно-мышьяковое, Новогорельское медно-цинковое месторождения и ряд рудопроявлений, является одним из наиболее интересных на Малом Кавказе объектов для изучения и познания закономерностей процессов постмагматического метасоматоза и рудообразования. Здесь широкое развитие получили различные по возрасту, составу и рудоносности метасоматические формации (вторичные кварциты и близкие им метасоматиты, пропилиты, аргиллиты, грейзены и скары), генетически связанные с гидротермальной деятельностью разного состава и возраста вулкано-плутонического магматизма. Среди метасоматических образований района доминирующее развитие имеют алунитсодержащие вторичные кварциты фумарольно-солфатарного типа, генетически и пространственно связанные с кварцевыми плагиопорфирами верхнего байоса. Последние подстилаются вулканогенной толщей (порфириты и их туфы) нижнего байоса и трансгрессивно перекрыты мощной толщей вулканогенных пород (туфы, туфопесчаники, туфобрекчи) батского возраста, прорванных интрузивными плагиогранитами добатского времени и полифазной интрузией габброндиорит-граеноидоритов позднеюрского времени [4]. В ореолах этих интрузивов также развиты алунитсодержащие вторичные кварциты приконтактового типа.

Вторичные кварциты Кедабекского рудного района были рассмотрены еще в работах Е. С. Федорова, Н. С. Успенского, П. Н. Чирвинского, В. И. Гонышаковой, И. Н. Ситковского, Ш. А. Азизбекова, М. А. Кашикай и др. Более детально они изучены в [1, 2, 3]. Во вторичных кварцитах алунит был отмечен и описан лишь в виде пордообразующего, а в ряде случаев второстепенного минерала. Однако, никем не был отмечен прожилковый тип проявления алунита в Азербайджане. Авторами настоящей статьи обнаружены мономинеральные жилки и прожилки алунита во вторичных кварцитах в районе Кедабекского месторождения серно-медио-цинковых руд на восточном склоне г. Мисдаг*.

В геологическом строении Кедабекского месторождения, расположенного между пос. Кедабек и сел. Арыхдам на г. Мисдаг, наибольшее развитие получили базальтовые и андезитовые порфириты нижнего даг.

* Подобные прожилки алунита были обнаружены Б. В. Мустафа-Заде из г. Мис-

байоса, над которыми кварцевые плагиопорфиры верхнего байоса встречаются в виде останцев среди прорывающих их позднебатских порфировидных плагиогранитов и плагиогранит-порфиров. Здесь среднеюрский вулканогенный комплекс прорван полифазным гранитоидным интрузивом позднеюрско-неокомского возраста, который с востока вплотную подходит к месторождению.

Прожилки алунита (рис. 1 а, б) мощностью до 1 см и протяженностью до 10 см и более, размещаясь в алунитсодержащих вторичных



Рис. 1. (а, б). Прожилки алунита во вторичных кварцитах

кварцитах, либо вклиниваются, либо разветвляются на более мелкие ветви, которые нередко переплетаются (рис. 1, б). Цвет алунита из прожилков белый или светло-зеленый. Вмещающие жилки и прожилки алунита вторичнокварцитовые метасоматиты, состоят из кварца, мусковита (и серицита), тонкодисперсного пордообразующего алунита (первая генерация), флюорита, реже реликтового плагиоклаза и др. Прожилки алунита (вторая генерация) пронизывают по всем направлениям. Тонковкраинленные агрегаты его ориентированы перпендикулярно к стенкам прожилков, а тонкочешуйчатые пластинчатые агрегаты заполняют пустоты между зернами кварца, местами сильно разъедая его зерна (рис. 2).

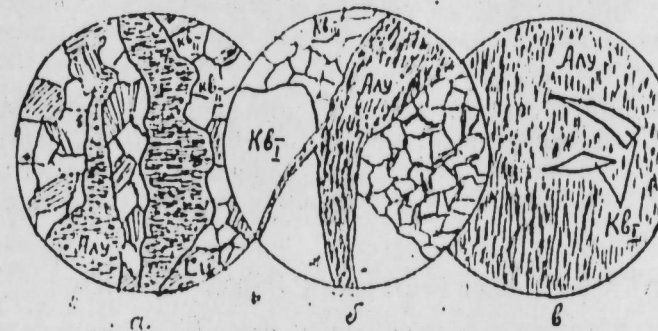


Рис. 2. Алунитсодержащий вторичный кварцит под микроскопом. Ник. +; ув. 54 ×, а, б — прожилки алунита, пронизывающие породу; в — агрегаты кварца среди алунита

С целью детального и всестороннего изучения алунита из прожилков были тщательно отобраны под бинокулярным микроскопом его мономинеральные фракции, которые нами подвергнуты различным видам анализов, в частности химическому, спектральному, термическому, рентгенометрическому.

Химические и спектральные анализы алюнита, выполненные в Институте геохимии и физики минералов АН УССР, показали следующие составные компоненты (вес. %)

SiO_2 —12,76, TiO_2 —1,22, Al_2O_3 —30,22, Fe_2O_3 —0,80, FeO —0,29, MnO —0,01, MgO —0,58, CaO —0,41, Na_2O —0,80, K_2O —8,40, P_2O_5 —0,30, SO_3 —81,60, H_2O^+ —13,48^{H₂O=0,48}, сумма—100,85; Ba —0,3, Pb —0,6, Ga —0,06, V —0,006, Sr —0,03, Ag —0,0001, Cu —0,06.

Термографические исследования показали, что дериватограммы алюнита из прожилок характеризуются двумя эндотермическими и одним экзотермическим эффектом (рис. 3).

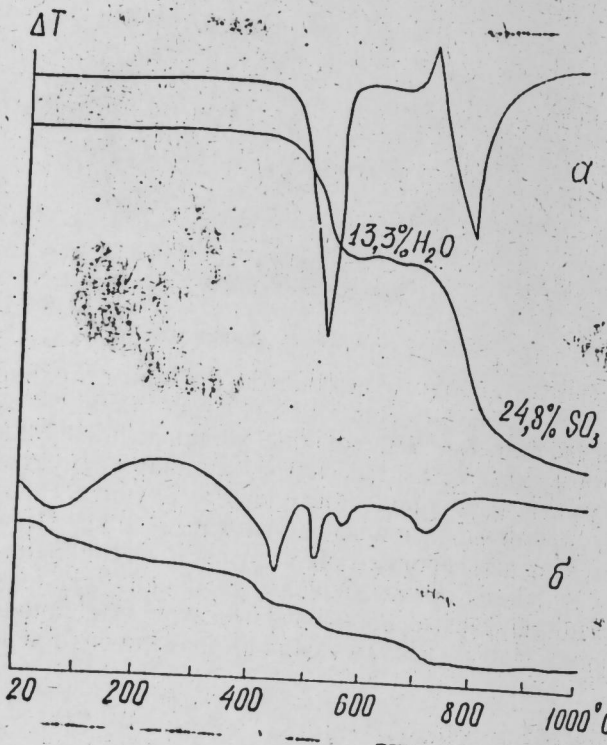
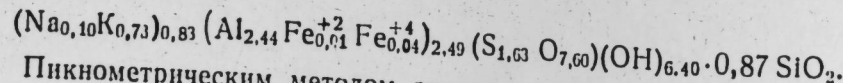


Рис. 3. Дериватограмма алюнита из прожилка (а) и вториокварцитово-го метасомата, вмещающе-го прожилки алюни-та (б)

Результаты рентгенометрического анализа помещены в таблице. Вычисленные параметры элементарной ячейки ($a_0=6,970$, $C_0=17,098$) показали, что изученный алюнит соответствует калиевому составу, это хорошо сопоставляется с его химическим составом и кристаллохимической формулой:



Пикнометрическим методом определен удельный вес алюнита. Он равен для белой разновидности 2,59, а для светло-зеленой — 2,61 г/см³.

Изучение самого алюнита прецизионными методами и выяснение физико-химических условий и механизма формирования алюнитовых прожилок и прожилков алюнита во вторичных кварцитах, с точки зрения генетической минералогии последовательного стадийного развития еди-

ного прерывисто-непрерывного процесса метасоматического минералообразования, представляют исключительно важный интерес.

В Кедабекском рудном районе в условиях субвулканических и гипабиссальных зон в кислых эфузивах и в контакте гранитоидных интрузивов развивались мощные процессы кислотного выщелачивания, в

Результаты рентгенометрических анализов алюнитов незначительной примесью
(г. Мисдаг, Кедабекский район)

Белый				Светло зеленый			
J	d_{c}/n	J	d_{c}/n	J	d_{c}/n	J	d_{c}/n
6	3,46	1	1,269	2	5,70	1	1,463
4	3,25	3	1,259	3	5,34	2	1,452
10	2,95	9	1,211	4	5,10	3	1,426
3	2,85	7	1,202	5	3,68	3	1,418
3	2,49	8	1,168	4	3,45	7	1,384
10	2,267	8	1,148	5	3,31	7	1,363
5	2,202	8	1,143	4	3,24	3	1,331
6	2,042	7	1,110	6	3,15	4	1,314
3	1,918	8	1,090	10	2,94	10	1,286
10	1,896	5	1,058	3	2,85	1	1,266
10	1,742	8	1,045	3	2,49	3	1,256
9	1,643	7	1,021	10	2,262	9	1,209
7	1,561	8	1,019	5	2,198	7	1,200
2	1,530	7	0,954	6	2,088	8	1,166
2	1,505			3	1,914	8	1,146
9	1,493			10	1,892	8	1,141
2	1,454			10	1,737	7	1,108
3	1,421			9	1,640	8	1,088
7	1,387			7	1,563	5	1,054
7	1,369			2	1,527	8	1,043
3	1,334			3	1,516	7	1,017
4	1,317			5	1,502		
10	1,289			10	1,490		

результате чего образовались широкие поля осветленных и окварцованных пород преимущественно серицит-кварцевого состава — вторичные кварциты фумарольно-сульфаторного и приконтактового типов, которые являются одним из чрезвычайно характерных продуктов стадии кислотного выщелачивания постмагматического метасоматоза. Причем образование алюнитоносных или алюнитовых фаций вторичных кварцитов было связано с воздействием сернокислых растворов, обладающих наибольшей кислотностью. Наиболее интенсивное кислотное выщелачивание пород способствовало возникновению зоны обогащения глиноzemистыми минералами, которая расположена внутри метасоматической колонки над зоной полного окварцевания.

Вслед за достижением максимальной кислотности растворов из-за ухода волны кислотных компонентов, происходившего, как известно, в силу кислотно-основного фильтрационного эффекта, наступала инверсия режима кислотности и выщелачивания сменялось их осаждением в порядке возрастающей основности, создавая зону сопряженного выщелачивания и осаждения компонентов, что представляет одну из примечательных особенностей постмагматического метасоматоза. В стадии осаждения (или поздней щелочной стадии), непосредственно сменяющей кислотную, наряду с отложением рудных минералов, для осаждения которых оказались благоприятными условия возрастания щелочности, происходило концентрированное отложение оснований (петроген-

ных компонентов), выщелоченных в кислотную стадию из метасоматически измененных пород. При этом оказалось очень характерным образование в стадии осаждения мономинеральных жилок и прожилок альвита среди выщелоченных пород — вторичных кварцитов в трещинах более интенсивной циркуляции растворов. Таким образом, возникновение этих миноминеральных жилок и прожилков альвита происходило позднее формирования главной массы вторичных кварцитов и поэтому они являются более низкотемпературными, чем вторичнокварцитовые продукты сопряженного кислотного выщелачивания.

Литература

1. Азадалиев Дж. А., Алиев И. А., Мустафаев Г. В., Мустафаев М. А. Сб. Петрология литосферы и рудоносность. — Л., 1981, с. 260, 261. 2. Алиев В. И. — Колчеданная рудная формация Малого Кавказа. Автореф. дис... докт. геол.-мин. наук. — Баку, 1976. — 55 с. 3. Керимов Г. И. — Петрология и рудоносность Кедабекского рудного узла. — Баку: Изд-во АН АзССР, 1963. — 221. с. 4. Шихалибейли Э. Ш. Геологическое строение и история тектонического развития восточной части Малого Кавказа. (В пределах Азербайджана). — Баку: Изд-во АН АзССР, 1964. — 305 с.

Институт геологии АН АзССР

Поступило 28. X. 1985

Ч. Э. Азадалиев, И. Э. Ебаяев

МЕТАСОМАТИК АЛУНИТ ДАМАРЧЫГЛАРЫ ВӘ ОНЛАРЫН ӘМӘЛӘ КӘЛМӘСИННИН ФИЗИКИ-КИМЈӘВИ ШӘРАНТИ (КӘДӘБӘЙ ФИЛИЗ РАЙОНУ, КИЧИК ГАФГАЗ)

Төрәмә кварцитләр ичәрисиндә әмәлә кәлмиш метасоматик алунит дамарчыгларыны илк дафә мүәллифләр ашкар вә тәдгиг етмишләр. Мәгаләдә алунит дамарчыгларынын минераложи хүсусијәтләре (алунитни спектрал-кимҗәзи тәркиби, рентгенометрик вә термографик параметрләре, хүсуси чәкиси вә с.) вә әмәләкәлмәниң қеоложи вә физики-кимҗәви шәрантләришний тәдгиги шәрһ едилнр.

D. A. Azadaliyev, I. A. Babaev

METASOMATIC VEINS OF ALUNITES AND PHYSICAL AND CHEMICAL CONDITIONS OF THEIR FORMATION (KEDABEC ORE REGION, THE LESSER CAUCASUS)

Metasomatic veins and veinlets of alunite in the secondary quartzites of the region under study are discovered and studied for the first time by the authors.

The mineralogical features of alunites (spectral and chemical content, roentgenometric and thermographic data, specific gravity) and interpretation of physical and chemical conditions of alunite veins and veinlets formation are cited.

АЗӘРБАЙЧАН ССР ЕЛМЛӘР АКАДЕМИЯСЫНЫН МӘРҮЗӘЛӘРИ

ДОКЛАДЫ АКАДЕМИИ НАУК АЗЕРБАЙДЖАНСКОЙ ССР

ТОМ XLIII ЧИЛД

№ 4

1987

УДК 624.131

ИНЖЕНЕРНАЯ ГЕОЛОГИЯ

Ф. С. АЛИЕВ, Р. Ю. ЯХЬЯЕВ

О ДЕФОРМАЦИОННЫХ СВОЙСТВАХ ГЛИНИСТЫХ ПОРОД АПШЕРОНСКОГО ЯРУСА И БАКИНСКОГО ГОРИЗОНТА, СВЯЗАННЫХ С ИЗМЕНЕНИЕМ НАПРЯЖЕННОГО СОСТОЯНИЯ МАССИВА ПРИ ВСКРЫТИИ ЕГО ГОРНЫМИ ВЫРАБОТКАМИ МЕТРО

(Представлено академиком АН Азербайджанской ССР Ш. Ф. Мехтиевым)

В пределах западного крыла Бакинской мульды, где проходит трасса второй очереди метро, породы среднего подъяруса апшерона представлены переслаиванием суглинков, супеси, глин, песков, песчаников и известняков. Отличительной чертой этих отложений является то, что наряду с кажущейся выдержанностью отдельных пачек и прослоев, отмечается фациальная изменчивость по простиранию и по глубине. Такие фациальные переходы происходят как постепенно, так местами довольно резко.

В составе глинистых пород отмечается неоднородность, обусловленная примесью песка, местами небольшим содержанием гравия, целых раковин и их обломков; часто в них отмечается наличие прослоек, линз, прожилок песка и супеси. Наблюдаются также изменение мощности слоев, неправильная тонкослоистость или неяснослойстое напластование.

Углы падения пластов постепенно уменьшаются от подошвы к кровле и сильно варьируют по простиранию. Уменьшение углов падения вверх по разрезу сопровождается согласным залеганием пластов, что свидетельствует об одновременности осадконакопления и складкообразования.

По данным геофизических исследований 1980—1981 гг. в пределах описываемой территории отмечены дислокации сбросового характера. В пределах этих предполагаемых нарушений пласти пород смяты, раздроблены и смешаны друг относительно друга.

В большинстве случаях глины среднего подъяруса апшерона отличаются комковатой текстурой, значительно понижающей их прочность.

При вскрытии подземными выработками эти глины при недостаточном или несвоевременном креплении лба забоя подвергаются отжатиям и выпучиваниям, активно передающим на крепь горное давление. Указанные глины относятся к слабоустойчивым породам. Гранулометрия их определяется небольшим содержанием (в среднем 22,18%) песчаных частиц, сравнительно большим содержанием (35,3%) пылеватых частиц и глинистой фракцией (42,52%).

В химическом составе главными компонентами глин являются SiO_2 , Al_2O_3 , CaO и Fe_2O_3 . Преобладание SiO_2 в среднем (54,5%) над

Al_2O_3 (14,9%) характеризует эти глины как близкие по составу суглинкам.

Карбонатность среднеапшеронских глин колеблется в пределах 7—17%. По данным анализов водных вытяжек эти глины относятся к грунтам от слабозасоленных до засоленных с содержанием водно-растворимых солей от 0,24 до 0,69% от веса породы. Тип засоления хлоридно-натриевый.

Глинистая фракция образцов на участке перегона между станциями «Элмляр Академиясы» и «Ишаатчылар» представлена преимущественно изометричными чешуйками с четкими очертаниями гидрослюд, реже с размытыми очертаниями монтмориллонита [1].

Степень набухания глинистых фракций необольшого содержания монтмориллонита, повышенным содержанием пылеватых частиц и нарушенностью структуры глин вследствие тектонических подвижек. Величина гидрофильности глин 1,04 показывает, что они слабогидрофильны. По показателям уплотненности (в среднем 0,78) они находятся в уплотненном состоянии, что обусловлено тектонической активностью района. Величины сопротивления грунтов сдвигу в среднем $\varphi=22^\circ$, $C=0,8 \text{ кг}/\text{см}^2$.

Коэффициент сжимаемости глинистых фракций при нагрузке 2—3 $\text{кг}/\text{см}^2$ колеблется в пределах 0,005—0,029 $\text{см}^2/\text{кг}$, а модуль деформации — от 37 до 200 $\text{кг}/\text{см}^2$.

На участках перегонных тоннелей между станциями «Элмляр Академиясы» и «Ишаатчылар» указанные глины не имеют большого распространения. Их часто замещают суглинки, по физическим свойствам отличающиеся невысокой влажностью (в среднем 19,7%) при пористости 36%. Указанные параметры характерны для участков, где породы в меньшей степени контактируют с водоносными горизонтами. Колебание числа пластичности суглинов от 7 до 14 свидетельствует об их пониженной дисперсности и наличии в них тонких микропрослоек, примеси супеси, присутствием в минералогическом составе непластичных минералов и резком уменьшении монтмориллонита. Гидрофильность их местами повышена (2,14), а величина набухаемости не превышает 5,4%. Суглинки являются средневодоустойчивыми, а местами водонеустойчивыми и разрушаются в воде в течение соответственно 1—2 суток и первых минут.

В пределах центральной части города и несколько восточнее в геологическом строении участвуют породы бакинского горизонта, представленные в основном глинами с нередкими линзами и прослоями песка.

Глины бакинского горизонта являются монтмориллонито-гидрослюдистыми и неоднородны по гранулометрическому составу. Содержание глинистых частиц в них изменяется от 39,9 до 64,8%, пылеватых — от 22,2 до 84,7% и песчаных — от 1,0 до 18,9%; содержание тонкодисперсной фракции с глубиной увеличивается, что свидетельствует об углублении бассейна осадконакопления. В химическом составе главными компонентами глин являются Si_2 , Al_2O_3 , CaO и Fe_2O_3 . Содержание органического вещества — 0,42%, а карбоната кальция в среднем — 18%. По данным исследования водных вытяжек глины бакинского горизонта также относятся к породам от слабозасоленных до засоленных. Исследования в электронном микроскопе показали, что в глинистой фракции преобладают гидрослюды, монтмориллонит и каолинит.

Показатели консистенции глинистых фракций находятся в основном в тугопла-

стичном, редко в полутвердом состоянии. Они относятся к слабонаабу-хаемым грунтам, что объясняется их слабой гидрофильностью и нали-чием в породе малопластичных и почти непластичных минералов [3].

Глины характеризуются модулем общей деформации при нагрузке 2—3 $\text{кг}/\text{см}^2$ —82 $\text{кг}/\text{см}^2$, а по величине коэффициента уплотненности — к среднесжимаемым и слабосжимаемым породам. Значительный диапа-зон колебаний величин сопротивления сдвигу ($\varphi=12—23^\circ$, $C=0,3—1 \text{ кг}/\text{см}^2$) свидетельствует о неоднородности состава и свойств глинистых фракций.

Проходка подземных выработок Бакинского метро связана с разнообразными инженерно-геологическими процессами и явлениями, среди которых определенный интерес представляют разгрузочно-пластичное пучение, отжатие и вывалы глинистых пород.

Разгрузочно-пластичное пучение, являющееся проявлением горного давления, в практике строительства метро наблюдалось в глинах, частично в суглинках апшеронского и бакинского возраста при вскрытии их подземными выработками глубокого заложения. Проявлялось оно с течением времени в виде выпирания лба забоя, боковых стен, а также в виде пластического выдавливания глинистых пород, залегающих в подошве выработок. Так, при проходке передовых штолен на участке распространения бакинских глин от силы выпучивания указанных глин в почве выработки деформировались лежаны. На границе распространения бакинских и апшеронских глин (ближе к центральной зоне) на отдельных участках величина выпирания боковых стен внутрь выработок достигала более 10 см, местами с проявлением трещин.

В условиях распространения глин бакинского горизонта интенсивное пучение было связано с отсутствием в толще кровли скальных пород, что благоприятствовало проявлениям сил горного давления [2].

Пучение глинистых пород на этих участках может активизироваться нарушением устойчивости пород проходкой параллельных и смежных выработок. При этом, на тех участках, где большая мощность глинистой толщи, участвующей в движении, возрастает сила пучения. Если глины бакинского горизонта в вышеотмеченных условиях подвергаются пучению в основном весом вышележащих пород (упругие деформации) и несколько их увлажнением, то деформация пластичного пучения среднеапшеронских глин, перекрываемая мощной толщей скальных пород, объясняется в основном увлажнением этих глин, в составе глинистой фракции которой отмечается наличие небольшого (до 14%) содержания монтмориллонита (деформация набухания). Нарушение естественного режима влажности в глинистых породах, способствовавшее усилению процесса пучения, приведет к ослаблению внутренних сил сцепления, изменению объемного веса породы, ее консистенции и, наконец, прочности и устойчивости.

Отжатие и вывалы пород также являются проявлением горного давления, наблюдаются при проходке подземных выработок глубокого заложения и приурочены к глинистым породам апшеронского и бакинского возраста. Большое распространение получили они при проходке перегонных тоннелей от пересадочной станции к западу, где направление выработки соответствовало направлению падения пластов бакинских (в центральной части города), верхнеапшеронских и среднеапшеронских (западной части амфитеатра) отложений, сначала уступая, а затем превышая их по крутизне.

При проходке перегонных тоннелей в глинистых породах бакинских

отложений, на значительной протяженности наблюдались явления вывалов, сопровождавших проходку тоннелей на всем участке. Объем этих вывалов составляет от малого до крупных размеров. Форма и ориентация этих вывалов в зависимости от углов и направления падения пластов отмечались асимметричностью, и они охватывали как свободную часть, так и правую боковую стенки выработок.

В отличие от описанного, при проходке выработок, в западной части амфитеатра (в том же направлении) вывалы в основном охватывали левую присводовую часть выработки по направлению косого диаметра. Объем подобных вывалов, по сравнению с первым случаем, измерялся меньшими размерами.

Если в первом случае образование вывалов в виде отслоения пород обусловлено наличием песчаных прослоев бакинских глин, залегающих почти нормально горизонтально, то во втором случае проявление описанных явлений было связано с наличием в апшеронских глинах не только прослоев, но и гнезд, прожилок, увлажненных, а иногда обводненных песков и супесей. Немаловажную роль в этом случае играло наличие в этих породах катагенетических и антропогенных трещин (после долгого стояния забоя или применения специальных работ для разработки грунта в смежных выработках), распространенных весьма хаотично.

Основными причинами образования отжатия и вывалов является горное давление, трещиноватость, частая слоистость, обводненность отдельных прослоев. Проходка подземных выработок в слабоустойчивых породах также приводит к образованию указанных явлений. На различие в характере и интенсивности подобных деформаций глин могут повлиять такие факторы, как проходка перегонных тоннелей и других выработок горным способом (без проходческого щита), медленная проходка, некачественное выполнение временного крепления лба забоя и свода, а также разработка грунта с большими заходками.

Исследования деформации глин с выявлением некоторых причин, вызывающих отжатие и вывалы пород, а также разгрузочно-пластичное выпучивание, при проходке подземных выработок, в определенной степени даст возможность прогнозировать подобные инженерно-геологические явления при дальнейшем строительстве Бакинского метрополитена.

Литература

1. Алиев Ф. С., Яхъяев Р. Ю. Материалы IX Пленума Всесоюзной комиссии по изучению и использованию глини, вып. 4.— Минск, 1971. 2. Алиев Ф. С., Морозов Ю. А., Яхъяев Р. Ю.— Изв. АН АзССР, серия наук о Земле, 1976, № 1. 3. Сазонов Г. Н.— Автореф. дис...канд. геол.-мин. наук.— М., 1973.

Институт геологии АН АзССР

Поступило 28. II 1986

Ф. С. Элиев, Р. Ю. Яхъяев

БАКЫ МЕТРОПОЛИТЕНИНИН АБШЕРОН ВӘ БАКЫ ҮОРИЗОНТЛАРДАН ИБАРЭТ ОЛАН КИЛ СУХУРЛАРЫНЫН ДЕФОРМАСИЯ ХҮСУСИЙЛӘРІНӘ ДАИР

Бакы метрополитенинин иккичи мәрінеласинин тикшитиси Жұхары Плиосен вә Дөрдүнчү дөвр кил, гум вә әңеңк сухурларында апарылып. Үст Абшеронун вә Бакы үоризонтунын килләрин бошалма-пластик шишимәсисинин әсас себәби дағ тәзіңгидир. Газ-

маларда килләр даға чох шишимәјә мә'рүз галырлар ки, бу да сұхурлардан кәркинили-

жин артмасы илә әлагәдардыр.

Бу тәддигатлар кәләчәк Бакы метрополитен тикшитисинде бошалма-пластиклик деформасијасын габагчадан изләмәјә имкан жарадағадыр.

F. S. Aliev, R. Yu. Yazyev

ABOUT DEFORMATION PROPERTIES OF THE CLAY OF APSHERON AND BAKU HORIZONS BY THE OPENING THE MASSIF OF THE MINING OUTPUT OF THE METRO

In the article we report about engineering-geological researches of Upper-Tertiary and Quarternary clay rocks, in which unloading-plastical deformations in the time of the tunnel sinking are noted.

The research of deformation of clays, which cause unloading-plastical bulge, will promote the prognosis of this negative presence in the construction of the metro.

Чл.-корр. К. М. СУЛТАНОВ, Э. Г.-М. АЛИЕВА

МАТЕМАТИЧЕСКОЕ МОДЕЛИРОВАНИЕ ПРОЦЕССОВ
ФОРМИРОВАНИЯ МОРФОЛОГИИ СКЕЛЕТОВ МОЛЛЮСКОВ
ДИДАКНА

Объектом исследований послужили каспийские четвертичные моллюски *Didacna Eichw.* Всего изучен 21 вид дидакн, отобранных из антропогенных отложений Западного побережья Каспийского моря и островов Апшеронского и Бакинского архипелагов. Для описания скелета дидакн использовались следующие показатели (коэффициенты): К удлинения (К уд.), К выпуклости (К вып.), К сдвинутости макушки (К см.), К высоты макушки (К вм.), число ребер переднего поля раковины (Р). Был рассмотрен характер вариаций перечисленных морфологических признаков каждого вида по площади, причем изучались одновозрастные особи 4—5 лет.

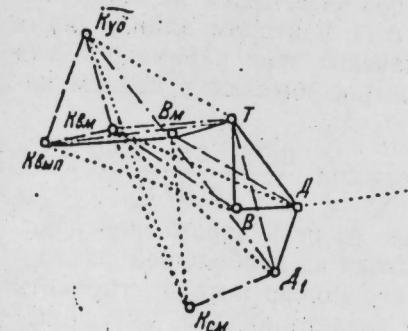
Результаты исследования показали, что наиболее четкие пространственные закономерности, характерные для дидакн всех четвертичных горизонтов, прослеживаются в характере изменения по площади К вып. и К вм., величина которых возрастает в южном и юго-восточном направлениях от Апшеронского полуострова к Прикуриńskiej низменности и в сторону Бакинского архипелага. Что касается числа ребер переднего поля раковин, то площадные закономерности, идентичные для всех видов, не отмечаются. В общем можно сказать, что скелеты новокаспийских, хвальинских и хазарских видов большее число ребер имеют на Апшеронском полуострове. Для бакинского вида *D. rufis* Nal. закономерности обратные, и число ребер возрастает в южном направлении от Апшерона. Достоверные различия в К см. и К уд. раковин фиксируются так редко, что какие-либо определенные закономерности уловить трудно.

Возникает вопрос, какие же факторы воздействуют на процессы формирования морфологии скелета дидакн. Для решения этой задачи был применен многофакторный дисперсионный анализ (метод главных компонент — МГК).

Исследовали 33 вида дидакн (всего 446 экземпляров) 2—7-летнего возраста, описываемых по 10 признакам: длина раковины (Д), высота (В), толщина (Т), высота макушки (В₁), длина передней части створки (Д₁), К уд., К вып., К см., К вм., Р.

Как явствует из рис. 1, представляющего собой графический способ отображения структуры корреляционной матрицы методом ветвящихся связей в модификации Г. Т. Скублова [2] ассоциации признаков довольно отчетливые. Одна ассоциация состоит из таких признаков, как Д, В, Т, В₁, Д₁, К вм., К вып., К уд. Из оставшихся двух показателей К см. и Р статистически значимые положительные связи отмечаются между К см. и Д₁. Единственная положительная, но незначимая связь для чис-

ла ребер отмечается с длиной раковины. К см., Д₁ и Р составляют вторую, расплывчатую в отличие от первой, ассоциацию признаков, которая через Д и Д₁ связана с первой.



- связь сильная $> 0,75$
- - связь средняя $0,5 - 0,75$
- - - связь слабая $0,2 - 0,5$
- · - связь незначимая $< 0,2$

Рис. 1. Структура корреляционной матрицы морфологических параметров раковин дидакн

Матрица факторных нагрузок показывает, что первые 3 компоненты обусловили 79,5% от суммарного воздействия на изученные показатели всей совокупности факторов. Веса I, II и III факторов равны 41,5, 24,1 и 13,9% соответственно. Остальные факторы незначимые и они не рассматриваются. Признаковая (тестовая) структура I фактора имеет вид 0,94Т, 0,90В, 0,88В₁, 0,81Д, 0,75Д₁, 0,56 К вм., 0,33 К вып. (число перед признаком обозначает его факторную нагрузку). Исходя из наибольшей корреляции с I фактором Т, В, Д раковины, его, очевидно, следует интерпретировать как фактор возрастной изменчивости скелета дидакн. Следовательно, с возрастом в целом для рода *Didacna Eichwald* характерно развитие более высокой макушки и более выпуклой раковины, на что указывают и другие авторы [1].

Помимо возрастной изменчивости у дидакн наблюдается также широкая индивидуальная эколого-фаунистическая изменчивость, с которыми, по-видимому, и следует отождествлять II и III факторы. Так, второй по значимости фактор характеризуется наибольшей положительной связью К вып., К уд., К вм. Тестовая структура II фактора записывается следующим образом:

$$0,72 \text{ К вып.} 0,72 \text{ К уд.} 0,69 \text{ К вм.} 0,35 \text{ В}_1$$

$$0,56 \text{ Д} 0,47 \text{ Д}_1 0,36 \text{ Р} 0,31 \text{ В}$$

где в числителе — признаки, имеющие значимую положительную связь с фактором, в знаменателе — отрицательную. Учитывая выявленные закономерности, прослеживающиеся в характере вариаций по площади К вып. и К см., II фактор, вероятно, следует связать с определенными условиями обитания моллюска, благоприятно воздействующими на относительную выпуклость и высоту макушки раковины. Очевидно, что направление изменений К уд. по площади совпадает с таковым у К вып., и К вм. С числом ребер переднего поля раковины корреляция II фактора слабая, отрицательная. По-видимому, это объясняется тем,

что, как говорилось выше, у некоторых дидакни количество ребер возрастает в южном направлении к Прикуринской низменности, что совпадает с характером поведения по площади К вып., К вм. и К уд., у большинства же видов большее количество ребер отмечается на Апшеронском полуострове. Отрицательно связаны с II фактором длина, длина передней части раковины и ее высота. Значения этих параметров для большинства одновозрастных дидакни, вероятно, убывают в южном направлении.

0,93 К см. 0,45 Д

Тестовая структура III компоненты имеет вид

0,47 Р

Наибольшей индивидуальной изменчивостью из всех параметров раковины обладает К см. [1]. Таким образом, исходя из наибольшей факторной нагрузки К см. (0,93) на III фактор, его можно интерпретировать как фактор индивидуальной изменчивости скелета дидакни. Остальные параметры с III компонентой имеют либо слабую связь (D_1 , Р), либо никакой связи не обнаруживают. Следовательно, индивидуальная изменчивость у этих признаков совсем не проявляется или проявляется очень незначительно.

МГК был применен также для комплексного изучения биометрических и химических характеристик скелета. Исследовалось 27 видов дидакни по 19 признакам, из которых 13 — химические элементы и Сорг, 6 — морфологические параметры (высота раковины, К уд., К вып., К см., К вм. и число ребер). При этом, чтобы исключить влияние возраста моллюска изучались взрослые особи 4—5 лет. Анализ корреляционной матрицы показывает, что ни один из морфологических параметров не имеет значимой корреляции с химическим составом. Слабые корреляционные связи отмечаются между химическими элементами и Сорг. Ведущие I, II, III, IV факторы имеют близкие веса, соответственно равные 12,1, 10,6, 9,2 и 9,1%. Выделить какую-либо главную компоненту, воздействующую на химический состав скелета и на его морфологию, нельзя, но, очевидно, что I фактор, имеющий признаковую структуру

0,66 К вм. 0,58 К вып. 0,43 Ва 0,41 Ср 0,39 Нi 0,38 Sr 0,33 Mn 0,32 К уд.

0,69 Р 0,25 V

сопоставляется с ранее выделенным фактором эколого-фациональной изменчивости морфологических параметров раковины. Наибольшую положительную корреляцию с ним имеют К вм. и К вып., средней силы связь с К уд. и отрицательно связано количество ребер. Значительные связи, но отрицательного знака, отмечаются для К вм., К вып. и К уд. с IV фактором, тестовая структура которого

0,56 Si 0,43 Mn 0,39 Cr 0,36 Na

0,52 К вм. 0,42 К вып. 0,39 К уд. 0,36 Ti

Веса I и IV факторов почти равны. В связи с этим изучалось одновременное воздействие обоих факторов на изучаемые параметры. Суть метода состоит в том, что I и IV компоненты представляют собой координатные оси, а факторные нагрузки исследуемых параметров являются их координатами на плоскости. На рис. 2 отчетливо выделяются три группы показателей. В первую входят Al, Si, Na, Mn, Cr, Sr, Ba, Ni и К см., во вторую — Ti, Сорг, высота раковины, К уд., К вм. и К вып., в тре-

тью V, Fe, Cu, число ребер. К см. и число ребер стоят особняком от остальных морфологических показателей.

Из сказанного следует, что факторы, воздействующие на К уд., К вм. и К вып. раковины, аналогичным образом влияют на содержание

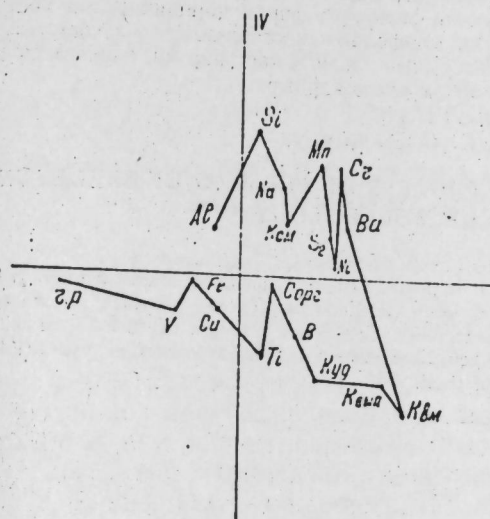


Рис. 2. Диаграмма факторных нагрузок I и IV факторов

органического вещества в скелете моллюска. Очевидно, что эти два процесса — формирование скелета и накопление в нем органического вещества — являются взаимосвязанными.

Так как изучались одновозрастные дидакни, то высоту раковины следует рассматривать как показатель темпов роста моллюска, усиление которых, как известно, приводит к увеличению содержания Сорг в скелете. Исходя из довольно большой положительной корреляции II фактора с высотой раковины (0,52), этот фактор интерпретируется как фактор темпов роста моллюска. Морфологические коэффициенты не проявляют с ним никакой связи. Следовательно, связь К вып., К вм. и К уд. с темпами роста моллюска является опосредованной через Сорг.

Резюмируя сказанное, необходимо отметить, что применение МГК к изучению биометрических показателей раковин помогло выявить как характер процессов, действующих на скелет моллюска, так и их интенсивность. Ведущее место по степени влияния на формирование морфологии скелетов дидакни занимает возрастной фактор, затем факторы эколого-фациональной и индивидуальной изменчивости.

Литература

- Попов Г. И. Плейстоцен Черноморско-каспийских проливов. — М.: Наука, 1983.
- Скублов Г. Т. В кн.: Вопросы геохимии и типоморфизма минералов, вып. 2.—Л.: Изд-во ЛГУ, 1978, с. 75—86.

Азербайджанский государственный
университет им. С. М. Кирова

Поступило 25. III 1985

Г. М. Султанов, Е. Г.-М. Элиев
ДИДАКИ МОЛЛУСКАЛАРЫ СКЕЛЕТЛЭРИНИН МОРФОЛОЖИ
ФОРМАЛАШМАСЫ ПРОСЕСЛЭРИНИН РИЈАЗИ
МОДЕЛЛЭШДИРЛМЭСИ

Мэгдалэдэ баш компонент үсүүл илэ дидаки скелетинин эмэлэхэлмэ просесслэрийн көстэрэлэн эсас тэ'сирлэрийн дэрэчэсн вэ хүсүүнжэти ајдынлашдырылыр. Эсас үч фактор: инкишаф давру, эколожи-фасија вэ фэрги дэжишикликлэр көстэрилир. Нэмчинин һэр бир факторуц скелетин морфологи көстэрэчилэри илэ баглылыг гувваси тэ'жин олуунур. Коррелласија матриксынын тэдгиги көстэрэрир ки, хэрчэнклэрийн биометрик характеристикалары арасында мөнкэм әлагэ вардыр.

К. М. Sultanov, E. G.-M. Aliyeva

MATHEMATICAL MODIFICATION OF PROCESS OF FORMING OF SKELETON
OF MOLLUSC DIDACNA MORPHOLOGY

By the method of main components (mmc) it is possible to determine the character and degree of influence of main processes which formed skeleton of *Didacna*. Three leading factors are chosen - aged, ecologo-facial and individual changeability. Connection strength of each factor with morphological index of skeleton is also established. Analysis of correlation matrix exposes stable association of studied biometrical characteristics of shell.

АЗЭРБАЙЧАН ССР ЕЛМЛЭР АКАДЕМИЯСЫНЫН МЭРҮЗЭЛЭРИ

ДОКЛАДЫ АКАДЕМИИ НАУК АЗЕРБАЙДЖАНСКОЙ ССР

ТОМ XLIII ЧИЛД

№ 4

1987

УДК 577.4:564.8(116.3) (479.24-11)

ПАЛЕОЭКОЛОГИЯ

Г. А. ГАМЗАЕВ, Л. Н. БИРЮКОВА

ОБ ЭКОЛОГИИ САНТОН-КАМПАНСКИХ БРАХИОПОД
ВОСТОЧНОЙ ЧАСТИ МАЛОГО КАВКАЗА

(Представлено академиком АН Азербайджанской ССР К. А. Ализаде)

Изучение экологических условий среды обитания разных палеобиоценозов имеет существенное значение для познания пути и закономерности развития биосферы в целом. Известно, что эволюция и развитие организмов контролируются как внутренними, так и внешними факторами. К внутренним факторам относятся такие как характер процесса метаболизма, мобильность, адаптация, способ и время размножения и т. д. К внешним — наличие питательных веществ, обеспечивающих потребность клеток в химических элементах, световой и температурный режимы среды, места обитания, глубина, плотность дна, гидродинамический режим бассейна и др. Поэтому изучение физико-химических параметров как современных, так и древних бассейнов, представляет несомненный интерес.

В настоящей работе на основе материалов, полученных по результатам изотопных и рентгеноспектральных исследований с учетом литологического состава отложений и геологического положения этапов геотектонического развития мегантклиниория Малого Кавказа в течение сanton-кампанского времени, предпринята попытка восстановить палеоэкологические условия среды обитания брахиопод.

Материалом для исследований послужили остатки сanton-кампанских брахиопод восточной части Малого Кавказа и вмещающие их отложения. Химический элементный состав вмещающих отложений определялся рентгеноспектральным методом на рентгенофлуоресцентном анализаторе VRA-2 фирмы «Карл Цейсс Иена (ГДР) и отечественном рентгеновском спектрометре СРМ-18.

Определения изотопного состава кислорода раковин брахиопод производились на масс-спектрометре МИ-1201. Принятый рабочий стандарт был изготовлен из ростров *Neohibolites montanus* (A.k. Aliz.)

Сanton. В течение сantonского века наблюдается общее погружение моря Малого Кавказа, вследствие чего происходит расширение границ бассейна. Тектонические движения и вулканизм заметно ослабевают [1, 2, 3].

В этот период в сantonском бассейне Малого Кавказа обитали простейшие, моллюски, морские ежи, кораллы и брахиоподы — представители родов *Cyclothyris*, *Orbirhynchia*, *Concinnithyris*, относящиеся к отрядам *Rhyynchonellida* и *Terebratulida*. Перечисленные организмы являются стеногалинными и свидетельствуют о наличии нормальносоленого режима водного бассейна.

В северо-западной части изученного региона (разрезы окр. сел.

Парвакар, Татлы, Ачаджур, Севкар) брахиоподы заселяли литоральную зону бассейна, где происходило накопление грубозернистых пирокластических и карбонатных материалов. По результатам изучения соотношения изотопов кислорода в карбонате раковин исследуемых брахиопод установлено, что величина σ^{18} варьирует от +1,5 до +0,052%, что соответствует диапазону температур 8—14°.

В центральной части изученного региона (раз. сел. Гочас, Калафалыг, Калакент) брахиоподы развивались на песчано-известковистом и песчано-глинистом грунтах в зоне сублиторали в относительно спокойных гидродинамических условиях при температурном режиме 6—11°C, что подтверждается результатами изотопно-палеотемпературного анализа, характером осадка, сохранностью и скульптурой раковин. Сантоныские брахиоподы юго-восточной части Малого Кавказа (окр. сел. Дашвейсаллы, Доллар, Дагтумас) наиболее яркого развития достигли в условиях литорального морского режима. Грунт, на котором они поселялись, по своему характеру был мягким, карбонатным с примесью песчанистого материала. Литофациальный и палеотемпературный анализы, а также характер распределения сообществ в этом регионе позволяют предположить, что брахиоподы обитали в условиях умеренного температурного (11—15 °C) и нормальносоленого режимов, спокойной геотектонической обстановки бассейна, мелководного характера седиментаций.

Несомненно, что реконструкция экологических условий обитания древних организмов тесно связана с изучением химического состава грунта. Химические элементы поступают в организм из вмещающей среды или прямым — адсорбционным путем, или же косвенно-посредством питания водорослями, бактериями и микроорганизмами, способными вырабатывать органические соединения из неорганических веществ. В обоих случаях развитие морских беспозвоночных, в том числе и брахиопод, в определенной мере обуславливается химизмом окружающей среды, в свою очередь определяющим необходимость изучения химического элементного состава вмещающих фауну отложений при проведении палеоэкономических исследований.

Изучение химического элементного состава вмещающих пород сантоныких брахиопод Малого Кавказа показывает, что содержание магния, стронция, железа и меди в них близко к кларку этих элементов в литосфере [4]. Содержание же марганца, кремния, алюминия, титана во вмещающих отложениях изученных брахиопод несколько ниже их кларка в литосфере (таблица).

Небезынтересно отметить тот факт, что в северо-западной и центральной частях Малого Кавказа, где содержание магния, кремния, алюминия, железа в отложениях и величина σ^{18} в приуроченных к ним раковинах брахиопод высоки, таксономический состав брахиопод обедняется и преобладают ассиметричные формы сравнительно крупных размеров (*Cyclothyris claudicans* (Coq.), *C. globata* (Ag.), а где содержание указанных элементов и величина σ^{18} имеют низкие значения (юго-восточная часть) — пышно развиваются брахиоподы с симметричными формами *Cyclothyris ves ertilio* (Orb.), *C. eudesi* (Coq.), *Orbirhynchia ventriplunata* (Schl.).

Кампан. Кампанийский век ознаменовался значительным расширением бассейна в пределах Малого Кавказа [1, 2, 5]. Органический мир отличался своим разнообразием и повсеместным развитием. За этот отрезок времени в условиях наиболее стабильного морского режима раз-

Среднее содержание химических элементов во вмещающих отложениях сантоныких брахиопод восточной части Малого Кавказа (с севера-запада на юго-восток)

Породы	Местонахождение	Возраст	Химические элементы, %							Sr
			Mg	Al	Si	Ti	Mn	Fe	Cu	
Пелитоморфные известняки	г. Еленсугата		0,48	1,6	4,4	0,051	0,05	0,55	0,00096	0,052
	р.л. Агбулаг		0,46	1,4	3,5	0,13	0,03	0,38	0,00098	0,04
	р. Габардачай		0,50	0,75	3,0	0,085	0,012	0,30	0,001	0,048
Кампан			0,8	5,2	9,3	0,036	0,065	4,3	0,0021	0,047
			1,2	8,75	10,7	0,04	0,20	9,8	0,0037	0,065
			1,0	5,0	10,4	0,20	0,11	10,0	0,005	0,10
Сантон	с. Ачаджур		2,1	3,4	10,2	0,047	0,04	4,4	0,001	0,054
	с. Севкар		2,8	2,5	5,3	0,056	0,07	4,0	0,0023	0,037
	с. Парвакар		1,3	2,0	8,0	0,057	0,05	6,0	0,0022	0,064
Песчаники	с. Татлы		3,0	6,2	100	0,06	0,06	9,3	0,0025	0,050
	с. Гочас		1,0	0,84	8,3	0,097	0,034	4,0	0,0028	0,050
	р. Калафалыг		0,4	0,84	8,7	0,088	0,07	2,5	0,0026	0,055
Песчанистые известняки	с. Калакент		0,84	1,9	4,8	0,078	0,036	3,6	0,0024	0,047
	с. Дагтумас									
Песчанистые известняки	с. Доллар									
	с. Дашибейсаллы									

вивались фораминиферы, моллюски, пелециподы, аммониты, белемниты, гастроподы, морские ежи и брахиоподы, имевшие тонкослонистую раковину и мелкой скульптурой и сохранившуюся неразрушенной после захоронения.

Кампанские брахиоподы были приурочены к карбонатным или карбонатно-илистым фациям и особенно широко развивались в области открытого моря в пределах сублиторали между речь Дзегамчай и Кошкарчай. Здесь в спокойных гидродинамических условиях осадконакопления обитали представители родов *Dallithyris*, *Orientothras*, *Bassiliola*, *Egyptaria Cyclo. lrys*.

По результатам масс-спектрометрического анализа величина σ^{018} в раковинах указанных родов варьирует от +1,85 до +0,013%, что соответствует интервалу температур 6,5—14,5 °C.

Химический элементный состав вмещающих отложений незначительно отличается по площади. Это позволяет высказать предположение о том, что среда обитания кампанских брахиопод Малого Кавказа характеризуется стабильным гидрохимическим режимом с относительно постоянной береговой линией и глубинами, где шло накопление карбонатных осадков.

Содержание марганца, кремния и железа во вмещающих отложениях колеблется в пределах их кларка в карбонатных отложениях [6].

В изученных отложениях магния, стронция, алюминия и титана содержится несколько меньше их кларка в карбонатных отложениях. Однако содержание меди в исследуемых образцах в 3 раза больше кларка.

Литература

1. Ренгартен В. П. Региональная стратиграфия СССР, т. 6.—М.: Изд-во АН СССР, 1959.
2. Шихалибейли Э. Ш. Геологическое строение и история тектонического развития восточной части Малого Кавказа, т. 3.—Баку: Изд-во АН АзССР, 1967.
3. Мамедзаде Р. Н., Алиев О. Б. Стратиграфия меловых отложений северо-восточной части Малого Кавказа.—Баку: Изд-во АН АзССР, 1967.
4. Виноградов А. П.—Геохимия, № 7, 1962, с. 555—572.
5. Зейналов М. М. Верхнемеловые отложения Азербайджана и перспективы их нефтегазоносности. Автореф. дисс. докт. геол.-минерал. наук.—Баку, 1969.
6. Виноградов А. П.—Геохимия, № 1, 1956, с. 6—52.

Институт геологии АН АзССР

Поступило 25. III 1985

Г. А. Ыэмзәев, Л. Н. Бирјукова

КИЧИК ГАФГАЗЫН ШӘРГ ҺИССӘСИНИН САНТОН-КАМПАН ЈАШЛЫ БЗАХИОПОДЛАРЫНЫН ЕКОЛОКИЈАСЫНА ДАИР

Мәгәләдә көстәрилүр ки, Кичик Гафгазын шәрг һиссәсінин Сантон-Кампан јашлы брахиоподларынын јашадығы мұнитини, экологий шәрәнтини өјрәнмәк мәгсәди илә ли-
толожи-фасиал, рентген-спектрал вә изотоп-палеотермометрик анализләр апарылмыши-
дыры. Нәтичәдә мүэjjән едилмишdir ки, Кичик Гафгазын шәрг һиссәсінин Сантон-Кам-
пан јашлы брахиоподларынын јашадығы фасиал шәрәнит карбонат өқүнтуләринин үс-
туилүк ташкил етди дәjiшкән өқүнтуәмәләкәлмә просесинин мөвнүдлугу илә сәчиј-
дәмир вә мисин дәб өқүнтуләриндәки мигдарынын бу элементләриңит литосферадақы
кларкларына јаҳын олан нормал дүзлүлугу дәниәләриңит лitoral зоналарында даңа

јаҳшы инкишаф етмишләр. Лакин манганин, силициумин, алүминиумин вә титанын
брахиоподлары әнатә едәи өқүнтуләриндәки мигдарынын онларын литосферадақы
кларкларыдан аз олдуғы мүэjjән едилмишdir.

G. A. Gamzaev, L. N. Birjukova

ON THE SANTON-CAMPANIAN BRACHIOPOD ECOLOGY OF THE LESSER CAUCASUS EASTERN PART

To study ecological environmental conditions of the Santon-Campanian brachiopod of the Lesser Caucasus eastern part lithological and facies, roentgenospectral, isotopic-paleotemperature analyses are carried out. It is ascertained that environmental conditions of the Santon-Campanian brachiopod of the Lesser Caucasus eastern part are characterized by alternating sedimentation with basic deposition of carbonate sediments.

Brachiopods were properly distributed in littoral area of normal salinity basin at temperate temperature regime with magnesium, strontium, ferrum and copper content within enclosing rocks close to clark of the elements in lithosphere.

However, manganese, silicium, aluminium and titanium were revealed in sediments in quantities just below clark value in lithosphere.

УДК 575.24

А. А. АЛИЕВ, чл.-корр. АН АзССР У. К. АЛЕКПЕРОВ, А. Б. ШЕХТМАН,
И. А. ГАМЗАЕВА, Л. М. ЛУРЬЕ, А. И. АСАДОВА, Н. С. ГАБАЙ,
Г. К. РАГИМОВА

СПЕЦИФИЧЕСКАЯ ЧУВСТВИТЕЛЬНОСТЬ ГЕНЕТИЧЕСКОГО АППАРАТА ХРОНИЧЕСКИ ОБЛУЧЕННЫХ ЛИНЕЙНЫХ МЫШЕЙ К ВОЗДЕЙСТВИЮ РАЗЛИЧНЫХ МУТАГЕНОВ И УНИВЕРСАЛЬНЫЙ ЗАЩИТНЫЙ ЭФФЕКТ α -ТОКОФЕРОЛА

Проблема действия малых доз ионизирующего излучения на биологические объекты привлекает внимание широкой научной общественности в силу неопределенности безопасных границ их спектра и отсутствия однозначного ответа, насколько возрастает генетический груз природных популяций даже при минимальном повышении естественного радиационного фона. Проблема изучения действия малых доз радиации особую актуальность приобретает в настоящее время, когда в результате увеличения уровня естественной радиации, в сферу хронического ее воздействия вовлекается возрастающее количество природных популяций и в том числе все большие контингенты населения.

Результаты исследований, нашедшие свое отражение в обзорах ведущих ученых в области радиобиологии и радиоэкологии, в обзора, докладах и материалах Научного совета АН СССР по проблемам радиобиологии, Научного комитета по действию атомной радиации при ООН, МАГАТЭ и других международных и региональных организаций [1—8], выявили некоторые закономерности первичных и отдаленных последствий малых доз ионизирующих излучений, причем было показано, что наряду с генотоксическим эффектом, последние как при хроническом, так и при остром воздействии могут оказывать стимулирующее влияние на различные уровни организации живых организмов. Следует отметить, что генетический эффект хронического облучения малыми дозами в teste млекопитающих *in vivo*, позволяющих экстраполировать данные на человека, изучен недостаточно. Отсутствуют работы по изучению чувствительности хронически облучаемых малыми дозами животных к различным средовым мутагенам и возможности изменения эффекта хронического облучения суммарной генетической токсичности модификаторами мутационного процесса.

Мышей линии СВА массой 18—22 г ежедневно по 8 ч в сутки в течение года подвергали общему облучению в экспериментальном облучателе от постоянного источника ^{60}Co (мощность дозы от 33,7 до 35,8 нА/Кг). В течение года через определенные сроки анализировали уровень aberrаций хромосом в миелокариоцитах. При получении животными суммарной дозы 8,42 Гр они были разделены на три опытные партии. Половине мышей каждой партии перорально вводили α -токоферол (0,06 мг/20 г. массы), а через 24 ч животных первой партии подвергали тотальному γ -облучению на спаренной рентгеновской установке

РУМ-11 в дозе 2,98 Гр (190 кВ, 15 мА, фильтры 0,5 мм Cu 1,0 мм Al, фокусное расстояние — 40 см, мощность дозы — 129 мкА/кг); животным второй и третьей партий перорально однократно вводили соответственно полифункциональное алкилирующее соединение — нитрозометилмочевину (НММ) в дозе 150 мг/кг и пестицид севин (нафтиловый эфир N-метил-карбаминовой кислоты) — 100 мг/кг массы. Через 24 ч после острого воздействия физическим, химическим мутагенами и пестицидом животных забивали с учетом положения о гуманной эвтаназии. Контролями служили интактные мыши, хронически облученные без дополнительного воздействия мутагенами, а на каждый вышеуказанный вариант партии интактных мышей воздействовали модификатором и мутагенами.

Результаты цитогенетического анализа миелокариоцитов животных, перенесших хроническое радиационное воздействие в малых дозах в течение 3, 7, 14, 30, 60, 70, 90, 120 и 364 дней, когда суммарная поглощенная доза соответственно равнялась 0,12; 0,27; 0,54; 1,2; 2,4; 2,75; 3,6; 4,8; 8,42 Гр, привели к заключению, что статистически малозначимое увеличение уровня aberrаций хромосом наблюдается лишь через 120 дней пребывания животных в условиях эксперимента и возрастает к 364 дню, когда степень поражения наследственных структур клеток интактных ($1,75 \pm 0,41\%$) и опытных ($3,36 \pm 0,55\%$) мышей достоверно различаются. Однако следует отметить, что суммарная поглощенная животными в течение года доза облучения не обладает сенсибилизирующим эффектом при дополнительном воздействии мутагенами в пределах испытанных доз. Наоборот, несмотря на некоторое нарушение стабильности генома миелокариоцитов в условиях годичного хронического облучения, нами обнаружена резистентность клеток костного мозга к острому воздействию мутагенами, отличная от таковой у интактных животных, однако тенденция к проявлению устойчивости при применении индукторов различной природы неоднозначна.

Судя по амплитуде показателей резистентности животных, подвергнутых хроническому облучению, к испытанным воздействующим факторам экстремальности, клетки костного мозга проявляют статистически значимую специфическую устойчивость к острому воздействию сублетальной дозы ионизирующей радиации и севина. При расположении в линейном порядке степень ответной реакции репарационных систем миелокариоцитов к воздействующим факторам выявляется следующей зависимостью: ионизирующее излучение > севин > НММ.

Экзогенный α -токоферол, введенный интактными животными за 24 ч до острого воздействия мутагенами, проявил универсальную анти-мутагенную эффективность. Достоверность разницы между уровнем нарушений генетической стабильности клеток у интактных животных, испытавших острое воздействие мутагенами и получивших одноразово модификатор мутационного процесса, превышает, судя по критерию Стьюдента, 0,1%-ный уровень значимости. Эффективность модифицирующего действия α -токоферола, выраженная в процентах от показателя уровня aberrаций хромосом в вариантах с острым воздействием γ -излучением, севином и НММ, составляет соответственно 57,11; 49,75 и 46,78%.

Переходя к описанию двухфакторной модификации острого воздействия мутагенами, следует отметить, что α -токоферол снижает почти до контрольного уровня процент генетических повреждений, вызванных годовым хроническим облучением малыми дозами. Применение моди-

фактора мутационного процесса на фоне хронического облучения малыми дозами приводит к аддитивному эффекту. Эффективность двухкратных дозами, выраженная в процентах от показателя уровня факторной модификации, в вариантах с острым воздействием γ -излучения генетической токсичности составляет соответственно 79,11; 65,25 и 55,03%.

Таким образом, в экспериментах на инбредных мышах показано, что длительное облучение малыми дозами в пределах определенных суммарных доз поглощения не обладает токсичностью по тесту аберраций хромосом в миелокариоцитах. Начиная с суммарной дозы 4,8 Гр, что соответствует облучению в течение 120 дней, проявляется генотоксический эффект хронического воздействия γ -излучения, который к 365 дню (суммарная поглощенная доза 8,42 Гр) достигает уровня, почти вдвое превышающего уровень спонтанного фона. Хроническое облучение малыми дозами, несмотря на некоторую генотоксичность, резистирует наследственные структуры миелокариоцитов к дополнительному массированному воздействию мутагенами, что, вероятно, является следствием активации индуциальной антимутагенной системы reparacion. Однако индуциальная резистентность обладает специфичностью то есть антимутагенная функция, индуцированная ионизирующим излучением, оказывала неоднозначно эффективную устойчивость к γ -излучению, пестициду и алкилирующему соединению.

α -токоферол обладает универсальной антимутагенной эффективностью, снижая уровень генотоксичности хронического облучения, а в сочетании с резистирующими свойствами длительного воздействия малыми дозами, проявляет аддитивный защитный эффект при индуцированном мутагенезе.

Литература

1. Кузин А. М. Стимулирующее действие ионизирующего излучения на биологические процессы (к проблеме биологического действия малых доз). — М.: Атомиздат, 1977, 136 с.
2. Brooks A. L. Low dose and low dose-rate effects in cytogenetics. — Radiat. Biol. Cancer Res. 32nd Ann. Symp. Fund. Cancer., Houston, Tex., 1979. New York, 1980, p. 263 — 276.
3. Fowler J. F. Radiation biology in cancer research. — Symposium Summary. Radiat. Biol. Cancer Res. 32nd Ann. Symp. Fund. Cancer., Houston, Tex., 1979. New York, 1980, p. 645 — 654.
4. Metalli P. Cytogenetic effects of low-dose radiation. — Biol. Eff. Low-Level Radiat. Proc. Int. Symp., Venice, 11 — 15 Apr., 1983. Vienna, 1983, p. 143 — 164. Discuss., p. 207.
5. Russel W. Z. Comments on mutagenesis risk estimation. — Proceedings of the Workshop. Methods in Mammalian Mutagenesis, Maine, Oct. 6 — 8, 1976. Genetics (USA), 1979, 92, No. 1, pt 1, Suppl., p. 187 — 194.
6. Setlow R. B. Round table: risk assessment for low-dose-rate radiation. — Use. Hum. Cells Eval. Risk Phys. and Chem. Agents. Proc. NATO Adv. Study. Inst., Pisa, Aug. 24 — Sept. 5, 1981. New York — London, 1983, p. 675 — 688.
7. Sobels F. H. Genetische stralingseffecten. — Ned. tijdschr. genet., 1978, 122, No. 16, p. 550 — 556.
8. Upton A. C. The biological effects of low-level ionizing radiation. — Sci. Amer., 1982, 246, No. 2, p. 29 — 38.

Институт ботаники им. В. Л. Комарова
АН АзССР, НИИ ВМиГ им. Г. М. Мусабекова МЗ АзССР Поступило 1. X 1985

Ә. А. Әлијев, У. К. Әләкбәров, А. Б. Шехтман, И. А. һәмзәјева,
Л. М. Лурје, А. И. Әсәдова, Н. С. Габай, К. К. Рәһимова

ХРОНИКИ ШУАЛАНДЫРЫЛМЫШ СИЧАНЛАРДА КЕНЕТИК АПАРАТЫНЫН МУХТАЛЫФ МУТАКЕН ФАКТОРЛАРЫН ТӘ'СИРИНӘ СПЕСИФИК НӘССАСЛЫҒЫ ВӘ α -ТОКОФЕРОЛУН МУДАФИӘДЕДИЧИ ЕФФЕКТИ

Мүәյҗән едилмишdir ки, СВА хәттиндән олан сичанлардың кичик дозаларла хроники шуаландырламасы индукторларын тәбиғеттіндән асылы оларaq онлардың мұхтәліф мута-

кең факторларын тә'сирина гаршы мұғавиметиниң жүксөлдір. α -токоферол универсал ани-
тимутакен тә сирә маңыл олмагла хроники шуаландырма иәтичәсіндә жаранан кено-
токсикліккін сәвијәсін ашагы салыр.

А. А. Aliyev, U. K. Alekperov, A. B. Shekhtman, I. A. Gamzaeva,
L. M. Lurie, A. I. Asadova, N. S. Gabai, G. K. Ragimova

SPECIFIC SENSIBILITY OF THE GENETIC APPARATUS ON THE CHRONICALLY RADIATED LINEAR MICE TO EFFECT OF DIFFERENT MUTAGENS AND THE UNIVERSAL PROTECTIVE ACTION OF α -TOCOPHEROL

The chronic radiation of CBA-line mice with small doses of the ionizing radiation increases their nonspecific inductor-dependent resistance to various mutagens. α -tocopherol is a universal antimutagen, which reduces a level of the chronic radiation genotoxicity and, in combination with the resistive properties of the long-term small-dose effect, the additive protective effect in the induced mutagenesis.

Н. А. ГУСЕИНОВА

ЭМБРИОЛОГИЧЕСКОЕ ИССЛЕДОВАНИЕ БАСМЫ КРАСИЛЬНОЙ
В УСЛОВИЯХ АПШЕРОНА

(Представлено академиком АН Азербайджанской ССР В. И. Ульянищевым)

Басма *Indigofera* — однолетнее растение тропического происхождения из семейства Fabaceae, издавна широко используется в юго-восточных странах земного шара для приготовления высококачественной краски.

Эмбриологическим исследованием некоторых видов рода *Indigofera* занимались Makde K. [1], Khan Nasir R., Istikar N., Parven Aziz [2], Davis D. [3], которые описали строение семяпочки и развитие зародышевого мешка у *Iablongifolia*, *I. pulchella* Roxb.

В данной статье излагаются результаты исследования морфологии цветка, а также развитие мужской и женской генеративной сфер цветка басмы красильной, произрастающей на Ашхероне.

Материал для данного исследования собран с коллекционного участка лаборатории генетики и селекции Института ботаники АН АзССР. Проводились темпоральные фиксации жидкостью Карниа, бутонах и цветков, начиная с заложения бугорков соцветия до образования семени. Материал обезвоживался, заключался в парафин, согласно общепринятой методике цитологического исследования. Толщина срезов варьировала между 10—12 мкм в зависимости от степени развития цветка. Препараты окрашивали железным гематоксилином по Гайденгайну и Деляфильтру.

Морфологию цветка изучали на живом материале. С помощью окуляр-микрометра измерялась длина и ширина пыльцевых зерен (25-кратной повторности).

Анализ цветков и соцветий проводили под бинокулярной лупой МБС-2, методом препарирования.

Однолетние растения высотой до 1,5 м, полученные из семян басмы красильной — невысокие кустарники с прутьевидными ветвями. Листья непарно-перистосложные с 4—7 парами листочков. Листочки эллиптические, сверху голые, снизу прижато-волосистые. Длина листовой пластинки до 3 см, ширина — 1,5 см. Бугорки соцветий появляются в условиях Ашхерона в конце июля. Отдельные цветки обособляются в конце августа. Длина соцветий 0,8—1,6 см.

В августе в начале цветения, на основном стебле имеется по 5—6 кистей, каждая кисть содержит по 22—24 цветка. По мере отцветания этих кистей в верхней части стебля появляются новые кисти. Вначале распускаются цветки на нижней части оси кисти. В первый день цветения распускается всего 2—4 цветка. На следующий день число распустившихся цветков на первой нижней кисти увеличивается, а на второй, расположенной выше, начинают распускаться первые цветки.

Цветок устроен типично для бобовоцветных, — т. е. неправильный, зигоморфный, сидячий. Длина цветка 4—5 мм, ширина — 2 мм. Чашечка пятичленная, зеленая. Доли околоцветника состоят из лодочки, от которой отходят 2 конических придатка со щелью на верхушке (придатки служат для выделения нектара) весел, окрашенных в более ярко-розовый цвет, чем лодочка и парус. Распускание цветка начинается с появления щели между парусом и остальными лепестками венчика и заканчивается тогда, когда парус отойдет от лепестков и прекратит дальнейшее движение, затем тычиночная колонка выбрасывается из лодочки и плотно прижимается к парусу.

Продолжительность жизни одного цветка у басмы красильной 1—3 дня, а соцветия в целом — 7—10 дней. Бутонизация и цветение продолжаются в течение всего вегетационного периода. Плоды развиваются с конца августа по октябрь.

Андроцей двубратственный, из 10 тычинок, одна из которых свободная, остальные сросшиеся основаниями в трубочку, разорванную сверху. Пыльники четырехгнездные, соединенные между собой связником. Бугорки пыльников закладываются в середине июля.

В бутонах 0,4—0,5 мм длины пыльники содержат клетки вторичного археспория. Наружная стенка молодого пыльника к моменту обособления клеток вторичного археспория состоит из эпидермиса, фиброзного слоя, одного среднего слоя, тапетума и двух или трех слоев спорогенной ткани. Таким образом наружная стенка пыльника формируется по двудольному типу, широко распространенному у покрытосеменных растений.

Тапетум секреторного типа. По мере развития бутона и пыльцы, тапетум постепенно дегенерирует. Полная дегенерация тапетума наблюдается к моменту образования двухклеточной пыльцы (в конце августа). Мейоз в материнских клетках пыльцы не сопровождается образованием клеточных перегородок, цитокинез осуществляется перешнуровыванием цитоплазмы. Тетрады микроспор тетраэдальные. В ядрах микроспор имеются хроматиновые глыбки. Цитоплазма мелковакуолизированная. По мере роста пыльников на пыльцевых зернах формируются интина и экзина. Мелкие вакуоли в цитоплазме сливаются, образуя одну большую, которая оттесняет ядро в периферии клетки.

Пыльца типична для семейства Fabaceae, характеризуется меридионально-трехбороздной формой проростковых отверстий, двухклеточная, экзина толстая с тупыми шипиками. Диаметр пыльцевых зерен достигает 36 мкм.

Завязь верхняя, сидячая, столбик короткий, согнутый. Изогнутость столбика определяется его расположением в лодочке, из которой он выдвигается при опылении. Рыльце — головчатое, слабозаметное. Плод — боб многосемянный. Семена без эндосперма, покрыты толстой кожурой.

Пестик занимает в цветке центральное положение и образован двумя плодолистиками. Бугорки плодолистиков закладываются в июле, затем они вытягиваются, края их, разрастаясь, заворачиваются внутрь и срастаются. В результате завязь басмы красильной становится двухгнездной синкарпной. Верхние части плодолистиков образуют столбик.

Заложение бугорков семяпочек и их развитие происходит в летний период, во время распускания цветковых почек, развития бутонов и цветков.

Вначале каждый бугорок состоит из однородных недифференцированных меристематических клеток, которые очень интенсивно делятся.

Затем постепенно изгибаются, таким образом, приобретает гемианатропное положение.

На следующем этапе дифференциации семяпочки, у основания нутцеллуса закладываются два концентрических валика будущих покровов — интегументов семяпочки. Наружный интегумент массивный, состоят из 6 и более слоев клеток, а внутренний — более тонкий, из 2—3 слоев клеток. Заложение бугорков семяпочек у басмы красильной можно наблюдать в условиях Апшерона в начале августа. Вскоре под эпидермисом обособляется группа клеток, по величине почти таких же, как и остальные клетки, но с более крупным ядром, а ядрышко значительно крупнее, чем во всех остальных клетках.

В этот период завершается преобразование археспариальной клетки, которая в дальнейшем становится материнской клеткой макроспор. Из нее путем деления образуются тетрада макроспор. Расположение макроспор в тетраде линейное.

Зародышевый мешок развивается из халазальной макроспоры, при этом он значительно углубляется в нутцеллус.

На микропилярном конце зародышевого мешка образуется яйцевой комплекс, в котором центральное положение занимает яйцеклетка, а по обе стороны, прикрывая ее, располагаются две синергиды грушевидной формы, у основания которых имеется нитчатый аппарат. В центре зародышевого мешка, ближе к яйцеклетке, находятся полярные ядра, которые остаются длительное время в тесном контакте, впоследствии они образуют ядро центральной клетки зародышевого мешка. В халазальной части формируются 3 клетки-антиподы. Готовый зародышевый мешок яйцевидно-удлиненный, состоящий в большом количестве из гранул крахмала.

От начальных стадий макроспорогенеза до последних этапов дифференциации зародыша рядом с женским гаметофитом можно наблюдать множество распадающихся структур и клеток, находящихся на разных стадиях развития, которые окружают зародышевый мешок и как бы составляют его оболочку. Это остатки клеток археспариального комплекса, три макроспоры из тетрады, разрушенные клетки нутцеллуса, часть клеток интегументов и др.

Зародышевые мешки у басмы красильной достигают полного развития и готовности к оплодотворению при одинаковой степени развития цветка в целом.

Литература

1. Makde K. H. — Gametophytes and fertilization of *Indigofera pulchella* Roxb. J. Indian. Bot. Soc., 1971, 50, 4, 308—311.
2. Khan Nasir R., Ifticar N., Parven Aziz. Megasporogenesis and the development of embryo sac in *Indigofera ablongifolia*. — Pakistan J. Sci. and Ind. Res., 1974, 15, No. 6, 371—375.
3. Davis G. Systematic embryology of the Angiosperms. — New York: Wiley, 1966, 528.

Институт ботаники

Поступило 1. VIII 1985

Н. А. Гусейнова

АБШЕРОН ШӘРАИТИНДӘ БАСМА БИТКИСИННИН
ЕМБРИОЛОЖИ ХҮСУСИЙЛӘТИНИН ӨЈРӘНИЛМӘСИ

Мәгарәдә басманың морфологиясы және ситоембриологиясы илк дәғә шәрі олунмушдур.

Тәдгигат Иәтичәсинде мә'лүм олмушдур ки, басма биткисинни чичәкләмә мүддәти биткисине бүтүн векетасија дәврү давам едир.

Микроспорогенез вә макроспорогенез процесси нормал көтдији учун биткисини јахши мәһсүл вермәсина зәмни јаранды.

Н. А. Гусейнова

THE EMBRIONAL INVESTIGATION OF INDIGOFERA ON THE APSHERON

As a result of the research, the seed-bud's laying period, the women arthropory in the seed-buds, the differentiation of the integuments, megasporogenes, the material cell of the embryonic bag, as well as the peculiarities of the embryonic bag's formation and the seed-bud's morphology were established.

ФИЗИОЛОГИЯ РАСТЕНИЙ

М. А. МИКАИЛОВ, Э. С. САФАРОВА

**ВЛИЯНИЕ ФИЗИЧЕСКОГО МУТАГЕНА НА РОСТ
И РАЗВИТИЕ КУСТОВ ХНЫ**

(Представлено академиком АН Азербайджанской ССР И. Д. Мустафаевым)

Хна (*Lawsonia inermis* L.) — многолетний, вечнозеленый кустарник, листья хны являются ценным сырьем. Порошок из листьев хны не только используется как краситель волос, кожи, а также употребляется при лечении желтухи, желчно-каменной болезни, кожных заболеваний [11].

Хна как новая техническая культура, возделывается в различных зонах Азербайджана. Она оказалась посадочной культурой, за 8—10 месяцев дает высококачественные листья, порошок и семена [1—5].

Известно, что мутагены имеют важное значение при формообразовательном процессе сельскохозяйственных растений как технических, цветочных, так и лекарственных, овощных и др. [6—10].

Почти не проведены исследования по изучению влияния мутагенов на изменчивость хны.

МАТЕРИАЛ И МЕТОДИКА

Материалом исследования служили сухие семена хны, которые были подвергнуты воздействию физического мутагена кобальта (Co^{60}) при 1, 5, 10, 15, 20 кр. Обработанные семена для каждого варианта высевались по 5 г в почве на стеллаже теплицы-лаборатории генетики и селекции Бакинского ботанического сада Института ботаники АН АзССР в течение 2 лет (1983—1984 гг.).

В условиях закрытого грунта за полученными всходами хны осуществлялся соответствующий уход и учет. Выращенная рассада хны при 3—4-месячном возрасте по всем вариантам опыта с контролем в течение мая высаживалась на открытом грунте в биологическом питомнике, и за 5—6 месяцев завершался вегетационный период.

ЭКСПЕРИМЕНТАЛЬНАЯ ЧАСТЬ И ОБСУЖДЕНИЕ

Результаты исследования приводятся в сводной таблице, где представлены экспериментальные данные по всхожести семян, росту и развитию кустов хны (таблица).

Из анализа экспериментальных данных видно, что дозы мутагена не в одинаковой степени влияют на биологию прорастания семян, рост и развитие ее в условиях закрытого и открытого грунта.

Число сохранившихся кустов после посадки в биологическом питомнике (2. X 1984 г.) составляло 63,1—94,4%, а у контроля не более

Влияние физического мутагена на получение всходов семян, сохраняемость кустов при пересадке, на рост и развитие хны в М.

Бапшахты	Ложнопокрытые, кр.	Контроль	Контроль	Фазы развития кустов	
				бутонизация	цветение
1	1	5	151	37	28
2	5	5	172	32	21
3	10	5	83	19	12
4	15	5	132	20	17
5	20	5	95	18	17
6	контроль	5	30	10	5

Бапшахты	Ложнопокрытые, кр.	Контроль	Контроль	Фазы развития кустов	
				бутонизация	цветение
1	1	5	151	37	28
2	5	5	172	32	21
3	10	5	83	19	12
4	15	5	132	20	17
5	20	5	95	18	17
6	контроль	5	30	10	5

Бапшахты	Ложнопокрытые, кр.	Контроль	Контроль	Фазы развития кустов	
				бутонизация	цветение
1	1	5	151	37	28
2	5	5	172	32	21
3	10	5	83	19	12
4	15	5	132	20	17
5	20	5	95	18	17
6	контроль	5	30	10	5

Бапшахты	Ложнопокрытые, кр.	Контроль	Контроль	Фазы развития кустов	
				бутонизация	цветение
1	1	5	151	37	28
2	5	5	172	32	21
3	10	5	83	19	12
4	15	5	132	20	17
5	20	5	95	18	17
6	контроль	5	30	10	5

Бапшахты	Ложнопокрытые, кр.	Контроль	Контроль	Фазы развития кустов	
				бутонизация	цветение
1	1	5	151	37	28
2	5	5	172	32	21
3	10	5	83	19	12
4	15	5	132	20	17
5	20	5	95	18	17
6	контроль	5	30	10	5

Бапшахты	Ложнопокрытые, кр.	Контроль	Контроль	Фазы развития кустов	
				бутонизация	цветение
1	1	5	151	37	28
2	5	5	172	32	21
3	10	5	83	19	12
4	15	5	132	20	17
5	20	5	95	18	17
6	контроль	5	30	10	5

Бапшахты	Ложнопокрытые, кр.	Контроль	Контроль	Фазы развития кустов	
				бутонизация	цветение
1	1	5	151	37	28
2	5	5	172	32	21
3	10	5	83	19	12
4	15	5	132	20	17
5	20	5	95	18	17
6	контроль	5	30	10	5

Бапшахты	Ложнопокрытые, кр.	Контроль	Контроль	Фазы развития кустов	
				бутонизация	цветение
1	1	5	151	37	28
2	5	5	172	32	21
3	10	5	83	19	12
4	15	5	132	20	17
5	20	5	95	18	17
6	контроль	5	30	10	5

Бапшахты	Ложнопокрытые, кр.	Контроль	Контроль	Фазы развития кустов	
				бутонизация	цветение
1	1	5	151	37	28
2	5	5	172	32	21
3	10	5	83	19	12
4	15	5	132	20	17
5	20	5	95	18	17
6	контроль	5	30	10	5

Бапшахты	Ложнопокрытые, кр.	Контроль	Контроль	Фазы развития кустов	
				бутонизация	цветение
1	1	5	151	37	28
2	5	5	172	32	21
3	10	5	83	19	12
4	15	5	132	20	17
5	20	5	95	18	17
6	контроль	5	30	10	5

Бапшахты	Ложнопокрытые, кр.	Контроль	Контроль	Фазы развития кустов	
				бутонизация	цветение
1	1	5	151	37	28
2	5	5	172	32	21
3	10	5	83	19	12
4	15	5	132	20	17
5	20	5	95	18	17
6	контроль	5	30	10	5

Бапшахты	Ложнопокрытые, кр.	Контроль	Контроль	Фазы развития кустов	
				бутонизация	цветение
1	1	5	151	37	28
2	5	5	172	32	21
3	10	5	83	19	12
4	15	5	132	20	17

50,0%. В 1,4 и 5 вариантах число сохранившихся кустов было больше (75,6—94,4%), а во 2 и 3 вариантах — меньше (63,1—65,6%).

Высота надземных частей у опытных кустов в среднем была выше (18,1—28,2 см), чем у контроля (18,0 см).. Диаметр корневой шейки у индуцированных физическим мутагеном кустов колебался от 3,04 до 4,3 мм, у контроля — не превышал 2,2 мм. Диаметр кроны куста во всех вариантах в среднем был выше (7,0—12,6 см), чем у контроля (3,0 см).

По фазе развития индуцированные физическими мутагенами кусты хны по всем вариантам начали бутонизацию раньше (21.VIII—15.IX (1984), чем контрольные 12.IX 1984). Начало цветения было отмечено у кустов в 1 варианте 23.IX, во втором — 26.IX и в 5 варианте — 25.IX 1984 г. Контрольные кусты начали цветение на 17 дней позже (12.X 1984).

Экспериментальные данные, обработанные биометрическим методом, также подтверждают положительное влияние физического мутагена на рост и развитие кустов хны по всем вариантам опыта, начиная с M_1 .

Исходя из полученных экспериментальных данных можно сделать следующие выводы.

Выводы

1. Установлено, что дозы физического мутагена (1, 5, 10, 15, 20 кр.) в разной степени оказывают влияние на получение всходов семян и их сохраняемость в условиях закрытого грунта (на стеллаже теплицы).

2. Выявлено, что однократное воздействие физического мутагена в разных дозах оказывает неодинаковое влияние на рост и развитие кустов хны, начиная с M_1 .

3. Определено, что в опытных и контрольных кустах хны, посаженных в биологическом питомнике, число кустов, сохранившихся на 5-й месяц больше в 1, 4, 5 вариантах (75,6—94,4%), меньше — во 2—3 вариантах (63,1—65,6%), а у контроля не превышало 50,0%.

Литература

1. Ахундзаде И. М. Опыт освоения хны в Азербайджане. — Труды АзНИМН, 1949, т. I. 2. Микаилов М. А. Наука и жизнь Азербайджана, 1965, № 2, 3. Микаилов М. А., Садыхов Т. М. — Наука и жизнь Азербайджана, 1978, № 10. 4. Микаилов М. А. и др. Сб. Агроказания по культурам хны и басмы в Азербайджане. — Баку: Элм, 1979.
5. Микаилов М. А., Аллахвердиев С. Р. — ДАН АзССР, т. 39, 1983, № 3. 6. Микаилов М. А. Влияние мутагена на изменчивость гладиолуса. Генетика и селекция в Азербайджане. — Баку: Элм, 1972. 7. Микаилов М. А., Ахундов Д. Д. Изменчивость гвоздики, индуцированной радиацией и химическими факторами. — Баку: Элм, 1974. 8. Микаилов М. А., Мустафаева А. Г. Влияние мутагена на изменчивость басмы туркменской. IV съезд генетиков и селекционеров Азербайджана. — Баку: Элм, 1981. 9. Ахундзаде И. М. Влияние радиации на увеличение пестичных цветков у огурца. IV съезд генетиков и селекционеров Азербайджана. — Баку: Элм, 1981. 10. Кулев А. М., Сарханбейли Ю. И. Результаты комбинированного влияния физических и химических мутагенов на хлопчатник. IV съезд генетиков и селекционеров Азербайджана. — Баку: Элм, 1981. 11. Ciopra R. Glossary of Indian medicinal plants council of scientific and industrial research. — New Delhi, 1956, p. 151.

Институт ботаники АН АзССР

Поступило 13. II 1985

М. Э. Микаилов, Е. С. Сафарова

ХЫНА ТОХУМУНУН ЧҮЧӘРМӘСИНӘ, КОЛЛАРЫН БОЈ ВӘ ИНКИШАФЫНА ФИЗИКИ МУТАКАЕНИН ТӘ'СИРИ

Хына (*Lawsonia inermis* L.) Азәрбајҹанда јени техники биткىдир. Онун јарлагы гијметли хаммалдыр. Хына тозудан косметикада, тәбабәтдә, сарылыг-вә дәри хәстәліктәрендә вә с. кениш истифадә олунур.

Мә'лумдур ки, биткиләрдә форма эмәләкәлмә просесинде мутакенин бөյүк әһәмијәттән вардыр. О чүмләдән: кәнд тәсәррүфаты биткиләрнән техники, чичәк, дәрман, тәрәзәз вә с. биткиләрдә мутакенин әһәмијәттән өјрәнилмишdir.

Хына биткисинде демәк олар ки, мутакенләрни тә'сири өјрәнилмәмишdir. Апардыгымыз тәдгигатлар көстәрир ки, физики мутакенин дозасы (1, 5, 10, 15, 20 кр.) хына тохумаларынын чүчәрмәсина, онларын гапала шәрантә сахланылмасына мұхтәлиф дәрәҗәдә тә'сири көстәрир.

Мүојжән едилмишdir ки, физики мутакенин хына колларынын бој вә инкишифына бирдәфәлик тә'сири M_1 -дән башлајараг мұхтәлиф олур.

Хына тохумунун эн жаҳы чүчәрмәсина вә эн јуксәк фазили сахланылмасына физики мутакенин тә'сири 1, 4, 5 вариантында (75,6—94,4%) олмуштур, контролда исә 50,0%-дән жуҳары галхамамышдыр.

М. А. Mikailov, E. S. Safarova

THE EFFECT OF PHYSICAL MUTAGEN ON SEED GERMINATION, GROWTH AND DEVELOPMENT OF HENNA 'BUCHES

Henna (*Lawsonia inermis* L.) is a perennial evergreen bush. Its leaves appeared to be the valuable raw material. The powder of henna leaves is used not only as hair and leather dye but also in treatment of icterus and skin diseases.

The mutagens are known to be of great importance in the formation process of agricultural plants (industrial, floral, medicinal and vegetable plants).

The mutagen doses (1, 5, 10, 20 kr) are found to influence in different extent on henna seed germinating capacity and their conservation in the conditions of covered ground in greenhouse shelves.

The conducted investigations determined that single effect of mutagen in various doses on henna seeds influenced differently on growth and development of henna bushes, beginning with M_1 .

The recommended dosage of mutagen effect on henna seeds, providing the maximal values in bush conservation, proved to be in the 1, 4, 5 variants (75.6—94.7%), the minimal ones were in the 2, 3 variants (63.1—65.6%), and in control they did not exceed 50.0%.

М. Д. КЯЗИМОВ

О РУКОПИСИ МАЛОИЗВЕСТНОГО ПОДРАЖАНИЯ
НА «ХАФТ ПЕЙКАР» НИЗАМИ

(Представлено академиком АН Азербайджанской ССР З. М. Буниятовым)

Из более чем тридцати подражаний на «Хафт пейкар» Низами, созданных в литературах Востока на протяжении XIV—XIX вв., изданы лишь несколько. Основная масса «ответов» сохраняется в рукописном виде. Это относится и к «Хафт гумбад-и Бахрам» («Семь куполов Бахрама») (1612)¹ персоязычного поэта Рух ал-Амина Шахристани, которое пока известно в небольшом количестве списков².

В нашем распоряжении имеется фотокопия рукописи «Хафт гумбад-и Бахрам», хранящаяся в библиотеке Тегеранского университета под шифром 1328. Рукопись состоит из 151 листа. Начальный и конечный листы отсутствуют. Текст переписан почерком насталик в четыре колонки, в каждой по 14 строк. На тех листах, где имеются заголовки, колонки содержат от 9 до 13 строк. Объем произведения (без двух листов) составляет 4281 бейт.

Обычно в подражаниях на «Хафт пейкар» невелики по объему и количеству глав вступительная часть и сюжет обрамления. У Рух ал-Амина же они занимают значительное место в произведении. Вступление у него состоит из 23 глав, содержащих 1506 бейтов. В этих главах довольно подробно изложено отношение автора к целому комплексу вопросов идеологической жизни общества; его эстетические и философские представления, взгляды на мораль, способы управления государством, мистику. Наибольший интерес представляют две главы: «В похвалу слова» и «Песня любви». В первой из них раскрывается роль слова в процессе поэтического творения, во второй — рассматривается всеохватывающая роль любви как созидающего феномена.

В XVII в. в персоязычной литературе сюжет о Бахраме, составляющий рамку «Хафт пейкар», интерпретировался в «Хафт гумбад-и Бахрам»³. Повествование у Рух ал-Амина содержит 8 глав. По сравнению с Низами, оно сокращено, состоит из 890 бейтов (у Низами около 2 тыс. бейтов) и включает следующие эпизоды: рождение Бахрама (содержащее мотивы предсказания звездочетов и отправки Бахрама в Йемен), его воспитание и увлечение охотой (включает мотив воспитания Бахрама Ну'маном, описание коня, меча, лука со стрелами, охоты Бахрама на онагров), строительство дворца (мотив приезда Симнара, постройки и описания дворца), смерть Иездигерда и получение известия об этом Бахрамом (описание скорби Бахрама и утешение его Ну'маном), поход Бахрама на Иран и его правление (подготовка войска Ну'маном, письмо Бахрама иранцам, описание войск противников, признание иранцами Бахрама в качестве царя, восшествие Бахрама на трон и его справедливое правление), возвращение Бахрама в Йемен (мотив сна Бахрама

и строительство для каждой принцессы отдельного купола), исчезновение Бахрама (погоня за онагром, исчезновение в ущелье, поиски Бахрама войском). В рамку, помимо эпизодов, несущих фабульную нагрузку, включены также обширные религиозно-философские и дидактические отрывки.

На долю вставных новелл у Рух ал-Амина приходится 1700 бейтов. К рамке они примыкают, так же, как и в других стихотворных обрамленных повестях, с помощью связующего звена, в роли которого выступает эпизод посещения Бахрамом куполов принцесс. Эпизод посещения повторяется семь раз и построение его стереотипно. Бахрам, одевшись в одежды соответствующего цвета, направляется в очередной купол, где после пира принцесса рассказывает ему сказку. Окраска куполов (их связь с днем недели и обитательницей такова: синий — суббота, индийская принцесса; желтый — воскресенье, славянская принцесса; голубой — понедельник, арабская принцесса; красный — вторник, хорезмская принцесса; зеленый — среда, хотанская принцесса; сандаловый — четверг, румская принцесса; желтый — пятница, татарская принцесса).

В первой новелле «Хафт гумбад-и Бахрам» обыгрывается сюжет, часто встречающийся в стихотворной обрамленной повести. Исходная ситуация, лежащая в основе сюжета, проста: герой, попадая большей частью в сад и встретив здесь красавицу, поддается страстям, теряет ее и оказывается в том самом месте, откуда началось происшествие. У Рух ал-Амина она несколько изменена: герой, очарованный незнакомкой, следует за ней на вершину горы, бросается за девушкой в ручей, вынырнув, попадает в пустыню, вновь окунувшись в воду у города, одетых в черное людей, оказывается у знакомого ручья.

Извечная тема литературы: добро и зло раскрывается автором во второй новелле, которая перекликается с шестой новеллой «Хафт пейкар» и шестой новеллой «Саба-йи сайяр» («Семь планет») Алишера Навои. Во всех новеллах характеристики персонажей полярно противоположны. Один — воплощение всех положительных качеств, другой — отрицательных. Необычно показано Рух ал-Амином наказание зла. Завистливый злобный сосед приказывает, чтобы раб отрубил ему голову и оставил труп на крыше дома добряка, дабы на того пало подозрение и его упратили в тюрьму. Правда в конце концов торжествует, а зло наказывается.

Третья новелла содержит историю шаха и медника. Чудесный кубок, который сделал медник, попадает в руки шаха. Он узнает с его помощью правду о своем рождении и решает отомстить мастеру. Но медник одерживает верх над владельцем и сам становится шахом. Схожая концовка с восхождением героя на престол дана и в четвертой новелле. Она повествует о юноше, сыне везира, которому предсказывают удачу, если он отправится в путешествие. Юноша пускается в путь и прибывает в Магриб. Здесь он случайно оказывается в очаге землетрясения, но не теряется, а наоборот, проявляет хладнокровие и отвагу, за что избирается шахом Магриба вместо погибшего правителя.

В пятой новелле говорится о мужчине, попавшем в край, где живут одни женщины. Пробыв среди них два года и переходя от одной женщины к другой, он в конце концов фантастически (по воздуху) переносится из этого места и рассказывает о своих приключениях в одном из городов Сирии. Сюжетную канву шестой новеллы составляют необык-

новенные приключения капитана и его команды в одном из приморских краев Румы.

В седьмой новелле события концентрируются вокруг умной и решительной дочери башмачника, которая благодаря искусному владению ремеслом отца, спасает мужа и страну от вторгшихся войск неприятеля.

Заключительная часть произведения содержит 3 главы, объемом 185 байтов. В них приводятся рассуждения автора о бренности земного существования, вновь следуют многочисленные назидания и наставления. Последняя глава «Хатима» обрывается в самом начале и содержит всего 2 байта.

Примечания

1. Краткие сведения о жизни и творчестве поэта приведены Г. Ю. Алиевым. Г. Ю. Алиев. Темы и сюжеты Низами в литературах народов Востока. — М., 1985; с. 180—181. 2. Краткое описание рукописи см.: Фихрист-и нусахаха-ий хатти-ий фарси. дж. 4 /Нигаранде Ахмад Мунавви—Тегран, 1351, с. 2619; а также Catalogue of Persian Manuscripts in the British Museum, vol. II /By Ch. Rieu—Oxford, 1966, p. 676. 3. Мы не располагаем рукописями других «ответов» на «Хафт пейкар», созданных в персоязычной литературе XVII в. Возможно, например, что в «Хафт ахтар» («Семь звезд») Айши или «Хафт гаухар» («Семь жемчужин») Са'и также использована история о Бахраме. Что касается известного подражания, принадлежащего перу Фани — поэмы «Хафт ахтар» («Семь звезд») (1957), то в ней разрабатывается совершенно другой сюжет.

Институт востоковедения

Поступило 30. IV 1986

М. Д. Казимов

НИЗАМИНИН «ҲӘФТ ПЕЙКАР» ПОЕМАСЫНА НӘЗИРӘ ОЛАН АЗ ТАҢЫНЫШ БИР ӘЛЖАМА НАГГЫНДА

Низаминин «Ҳәфт пейкар» поемасына нәзирә жазылыш эсәрләrinн эксерийјәти әлжазма нағында саҳланылыр. Бу илдә фарсилли шаир Руһуләмин Шәһристанинин 1612-чи илдә жаздыры «Ҳәфт қүбәди-Бәһрам» поемасына да иштәdir. Бу эсәрин әлжазма нусхаләrinдән бири Төркөн Университетинин китабханасында саҳланылыр. 156 вәрәгдән ибарәт олан поемада 4281 байт вардыр. «Ҳәфт қүбәди-Бәһрам» эсәри Бәһрам нағында сүжет вә једди новелладан ибарәтdir.

M. D. Kyazimov

ON A MANUSCRIPT OF LITTLE-KNOWN IMITATION OF THE MIRAMI'S "HAFT PAYKAR"

Main bulk of "Haft Paykar" nazire is preserved in the manuscript form. It concerns also "Haft gumbad-i Bahram" by the Persian-language poet Rukh al-Amin Shahristani created in 1612. One of the manuscripts of the work is kept in the Library of the Teheran University. The manuscript consists of 156 sheets and 4281 bayts. "Haft gumbad-i Bahram" contains plot of Bahram and seven novels.

АЗӘРБАЙЧАН ССР ЕЛМЛӘР АКАДЕМИЯСЫНЫН МӘРУЗӘЛӘРИ

ДОКЛАДЫ АКАДЕМИИ НАУК АЗЕРБАЙДЖАНСКОЙ ССР

ТОМ XLIII ЧИЛД

№ 4

1987

УДК 8—1. 894—362

ӘДӘБИЈАТШУНАСЛЫГ

Х. М. ҚУСЕЈНОВ

МӘҢСӘТИ КӘНЧӘВИНИН ДОҒУЛМАСЫ ВӘ ӨЛҮМУ ТАРИХИ

XII јүзиллик Азәрбајҹан әдәби-бәдии идракынын инкишафы тарихинде, онун Ренессанс идеялары илә зәнкүнләшмәснинде башлыча вә илккүн жеринде олан сәнәткарлардан бири дә Мәңсәти Кәнчәвидир.

Мәңсәти Кәнчәвииин һәјат вә јарадычылығындан Дөвләтшәһ Сәмәр-гәндинин «Тәзкирәтүш-шүәрә»сындан (XV) башланмыш XX јүзиллијәдәк демәк олар ки бүтүн әдәби-тарихи гајнагларда мә’лumatлар вардыр [7, 11; 6, 488 а; 14, 116; 5, 327; 8, 244; 16, 521; 9, 360 вә с.]. Бу мә’лumatлар башлыча олараг шаирәнин бәдии әсәрләрини, тәрчүмеји-нальны вә онунда бағлы рәвајәтләри әнатә едир.

Тәзкирәләрдә олдуғу кими, Авропа, рус вә совет алимләrinнин әсәрләrinдә дә [2, 344; 15, 192; 1, 12; 12, 35] Мәңсәти Кәнчәвииин дөғулмасы вә өлүмү тарихинде данышылмыр. Бунун башлыча сәбәби Мәңсәти ирсииин аз топланылмасы вә онларда шаирәнин барәсиндә верилән мә’лumatларын диггәтлә өјрәнилмәмәсидир.

Әдәби-тарихи-елми гајнагларда шаирәнин Султан Маһмуд Гәзиевидән (387—421/997—1030) тутмуш Султан Маһмуд Сәлчуги (498—525/1104—1131), Султан Сәнчәр (478—551/1085—1157) вә Атабәј Мәһәммәд (568—582/1172—1186) сарајларында јашамасы нағында [14, 116; 8, 244; 9, 360; 5, 327] мә’лumatлар бир-биринә уйғын кәлмир, бири башгасыны тәккәр едир [9, 360; 1, 12; 3, 15; 6, 488а]. Бир, иккى мүәллиф исә јанлыш олараг шаирәнин шәхсијәтине шубәнә илә јанаширы. Мәңсәтиинин әсәрләрини башгаларынын адына чыханлар да вардыр [1, 120; 14, 116].

Бөйүк Азәрбајҹан шаири Мәңсәти Кәнчәвииин анаданолма вә өлүм тарихини дүзкүн аյдынлаштырмадан онун һәјат вә јарадычылығыны дәрриндән өјрәнмәк олмаз. Идијә кими көзәчарпан јанлышлыгларын чоху шаирәнин дөгүм вә өлүм тарихини дүзкүн көстәрилмәмәси илә дә бағлы олмушшур. Мәңсәтиинин дөгүм вә өлүм тарихини аյдынлаштырмасы мәсәләсі өзлүйүндә шаирәнин һәјаты илә бағлы олан ашағыдақы мәтләбләрдә дә әлагәдардыр.

XX јүзиллијин иккинчи јарысындан башламыш Мәңсәти јарадычылығы даһа кениш өлчүдә диггәти чәлб етмәјә башламыш. Иран әдәбијатшунасларындан Эбдүррәһимән Фәрамәрз [3, 1—3], чех шәргүнасы Ян Рипка [3, 59] Мәңсәти рүбанләринин Хәjjамын рүбанләриндән јүксәк олдуғуну билдирирләр.

Иран әдәбијатшунасы Шәhab Тәһири тәзкирә, чүнк вә әлжазмаларындан Мәңсәти ше’рләрини топлајараг 1957-чи илдә Төркөндан шаирәнин илк «Диван»ыны иәшр етмишdir. О, 1968-чи илдә бу «Диван»ы јенидән иәшр едиб тәкмилләштирмәкәлә јанаши, Мәңсәтиинин елми тәрчүмеји-нальны да јаратмаға чалышмышдыр [3]. Шәhab Тәһириинин бу ахтарышы илкин олдуғу үчүн бурада ара-сыра јанлышлыглар, фактлара

архаланмадан иетицэлэр чыжармаға дэ тэсэдүүф едиллир. Айчаг о, өзүнэдэк Мэхсэти барэснндэ олан юнлыш мүлахиизэлэрэ диггэт јетирмиш вэ онларын чохуну дүзэлтшишдир. Мэхсэти Кэнчэвийн Султан Маһмуд Гээнэви дэврүндэ јашамасы кими эсасы олмајан фикрин көкү Рудэкијэ аид бир рүбанин Өсэди Тусинин «Логатул-фүрс» адлы эсэриндэ Мэхсэти адна кетмэси ила элагэдэр олмушдур. Шэhab Тахири бу рүбанин «Логатул-фүрс» эсэри Иранда икинчи дэфэ нэшр едилрекэн дүзкүн оларын Рудэкинин адна верилмэсни сөjlэмиш вэ Мэхсэтийн һансы јүзилликтэдэ јашамасы проблемини аждынлашдырмата чалышмышдыр. Шэhab Тахирийэ көрэ, Мэхсэти Кэнчэдэ догулмуш, Султан Маһмуд Сэлчуги, Султан Сэнчэр вэ Атабэй Мэхэммэд заманында јашамышдыр. Шэhab Тахири тарихи вэ өдэби гајнаглара сөjkэнэрэк шаирэний 28 јашында икэн Султан Маһмуд Сэлчуги һакимијјэтинин сон иллэриндэ Кэнчэ хэтибинин оглу Тачэддин Эмир Эхмэдэ эра кетмэсни көстэрмишдир. Айчаг Шэhab Тахири Мэхсэтийн 28 јашын Султан Маһмуд Сэлчугинин һакимијјэтинин һансы илинэ дүшдүүнү көстэрмэшидир.

Демэли, Султан Маһмуд Сэлчуги 511—525 (1117—1131)-чи иллэрдэ 14 ил һакимијјэт сурдууңдэн Мэхсэти юнлыз 483 (1090)-чу илдэн 497 (1104)-чи илдэк олан 14 ил өрзиндэ догула билэрги.

Чөвхэри Зэркэри «Мэхсэти вэ Эмир Эхмэд» романында да «Кэнчэ һекидары» — Султан Маһмуд Сэлчуги сағ икэн шаирэний Эмир Эхмэдлэ севишмэси һаггында данышылыр [11, 16]. Бу, өзлүүндэ керчэклийн ифадэ едир. Тахири Шэhabдан сонра Мэхсэтийн кениш монографија јазан алман алими Фритс Мајер «Шаун Мэхсэти» («Көзэл Мэхсэти») [13] адлы эсэриндэ шаирэний һэјат вэ јарадычылыгындан данышмагла јанаши, онун јени-јени эсэрлэрийн дэ топламышдыр. Ф. Мајерин јени топладыгы эсэрлэр ичэричиндэ Иран китабханаларынын бириндэн көтүрдүү белэ бир рүбай вардыр:

Наме өввэл (һэрф) си вэ өввэлэ намэш си,
Ту бедин өгло бедин фэхмо бедин дэр нэрэси.
Вэсэте наме веј өз өввэл (һэрфе) си о јек ниме
Вахэре наме веј өз ахэр си, ахэр си (13,316).

(Онун адныны өввэлинчи сезу отуз вэ адныны өввэли дэ отуздур,

Сан бу ағыл, бу дүшүнчэ ила о гапыя чатмазсан.
Онун адныны ортасы башдан отуз бир јарымдыр,
Онун адныны сону сондан отуз, сондан отуздур.)

Фритс Мајер бу рүбани шаирэний вээнчэ позгүн шэкилдэ бизэ кэлийн чатмыш эсэрлэриндэн сајмыш, биринчи вэ үчүнчү мисраларда «һэрф» сезүнү артырмагла позулмуш рэмэл бэхрини дүзэлтмэйэ чалышмышдыр. Айчаг онун биринчи мисрада артырдыгы «һэрф» сезү јериин дүшсэ дэ, үчүнчү мисрадаки «һэрф» сезү вээни дүзэлтмэкдэнсэ, ону даха да позмушдур. Бурада маддеји-тарих дэ вардыр ки, Фритс Мајер ону көрэ билмэшидир. Һалбуки бу рүбандэ шаирэний анаданолма тарихи чох айчаг верилмишдир.

Бу рүбанин үслүбча Мэхсэтийэ аид олмасына Ф. Мајер дэ шүбнэгэтири.

Рүбай үчүнчү шэхсэ мүрэчинэлэ дејилмишдир. Онда елэ чыхыр ки, Мэхсэти бурада киминэ анадан олмасыны өбчэд рэгэмлэри ила вермишдир. Айчаг Мэхсэтийн башга шे'рлэриндэ дэ өзүнэ аид чөхтэлэрин үчүнчү шэхсэ мүрэчинэлэ, демэсни тез-тез көрмэк олур. Бундан башга, Шэhab Тахири дэ бир сырса гајнаглара, о сырдан Рәшид Ясамијэ ар-

халанараг Мэхсэтийн Султан Маһмуд Сэлчуги заманында эрэ кетдийнни сөjlэдијини гејд етмишдик.

Тахири Шэhabын бу мүлахиизэсни дэринлэшдирдикдэ јухарыдакы рүбанин өбчэд рэгэмлэриндэн алынаан 491 (1098)-чи ил тарихин дүзүүлүүж бир даха аждын олур. Бу да өбчэдлэ верилмиш тарихин дэгиг олараг Мэхсэтийэ аид олдууңу демэјэ эсас верир.

Рүбанин биринчи мисрасында өбчэд рэгэмлэри илэ верилмиш ики «си» («отуз») вардыр. Икинчи мисрада өбчэд рэгэмлиш вэ мэна долгун чыхмышдыр: «Ту бедин өгл о бедин фэхмо бедин дэр нэрэси» — «Сэи бу ағыл, бу дүшүнчэ ила о гапыя чатмазсан». Үчүнчү мисрада «си вэ јек ниме» өбчэд рэгэмлиш, дөрдүнчү мисрада исэ ики «си» өбчэд рэгэмлиш верилмишдир. Бунлар һамысы беш дэфэ «си» вэ «вэ јек ниме» олур. Бурадакы рэгэмлэрлэ ифадэ едилмиш һэрфлэри гијмэти јеринэ гојулса, СИН—60; ja—10; 60+10=70. Инди беш дэфэ «СИН» вэ «ја»нын бирлэшмэснндэн өмэлэ қалмиш, мэ'нача «30» олан «СИ»—70 бешэ вурулса 350-јэ бэрэбэр олар ($70 \times 5 = 350$). Һесабламанын сонракы бөлмэснидэ «вэ јек ниме» сөjlэриндэ ишлэнмиш һэрфлэри өбчэдлэ сајлары јеринэ гојулса: вав-6; ja-10; каф-20; нун-50; ja-10; МИМ-40; he-5 олар. Бунлары топласаг $6 + 10 + 20 + 50 + 10 + 40 + 5 = 141$ алынаар. Демэли, беш «си»нин гијмэти 350 «вэ јек ниме»нин ифадэ етди 141-и топладыгда: $350 + 141 = 491$ олар ки, бу да Мэхсэти Кэнчэвиин һичри гэмэри илэ догулмасы тарихидир. Бурадан да Мэхсэти Кэнчэвиин 491 (1098)-чи илдэ догулдууңу сөjlэмэк олар.

Мэхсэти Кэнчэвиин анадан олмасынын 1098-чи илдэ баш вердијини билдикдэн сонра шаирэний Султан Маһмуд иби Мэликшаһ Сэлчуги һакимијјэтинин 9-чу илндэн 519 (1126)-чу илдэ 28 јашынын олдууңу вэ Кэнчэ хэтибинин оглу Тачэддин Эмир Эхмэдэ эра кетдијини сөjlэмэк олар. Шаирэний 491 (1098)-чи илдэ догулдууңу муяжжинлэшдирдикдэн сонра бу тарихэ сөjkэнэрэк Низами Кэнчэвиин «Хосров вэ Ширин» эсэринин тэгдими илэ бағлы бөлмэснин 576 (1180)-чи илдэ јаздыгда Мэхсэтийн 82 јашы олдууңу вэ Атабэй Мэхэммэд сарајына јахынылыгыны да мүэjjэнлэшдирмэк олар. Низами Кэнчэвии эсэрин итнаа бөлмэснидэ Атабэй Мэхэммэдэ уз турага дејир:

Сити о Мэхсэтира бэр гэрэлһа,
Шэби сэд кэнч бэхши дэр мэсэлнэ [17, 18].

(Сити вэ Мэхсэтийн гээллэрине,
Сэин бир кечэдэ јүз хэзине бағышламагын диллэрэ дүшмүшдүр).

Демэк, Низами «Хосров вэ Ширин» эсэрини јазаркэн Мэхсэти Атабэй Мэхэммэд сарајыны һөрмэти шаирэлэриндэн олмушдур. Вэхид Дэсткерди бу бејти изаһ едэркэн «Мэхсэти шаере мэ'руф вэ јеки эз иедимане мэчлисе шаһ буде» [17, 18] мэшнүүр шаирэ Мэхсэти шаһын мэчлиснин нэдимлэриндэн бири олмушдур», — дејэ гејд едир. Мэнбэлэрдэ көстэрилэн «Мэхсэти сарајдан гајытдыгдан сонра ики ил Кэнчэдэ јашајыб вэфат етмишдир [11, 19; 3, 18] — дејэн јазынын дүзүүлүүнэ сөjkэнсэк, онда Мэхсэти Атабэй Мэхэммэд Җаһан Пәhlэван 581 (1186)-чи илдэ өлдүкдэн сонра Кэнчэдэ гајытмыш, ики ил Кэнчэдэ јашајыб, 583 (1188)-чу илдэ 90 јашында вэфат етмишдир. Мэхсэтийн узун мүдээт јашадыгыны көстэрэн онларча рүбанси вардыр:

1. Мэним сэнилэ достлуг бағлылыгларым галмамышдыр.
Үракдэ мэхэббэт вэ вафадарлыг галмамышдыр.
Сәндэ гочалыгын зөвлөлийндэн гүүвэ вэ зор
О гэдэр галмамышдыр ки, аяғыны јердэн галдьырасан [13, 259].

2. Мән даңа көзәлләр назының башы дејиләм,
О кедиң кечди, үрәјим даңа ону дүшүнүмур.
О көзәллик вә тәравәт ки, гәлбимин вә көзәлнимин
вар иди.

Үрәк инди јохдур вә инди о севимли дә јохдур [13, 316]. «Нәманәд»
(«Галмаз») рәдифли гитәси дә-шәирәниң чох узун јашадыгыны көстәрән
эсәрләриндәндир [13, 265].

Беләликлә, Мәһсәти Кәнчәви 491 (1098)-чи илдә аиадан олмуш, 583
(1188)-чу илдә 90 јашында өлмүшдүр.

Әдәбијјат

1. Бертельс Е. Э. История персидско-таджикской литературы, — М.; 1960 2. *Brown E. A. A Literary History of Persia.* — London, 1904. 3. Диване Мәһсәти Кәнчәви, — Техран, 1348. 4. Эли Экбәр Мүшир Сәлими. Зәнәне сохәнвәр. II—Техран, 1351. 5. Элишир Нәвәи. Мәчалисүн-иәфсан. — Техран, 1329. 6. Эмин Әһмәд Рәзи. Һәфт еглим. — РЭФ № С 605. 7. Е'тимадуссалтанә Мәһаммәдләссан хан. Хејратул-ниссаи, III. — Техран, 1307. 8. Кәшавәрзәи Сәдәр. Зәнәне ке бефарсы ше'р гофтәнид. — Техран, 1339. 9. Лотфәли бәј Азәр, Атәшкәде. — Техран, 1338. 10. Мәһаммәдәли Тәрбијәт. Данешмәндане Азәрбайчан. — Техран, 1314. 11. Мәһсәти вә Эмир Әһмәд, фотокопија.—РЭФ фс. 122, инв. 16665. 12. М. Рафили. Низами. Жизнь и творчество. — Баку, 1939. 13. Fritz Meier. Die schöne Mahsati. — Weisbaden, 1968. 14. Іамдолле Мустофи. Тарихе козиде. — Лондон, 1901. 15. Һерсон Ете. Тарихе әдәбијате фарси. — Техран, 1351. 16. Ҳондәмир. Һәбибүс-сејр, II. — Техран, 1333. 17. Ҳосров Ширии һәким Незами Гоми шәһир бәкәйчәви. — Техран, 1313.

Низами адына Әдәбијјат Институту

Алынмышдыр 6. II. 1985

Х. М. Гусейнов

ДАТА РОЖДЕНИЯ И СМЕРТИ МЕХСЕТИ ГЕНДЖЕВИ

В мировой литературе до сих пор ведется дискуссия о жизни и творчестве Мехсети Генджеvi.

Большое значение имеет разрешение разногласий в определении даты рождения и смерти поэтессы.

Найденная в последние годы в одном из ее четверостиший дата, написанная абдажадскими цифрами, выявила, что поэтесса родилась в 491 (1098) и умерла в 90-летнем возрасте в 583 (1188) году.

Khalil Huseynov

THE DATE OF MAHSATI GANJAVI'S BIRTH AND DEATH

There are many contrast opinions about Mahsati Ganjavi's life and literary activity. It is a great necessity to find the real date of her birth and death. According to the latest news, in one of her quatrains the poet's birth in 491 (1098) and her death at the age of 90 in 583 (1188) are shown.

АЗӘРБАЙЧАН ССР ЕЛМЛӘР АКАДЕМИЈАСЫНЫҢ МӘРУЗӘЛӘРИ

ДОКЛАДЫ АКАДЕМИИ НАУК АЗЕРБАЙДЖАНСКОЙ ССР

ТОМ XLIII ЧИЛД

№ 4

1987

ЭТНОГРАФИЯ

Г. А. ГУЛИЕВ, Ш. Г. ГУЛИЕВА

К ВОПРОСУ ИНСТИТУТА АКСАКАЛЬСТВА В АЗЕРБАЙДЖАНЕ

(Представлено академиком АН Азербайджанской ССР А. С. Сумбатзаде)

Обычай уважения к старикам (аксакалам) в Азербайджане уходит в глубь веков. Еще в древности Страбон указывал на то, что албанцы «весьма уважают старость не только своих родителей, но и посторонних» [1]. Яркая картина уважения к старикам, в частности, к родовым (племенным) аксакалам дается в «Деде Коркуд» [2], а также и в других средневековых народных дастанах [3]. Этот добрый обычай продолжает бытовать и в последующие века, дожив до наших дней со значительными изменениями, в зависимости от образа жизни местного населения. Этому способствовали и господствовавшие патриархальные устои: подчинение младших старшим, более высокий статус лиц мужского пола во всех сферах быта и т. п.

Обуважительном отношении к старикам на Кавказе имеется обширная литература. Исторические корни этого явления были рассмотрены сравнительно недавно Ю. Д. Аичабадзе [4], Э. С. Намазовым [7]. Следует отметить, что уважение к старикам присуще многим народам и поэтому отдельные элементы этого обычая идентичны у большинства этносов. Примером могут служить народы Кавказа, у которых обычай, связанные с уважением к старикам почти не отличаются между собой (многие данные, приводимые Ю. Д. Аичабадзе, присущи и азербайджанцам, что говорит о древнем происхождении этих обычаем).

Но по материалам Азербайджана этот вопрос с точки зрения традиционного этикета еще не рассматривался, несмотря на его поучительный, воспитательный характер.

В одном источнике XIX в. об азербайджанцах отмечено, что «у всех вообще, особенно, у горских жителей строго соблюдается уважение к родителям и старшим» [5]. В дореволюционное время, хотя сын считался законным наследником отцовского имущества, но только отец имел право на выделение сыновей, которые не имели «право требовать раздела имущества при жизни родителей» [6].

Как известно, до революции семья была хозяйственной ячейкой и единственным очагом воспитания. Безусловно, домашние условия для воспитания детей дореволюционных крестьян были тяжелыми, тем не менее детей воспитывали в духе уважения к старшим, простыми и обычными методами, путем убеждения. От детей это требовали еще с ранних лет. Им не разрешалось сидеть вместе с аксакалами, говорить без их разрешения. Молодежь не должна была в присутствии аксакала говорить о своих детях, женах.

С малых лет в сельской семье дети привыкли подчиняться строгим

правилам поведения, они росли скромные, застенчивые и немногоговорные. Существовало непреложное правило: со стариками и старшими — безупречная вежливость, предупредительность, учтивость. Раньше не воспитанных молодцов и их родителей общество презирало, они не могли появляться на людях.

Безусловно, мы не хотим идеализировать прошлый сельский уклад жизни, его общественный быт, где поведением людей управляли вековые обычай и традиции и чрезвычайно считались с общественным мнением. Но следует отметить, что многое из того, что сохранилось и сейчас хорошего, запоминающего, создано опытом поколений. Органически сливаясь с советским образом жизни эти обычай и традиции служат укреплению новой гражданской обрядности.

Молодежь придерживалась многих ограничительных правил в обращении и контактах со стариками. В присутствии стариков непозволительно было громко разговаривать, кричать, курить, беспринципно смеяться, не говоря уже о том, что нельзя было развлекаться, ругаться, сквернословить и т. д.

Первым здороваться и приветствовать стариков было непозволительно, когда они входили в помещение, все вставали и только тогда, когда аксакал садился во главе меджлиса и после его приглашения все могли без шума сесть. Беседу со стариками следовало избегать не нужных, нескромных слов, молодые люди старались показать свою воспитанность, выдержку в присутствии стариков, ибо они являются основными сватами при женитьбе молодых. Молодые люди в обществе всегда дорожили мнением о них стариков, старались завоевать их уважение и внимание.

Мнения стариков по определенным вопросам выслушивались с особым вниманием, если даже они иногда были неправы. Если его советы и не приводили к успеху об этом не вспоминали. Все важные события в жизни общества, необходимые общественные мероприятия, правовые нормы адата, шариата не обходились без их участия и главная роль принадлежала им. В квартальных сходах, в сельских обществах гла-венствовали старики. Если даже они были слишком дряхлыми, хотя бы внешне, все равно уважительно относились к их мнению.

По существующим обычаям в дом девушки посыпали в качестве свахи, наряду с другими и одного или двух уважаемых стариков. Это делалось для авторитета и для того, чтобы сразу решить вопрос сватания, так как родители, особенно отец девушки, под различными предложениями мог отказать. И наоборот, когда выдавали девушек замуж мнение деда (или прадеда) имело решающее значение для домочадцев. Ю. Д. Аничабадзе отмечает: «Авторитет старшего в семье, по крайней мере внешне, был непререкаем. Хозяйственная деятельность домочадцев, их имущественные и личные отношения, одним словом, все стороны до машней жизни постоянно контролировались главой семьи. В соответствии с этим все события, происходившие в узком семейном мире, также неизменно подлежали его строгому и окончательному суждению» [4].

Важную роль аксакалы играли в идеологической, хозяйственной и социальной жизни сначала больших семей (семейной общине), позже патронимии. При решении вопросов хозяйственного значения (строительство моста, проведение дорог, организация взаимопомощи, субботы свои соображения. От их мнения во многом зависело положительное (или наоборот) решение поставленного вопроса.

Старики играли важную роль в сохранении спокойствия и нормаль-

ной жизни внутри родственного коллектива, к которому они относились. Аксакалы являлись посредниками в усмирении мужчин, находящихся в ссоре по той или иной причине. Обычно ссорящихся примиряли в день праздника Новруз.

Если собирались в дальний путь или уезжали на долгое время, а также при выполнении трудных работ (постройка дома, женитьба, покупка земель и проч.) просили благословения у стариков. Кроме того прежде, чем приступить к совершению особо важных дел, посещали могилы предков, совершили там намаз, некоторые ритуальные действия, просили разрешения или каялись о совершенных ими поступках, или преступлениях (убийство, кража, увоз невесты и др.).

Устное народное творчество азербайджанцев очень богато сведениями о деятельности и роли аксакалов в обществе, в частности в решении различных житейских и общественных неурядиц, конфликтов спорных вопросов, ситуаций и т. п. При этом они руководствовались долголетним жизненным опытом, хорошим знанием местных обычав и обрядов, особенно правовых норм адата. Такие тяжкие преступления как убийство, связанное с кровной местью, под давлением их авторитета решалось мирно.

При решении даже сугубо личных вопросов (постройка дома, развод, купля и продажа движимого и недвижимого имущества и др.) считались с советами аксакалов; во всех сферах народного быта сохраняли свои прерогативы, имели привилегированное общественное положение, были окружены подчеркнутым вниманием, уважением [4] и заботой, которые присущи всем народам Кавказа, в частности азербайджанцам и другим этническим группам Азербайджана.

Уважение к старикам — аксакалам как один из лучших обычав нашего народа, в известной мере сохраняется и сейчас, является одной из характерных черт азербайджанцев в их отношении к родителям и старикам. В Азербайджане, как известно, много долгожителей. Хотя сыновья живут отдельно от аксакалов, как и прежде, последние считаются почетной главой всего семейства. Следовательно, уважение к аксакалам приобрело теперь новое социальное содержание.

Литература

1. Латышев В. В. Известия древних писателей греческих и латинских о Скифии и Кавказе, т. 1. — СПб., 1890, с. 143. 2. «Китаби Деде Коркуд». — Баку, 1939, с. 22.
3. Азербайджанские народные дастаны, т. 1. — Баку, 1961, с. 124. 4. Аничабадзе Ю. Д. Странные поминки. — СЭ № 1, 1982, с. 132—136. 5. Легкобытов В. Кубинская провинция. Обозрение российских владений за Кавказом, ч. IV — СПб., 1936, с. 120.
6. Эфендиев М. Г. Село Лагич Гекнайского уезда Бакинской губернии. — СМОМПК, т. XXIX, отд. II, с. 72. 7. Намазов Э. С. Институт «аксакалов» (к постановке проблемы). — Изв. АН АзССР, серия истории, философии и права, 1985, № 4, с. 71—76.

Институт истории АН АзССР

Поступило 20. III 1985

h. А. Гулиев, Ш. h. Гулиева

АЗӘРБАЙЧАН АИЛӘСИНДӘ АФСАГГАЛЛАРА ҺӘРМӘТ АДӘТИ

Мәғаләдә азәрбајчанлыларын мә'нәви һәјатында вә аилә мәнишәтинде кечмишдә олдуғу кими иди дә көкләрі гәдим асrlәрә кедән афсаггаллара һәрмәт адәтиндең данышылыры. Бурада азәрбајчанлыларын ичтиман һәјатында вә аилә мәнишәтинде афсаггаллыг адәтинин бә'зи чәһәтләри шәрі едилүр.

Халгымызын асрлэр бою формалашан, јадда голан адәтләриндән бири олан ағсан. Букунку һајатымызла гырылмаз сурәтә баглы олмагла олдугча һуманист өз галлыг тәгдирлајыгдир. Һәмин адәтиң тәрбијәедиң ролу да бөйүкдүр.

G. A. Guliev

ON THE QUESTION OF ELDERS' INSTITUTION IN AZERBAIJAN

The custom of respect for elders goes back to ancient times.

In remote past elders played an important role in ideological, economic and social life of the society. In all spheres of peoples life the elders kept their prerogatives, social position and were surrounded with attention, respect and care.

At present this custom with considerable changes in accord with the conditions of life continues to exist.

АЗӘРБАЙЧАН ССР ЕЛМЛӘР АКАДЕМИЯСЫНЫН МӘРҮЗӘЛӘРИ

ДОКЛАДЫ АКАДЕМИИ НАУК АЗЕРБАЙДЖАНСКОЙ ССР

ТОМ XLIII ЧИЛД

№ 4

1987

УДК 4

ДИЛЧИЛИК

М. Ч. ЭҮМӘДОВ

ФЕ'ЛИ-ИСМИ ТӘСРИФ ВӘ САБИТ ФЕ'ЛИ СӨЗ БИРЛӘШМӘЛӘРИ

(Азәрбајчан ССР ЕА академики М. Ш. Ширәлиев тәгдим етмишдир)

Иш, һал, һәрәкәт вә просеслә әлагәдар олуб, өзүнү спесифик категоријаларына малик олан фе'л түрк дилләриндәкى нитг һиссәләри арасында форма вә мә'на зәнихији илә сәчијјәләнир. Фе'л дә дикәр нитг һиссәләри кими, характерик морфологи хүсусијәтләрә, өзүнәмәхсүс синтактик вәзиәтә вә лексик-семантик мә'на турумуна маликдир. Фе'ли морфологи чәһәтдән башга нитг һиссәләриндән фәргләндирән эсас әлат мәт онуң тәсрифләнмәсидир. Диляни башлыча вәзиәтә олан үисијәтиң јеринә јетирилмәсендә апарычы васитә олан фе'л өз функцијасыны мәһәз тәсрифләнәндән соңра јеринә јетирә биләр. Демәли, тәсриф фе'лләре сөзүн әсл мә'насында һәрәкилек, фе'ллик характери верир. Тәсрифләнмиш фе'л көкләри А. А. Йулдашевин тә'біринчә десәк, «...заман вә мәканна мұнасибәти дәғигләшdirмәдән анчаг үмуми, мүчәррәд бир анлајышы билдирир. Бу шәкилдә фе'л көкләри вәнид, хүсуси һәрәкәти мүәjjән едә билмәз, чунки һәрәкәт мәкан вә заман харичинде ағыласығмаздыр» [3, 115].

Фе'лләр конкрет бир субъектин мүәjjән мәгсәдли һәрәкәт вә просесинни мүәjjән заманда истиғамәтини билдириләр үчүн тәсрифләнмәлидир.

Гејд етмәк лазымдыр ки, фе'лләр парадигмалар үзәрә дәјишиләр әввәл дә, јәни тәсрифләнмәдән әввәл дә грамматик вә семантик мә'надан хали олмур.

Белә ки, Азәрбајчан дилиндә фе'л көкләри грамматик мә'насына көрә II шәхсии әмр формасында олдуғу һалда, семантик мә'насына көрә һәрәкәт вә просесин адыны да билдирир. Бу заман фе'л бир чох һалларда ада чеврилир (оху→ев охусу).

Фе'л көкләринин функцијасы бүтүн дилләрдә сәнни дејилдир. Рус дилиндә фе'л көкләри анчаг һәрәкәт вә просесин адыны билдириди һалда, грамматик мә'нача неч иә ифадә етмир. Эрәб дилиндә исә фе'л көкләри һәм грамматик мә'наja, һәм дә семантик мә'наja маликдир. Бурада фе'л көкләри һәрәкәт вә просесин ады или янашы, сәнни заманда үчүнчү шәхсии тәқинин киши чинсии кечмиш заманыны ифадә едир. Бүтүн бүнларла белә, «...Фе'лини эсас мәһсүлдар вә гејри-мәһсүлдар группаларыны морфологи хүсусијәтләри тәсриф системинде экс олуңур... Тәсриф системи илә фе'лини эсас категоријалары—шәхс, кәмијјәт (һәм чинсии кечмиш заман формалары вә шәрт, лазым формасы), заман, форма, шәкил вә иөв әлагәдардыр» [1, 452].

Догрудан да, фе'лини эсас морфологи әлмәтләри эсасен тәсриф заманы мејдана чыхыр. Азәрбајчан дилиндә дә фе'лини тәсрифи онуң замана, шәхс вә кәмијјәтә көрә парадигмалар үзәрә дәјишиләсі демәкдир.

Бу һалда һәрәкәт вә просесин ичрасынын һаңсы заманда, ким тә-

рәфиндән вә һансы истигаматдә баш вердији айдын олур. Илк баһышда белә бир тәсәвүр јарып ки, фе'л тәсрифләнмәсә, фе'лдә ифадә олу. Нан һәрәкәтин нә заман вә ким тәрәфиндән ичра олуимасынын ифадәси нан һәрәкәтин нә заман вә ким тәрәфиндән ичра олуимасынын ифадәси мүмкүн дејил. Эслиндә бу мүддәә о заман өзүнү дөгрүлдар ки, биз һәм мүмкүн дејил. Бирләшмәләрдә иширак едән фе'лләр һамысы јөилүк һаллы објект тәләб едән тә'сирсиз фе'лләр олур. Бирләшмәнин чүмлә дахилиндә тәләб објект исә адлыг һалда олур.

3. Мәңсубијјәт шәкилчиси вә тә'сирлик һал шәкилчиси гәбул едән адларла фе'лләрин әмәлә қәтириди сабит фе'ли бирләшмәләр: зәһлә+ = ми//=ни төкүр, кеф+ =ими//=ини/ачыр (позур), ағл+ =ымы//=ыны/ алыр (апарыр), аյб+ =ымы//=ыны/ ачыр, дамағ+ =ымы//=ыны/ позур. Бу һалда бирләшмәләрин фе'лләри тә'сирли олур.

4. Мәңсубијјәт шәкилчиси вә чыхышлыг һал шәкилчиси гәбул етмиш адларла фе'лләрин әмәлә қәтириди сабит фе'ли бирләшмәләр: һатыр+ =им//=ин/дән чыхыр, нәзәр+ =им//=ин дән гачыр.

Гејд етмәк лазымдыр ки, А. К. Кононов өзүнүн «Грамматика современного турецкого литературного языка» китабында ади тәсрифдән фәргләнән тәсриф парадигмасынын мөвчуд олдугуну гејд етмишdir. О canlı slikildi, içim slikiliyog, görüm tutuyor поşma gilliog, типли сабит фе'ли бирләшмәләрин тәркиби фе'л адландырааг онларын тәсрифини көстәрмишdir [2, 271—274].

Хатырлатмаг лазымдыр ки, фе'ли-исми тәсрифдә иширак едән фе'лләрин тәсрифи фе'лләрин там тәсрифиндән фәргли олараг натамам тәсрифдир. Сәрбәст фе'ли бирләшмәләрин иширак етдији натамам тәсрифдә сабит фе'ли бирләшмәләрдән фәргли олараг мүбтәда вә хәбәр мөвчуд олур. Мәсәләк.: Дишим//=ин//=и ағрыыр вә с. Ағл+ =ым кәсмир типли сабит фе'ли бирләшмәләрин тәсрифиндә, јәни фе'ли-исми тәсрифдә исә мүбтәда илә хәбәрин анчаг изләри көрүнүр. Бурадакы мүбтәда вә хәбәри биз квази мүбтәда вә квази хәбәр несаб едирик. Сабит фе'ли бирләшмәләрдәки чүмләнин квази үзвләри бир даһа сабит бирләшмәләрин сәрбәст бирләшмәләрдән тәрәдијини көстәрир. Экәр биз сабит фе'ли бирләшмәләрин синтактика гурулушуна диггәт етсәк, онларын сәрбәст бирләшмәләркән мөвчуд олмуш синтактика әлагәләрин изләрини көрәрик. Сәрбәст бирләшмәләрин сабитләшмәјә дөгру олан инкишафы бу әлагәләри квази әлагәләрә чевирмишdir. Демәли, сабит фе'ли бирләшмәләрин тәрәфләри дә чүмләнин квази үзвләридир.

А. Н. Кононов һаглы олараг иш көр=, баһдан чых= вә с. бирләшмәләрин синтактика јолла јаранан ваһид лексик там (единое лексическое целое) адландырыр [2, 270]. Көстәрилән бирләшмәләрин ваһид лексик там олмасы онларын синтактика баһымдан парчаламаг гејри-мүмкүндүр вә онлар ганунаујун олараг ваһид бир сөзүн функциясыны јеринә јетирир, демәли, тәсрифи дә гејд-шәртсиз олараг фе'лә еквивалент олан сабит фе'ли бирләшмәләрә дә иләтмәк олар. Өзү дә бирләшмәнин фе'линин натамам тәсрифинә баһмајараг, фе'ли-исми тәсриф там тәсрифдир. Чүнки бу заман фе'лин тәсриф вахты јеринә јетирмәли олдуғу функцияны вә ифадә етмәли олдуғу семантик мә'на тутумуну сабит фе'ли бирләшмәләр өз үзәринә көтүрүр.

Литература

1. В. В. Виноградов. Русский язык. — М.-Л., 1947.
2. А. Н. Кононов. Грамматика современного турецкого литературного языка. — М.-Л., 1956.
3. А. А. Юлдашев. Система словообразования и спряжения глагола в башкирском языке. — М., 1958.

Нәсими адына Дилчилик Институту

Альнымышдыр 11. X 1986

ГЛАГОЛЬНО-ИМЕННОЕ СПРЯЖЕНИЕ И УСТОЙЧИВЫЕ ГЛАГОЛЬНЫЕ СЛОВОСОЧЕТАНИЯ

В статье впервые в тюркологии рассматривается спряжение в устойчивых глагольных словосочетаниях типа агл+=ын//=ын//—ы касир и делается вывод о том, что наряду с обычным спряжением глагола существует и такая парадигма спряжения ряда устойчивых глагольных словосочетаний, которая может быть названа «глагольно-именным спряжением». При глагольно-именном спряжении глагольный компонент принимает лишь аффиксы временных форм, именной же компонент — аффиксы лица и числа.

M. Dj. Akhmedov

VERBAL-NOMINAL CONJUDATION AND FIXED VERBAL WORD-COMBINATIONS

The article deals with the phenomenon of verbal-nominal conjugation in the Azerbaijani language that is brought into general use in the turcological linguistics for the first time by the author. The main point of the phenomenon consists in the following: in some fixed verbal word-combination (such as: аглын кәсмир) the verbal component takes affixes of proper tenses only while the nominal component takes affixes of person and number.

МУНДЭРИЧАТ

Механика

К. Т. Шыхлинскаја. Узунуна сыхма гүввәсиини тә'сири алтында даирәви олмайан галынылығына көрә гејри-бирчын силиндрик өртүйүн дајаныглығынын ит-мәсси һагтында 3

О. І. Вәлиев. Мұнитлә тохунаи һиссәли өртүклөрин бәрабәр мәһкемліккілік олмасы һагтында 8

Жарымкечиричиләр физикасы

М. И. Элиев, X. Э. Хәлилов, Ы. Б. Ибраһимов. $Ga_{1-x}In_xAs(x < 0,05)$ бәрк мәһлүлүндә ишыбын сәрбәст јүкдашыячылардан удулмасы 12

С. Ә. Әлекберов, Ч. О. Гачар, Ч. Ф. Кәңкәрәли. $InSb$ -дә һәндәси магнит мүгавимәти вә I/I_0 күйү 16

Е. О. Җәфаров, О. А. Голикова. Ашгарлашмыш ғромбоедрик борун электрик хассасы 18

Н. Ч. Исмаилов, Е. И. Гурбанова, X. Д. Чәликова, Е. К. Нүсејнов. Фоточәрәянны дүзләндирүчі контактдан $Cu(Ag)-n-Cd_xHg_{1-x}Te$ кечид механизми 21

Үзви кимja

Б. Г. Зејналов, С. А. Сарыјева, Е. Н. Шакиданов, И. И. Исмаилов. Асетобутират вә етилселлүлөзада салицил туршусунун ефиirlәrinин пластификатор кими еүрәпилмәси 25

Физики кимja

Д. Б. Тағыјев. Тәркибиндә кечичи элемент олан кичик мәсамәли сеолитләrin РФЕС методу ишә тәдгиги 29

Нефт вә газ жатагларынын ишләнмәси

М. Т. Абасов, Е. Х. Әзизов. Гууларын индикатор ејриләrinин ишләнмәсине даир 33

Филиз жатаглары

Ч. Ә. Азадәлијев, И. Ә. Бабаев. Метасоматик алунит дамарчыглары вә онларын әмәлә кәлмәсиини физики-кимјәви шәранти (Кәдәбәj филиз раionу, Кичик Гафгаз) 38

Мұнандис қеолокијасы

Ф. С. Элиев, Р. І. Јәһјаев. Бакы метрополитенинни Абшерон вә Бакы һоризонтлардан ибарәт олан кил сүхурларынын деформасија хүсусијәтләrinе даир 43

Палеонтологија

Г. М. Султанов, Е. І.-М. Элиев. Диадаки моллүскалары скелетләrinин морфологија формалашмасы просесләrinин ријази моделләшdirilmәси 48

Палеоекологија

Г. А. Һәмзәев, Л. Н. Бирюкова. Кичик Гафгазын шәрг һиссәсиини Сантон-Кампан яшшли бзахиоподларынын өкөлокијасына даир 53

Кенетика	
Ә. А. Әлиев, Ү. К. Әләкбәров, А. Б. Шехтман, И. А. һемзәјева, Л. М. Лурје, А. И. Әсәдова, Н. С. Габај, К. К. Рәһимова. Хроники шүаландырылмыш сичан- ларда кенетик апаратынын мұхтәлиф мутакени фекторларын тә'сиринә специфик іессаслығы вә α-токоферолун мұдағиаедиңи эффекти	58
Ботаника	
Н. А. Һүсејнова. Абшерон шәрләннидә басма биткисинин ембриологи ху- суцијјетинин өјрәнилмәсі	62
Битки физиологиясы	
М. Ә. Микајлов, Е. С. Сәфәрова. Хына тохумунун чүчәрмәсінә, колларын бој вә инкишағына физики мутакенин тә'сирі	66
Шәргшұнаслыг	
М. Д. Казымов. Низаминин «Һәфт пейқәр» поемасына нәзири олан аз танын- мыш бир әлјазма һагында	70
Әдебијатшұнаслыг	
Х. М. Һүсејнов. Мәһсәти Кәнчәвиинын дөгуласы вә өлүмү тарихи	73
Етнография	
Н. А. Гулијев, Ш. Н. Гулијева. Азәрбајҹан айләсіндә ағсағгаллара һөрмәт адәти	77
Дилчилик	
М. Ч. Әнімбетов. Фе'ли-исми тәсриф вә сабит фе'ли сөз бирләшмәләри	81

СОДЕРЖАНИЕ

Механика	
Г. Т. Шихлинская. О потере устойчивости некруговой неоднородной по толщине цилиндрической оболочки, подверженной действию продольных сжи- мающих усилий	3
О. Я. Велиев. О равнопрочности составных оболочек, контактирующих со средой	8
Физика полупроводников	
М. И. Алиев, Х. А. Халилов, Г. Б. Ибрағимов. Поглощение света свобод- ными носителями в твердых растворах $Ga_{1-x}In_xAs(x=0,05)$	12
С. А. Алекперов, Ч. О. Қаджар, Д. Ф. Кенгерли. Геометрическое магнето- сопротивление и $1/f$ шум в InSb	16
Э. О. Джәфаров, О. А. Голиков. Электрические свойства некоторых фаз внедрения на основе β-ромбоздрического бора	18
Н. Д. Исмайлов, Э. И. Курбанова, Х. Д. Джалилова, Э. К. Гусейнов. Ме- ханизмы прохождения фототока в выпрямляющем контакте $Cu(Ag)-Cd_xHg_{1-x}Te$	21
Органическая химия	
Б. К. Зейналов, С. А. Сарыева, Э. Н. Шагиданов, И. И. Исмайлова. Эфиры салациловой кислоты в качестве пластификатора ацетобутират- и этилцеллюлозы	25
Физическая химия	
Д. Б. Тагиев. Исследование узкопористых цеолитов, содержащих переход- ные элементы, методом РФЭС	29
Разработка месторождений нефти и газа	
М. Т. Абасов, Э. Х. Азимов. К методике обработки индикаторных линий скважин	33
Рудные месторождения	
Дж. А. Азадалиев, И. А. Бабаев. Метасоматические прожилки алунита и фи- зико-химические условия их формирования (Кедабекский рудный район, Ма- лый Кавказ)	38
Инженерная геология	
Ф. С. Алиев, Р. Ю. Яхъяев. О деформационных свойствах глинистых пород Апшеронского яруса и Бакинского горизонта, связанных с изменением напря- женного состояния массива при вскрытии его горными выработками метро	43
Палеонтология	
К. М. Султанов, Э. Г.-М. Алиева. Математическое моделирование процессов формирования морфологии скелетов моллюсков дидактина	48
Палеоэкология	
Г. А. Гамзаев, Л. Н. Бирюкова. Об экологии сантон-кампанских бра- хиопод восточной части Малого Кавказа	53

Генетика	
А. А. Алиев, У. К. Алексеев, А. Б. Шехтман, И. А. Гамзаева, Л. М. Лу- рье, А. И. Асадова, Н. С. Габай, Г. К. Расимова. Специфическая чувствитель- ность генетического аппарата хронически облученных линейных мышей к воз- действию различных мутагенов и универсальный защитный эффект а-токо- ферола	58
Ботаника	
Н. А. Гусейнова. Эмбриологическое исследование басмы красильной в условиях Ашшерона	62
Физиология растений	
М. А. Микаилов, Э. С. Сафарова. Влияние физического мутагена на рост и развитие кустов хны	66
Востоковедение	
М. Д. Кязимов. О рукописи малозвестного подражания на «Хафт пейкар» Низами	70
Литературоведение	
Х. М. Гусейнова. Дата рождения и смерти Мехсети Генджееви	73
Этнография	
Г. А. Гулиев, Ш. Г. Гулиева. К вопросу института аксакальства в Азер- байджане	77
Языкознание	
М. Дж. Ахмедов. Глагольно-имменное спряжение и устойчивые глагольные словосочетания	81

Сдано в набор 6. 05. 87. Подписано к печати 13. 11. 87. ФГ 15973. Формат бумаги
70×100^{1/16}. Бумага типографская № 1. Гарнитура шрифта литературная. Печать
высокая. Усл. печ. лист 7,15. Усл. кр.-отт. 7,15. Уч.-изд. лист 5,4. Тираж 600.
Заказ 467. Цена 70 коп.

Издательство «Элм».
370143 Баку-143, проспект Нариманова, 31, Академгородок,
Главное здание.
Типография «Красный Восток» Государственного комитета
Азербайджанской ССР по делам издательств, полиграфии и книжной
торговли. Баку, ул. Ази Асланова, 80.

9. Текст статьи печатается на белой бумаге через два интервала на одной сторо-
не листа стандартного размера, с полями с левой стороны (не более 28 строк на
одной странице по 58—60 знаков в строке). В тексте нельзя делать рукописные
вставки и вклейки.

Статьи, напечатанные на портативной машинке, не принимаются.

10. Текст статьи должен быть изложен кратко, тщательно отредактирован и
подписан авторами в печать. В математических статьях желательно избегать доказа-
тельств теорем, лемм и т. п. При использовании в тексте сокращенных названий (кро-
ме общепринятых) необходимо давать их расшифровку.

11. Математические и химические формулы и символы в тексте должны быть
вписаны четко. Следует избегать громоздких обозначений, применяя, например, дроб-
ные показатели степени вместо радикалов, а также *exp*. Занумерованные формулы
обязательно включаются в красную строку, номер формулы ставится у правого края
страницы. Желательно нумеровать лишь те формулы, на которые имеются ссылки.
Подстрочные и надстрочные индексы и степени следует отмечать карандашом, дугами
сверху и снизу:

k'' , r''

Греческие буквы нужно обводить (в кружок) красным карандашом. Буквы готи-
ческого шрифта и рукописные в рукописях не использовать, векторные величины —
подчеркивать черным, буквы латинского рукописного шрифта следует отметить на
полях (например, Н рукоп.).

Во избежание ошибок следует четко обозначать прописные (заглавные) и строч-
ные буквы латинского алфавита, имеющие сходное начертание (Ca; Kc; Pp; Oo; Ss;
Uu; Vv; и т. д.), буквы I(i) и J(j) букву I и римскую единицу I, а также араб-
скую цифру I и римскую I' (вертикальная черта), I и штрих в индексах, I (латин-
ское эль) и e. Прописные буквы подчеркивают карандашом двумя черточками снизу
(C), а строчные — сверху (c.).

Следует избегать знаков типа ~ (волна), \odot , \oplus , \diamond ; \square , \circ , \diamond , \wedge , \vee
(крышки) над и под буквами, а также знаков:

h, X, €, f, ſ, j, ſ̄, b

Латинские названия вписываются на машинке.

Слова «теорема», «лемма», «следствие», «определение», «замечание» и т. п. сле-
дует подчеркивать штриховой чертой, а текст утверждений типа теорем—волнистой
чертой (исключая математические символы).

При выборе единиц измерения рекомендуется придерживаться международной
системы единиц СИ.

12. При описании методики исследования следует ограничиваться оригинальной
ее частью. При элементном анализе приводить только усредненные данные.

13. Необходимо тщательно проверить написание местных географических назва-
ний.

14. Цитированная литература проводится общим списком на отдельной страни-
це: ссылки в тексте даются порядковым номером в круглых скобках над строкой
(например, 1). Список литературы оформляется следующим образом:

для книг: инициалы и фамилии авторов, полное название книги, место и год
издания;

для журнальных статей: инициалы и фамилии авторов, название журнала, номер
тома, номер выпуска, страница и год издания.

Ссылки на неопубликованные работы не допускаются.

15. Все статьи должны иметь резюме на английском языке, кроме того, статьи,
написанные на русском и азербайджанском языках, должны иметь резюме на азер-
байджанском и на русском соответственно.

Публикация статьи в «Докладах» не препятствует напечатанию расширенного ее
варианта в другом периодическом издании.

70 гэп.
коп.

Индекс
76355